



## รายงานการวิจัย

การเติมรำข้าวในผลิตภัณฑ์ข้าวพองกรอบด้วยกระบวนการอีกซ์ทรูชัน

Rice Bran Addition in Expanded Rice Products using Extrusion

### คณะกรรมการ

หัวหน้าโครงการ  
ผู้ช่วยศาสตราจารย์ ดร. อุนันดา ทองทา  
สาขาวิชาเทคโนโลยีอาหาร  
สำนักวิชาเทคโนโลยีการเกษตร

ได้รับอนุญาตให้ดำเนินการวิจัยจากมหาวิทยาลัยเทคโนโลยีสุรนารี ปีงบประมาณ 2547-2548  
ผลงานวิจัยเป็นความรับผิดชอบของหัวหน้าโครงการวิจัยแต่เพียงผู้เดียว

สิงหาคม 2550

## กิจกรรมประจำปี

คณะผู้วิจัยขอขอบคุณมหาวิทยาลัยเทคโนโลยีสุรนารี ที่ให้งบประมาณทุนอุดหนุนวิจัยประจำปีงบประมาณ 2547- 2548 ทำให้ผลงานวิจัยโครงการนี้เกิดขึ้น ได้ ขอขอบคุณ บริษัทบปทุ่มไรซ์ มิลล์ เอนด์ เกรนารี จำกัด (มหาชน) ที่ให้การอนุเคราะห์ปลายทางและรำข้าว เพื่อใช้ในงานวิจัยการเติมรำข้าวในผลิตภัณฑ์ข้าวพองกรอบด้วยกระบวนการເອົກຫຼັງຫຼັງ ขอขอบคุณ ศูนย์เครื่องมือมหาวิทยาลัยเทคโนโลยีสุรนารี สำหรับอาคาร สถานที่ และเครื่องมือในการวิจัยขอขอบคุณ นายวันชัย จากกระโทก และเจ้าหน้าที่ประจำศูนย์เครื่องมือ 3 มหาวิทยาลัยเทคโนโลยีสุรนารี ทุกท่านที่อำนวยความสะดวกแก่ผู้วิจัยด้วยคีตลดอดการดำเนินงานวิจัย และงานวิจัยนี้คงไม่สำเร็จหากขาด นางสาวปทุมพร โสตถรัตนพันธุ์ นักศึกษาบัณฑิตศึกษาและผู้ช่วยวิจัย นางสาวชุริรัตน์ จารุวนกกลาง และ นางสาวเกณ德拉ภรณ์ ชินชาด นักศึกษาช่วยวิจัย จึงขอขอบคุณมา ณ โอกาสนี้

คณะผู้วิจัย

## บทคัดย่อ

การศึกษาผลของสภาวะการแปรรูปโดยวิธีการเอกทรูชันด้วยเครื่องเอกทรูเดอร์สกรูว์ในเป็นข้าวเจ้าต่อคุณสมบัติทางกายภาพของผลิตภัณฑ์เอกทรูเดต กำหนดสภาวะการแปรรูปที่อุณหภูมิของน้ำรีด 3 ระดับ (160 170 และ 180 องศาเซลเซียส) ความเร็วอบสกรู 3 ระดับ (250 300 และ 350 รอบต่อนาที) และความชื้นของวัตถุคิด 3 ระดับ (20, 22 และ 24 เปอร์เซ็นต์) พบว่า เมื่ออุณหภูมิของน้ำรีด ความเร็วอบสกรู และความชื้นของวัตถุคิดเพิ่มขึ้น มีผลทำให้ค่าแรงกดเอกทรูเดตให้แตกเพิ่มขึ้น และพบอิทธิพลร่วมของอุณหภูมน้ำรีดกับความชื้นวัตถุคิดต่อความหนาแน่นของผลิตภัณฑ์ โดยเมื่อใช้อุณหภูมน้ำรีดสูงร่วมกับความชื้นวัตถุคิดต่ำ ส่งผลให้เอกทรูเดตมีความหนาแน่นต่ำ จากวิเคราะห์คุณสมบัติทางความหนืดด้วยเครื่องวิเคราะห์ความหนืดแบบรัวเดร์ พบร่วมกับค่าแรงกดเอกทรูเดตที่มีอัตราการขยายตัวสูงเมื่อค่าความหนืดเริ่มต้นต่ำ ระดับการเกิดเจลلاتีไนซ์ของเอกซ์ทรูเดตเป็นข้าวทั้งหมดมีค่าในช่วง 91-98 เปอร์เซ็นต์ การศึกษาการเติมรำข้าวคิน 10 เปอร์เซ็นต์ในแป้งข้าวไม่ส่งผลต่อค่าแรงทร็อก พลังงานกลจำเพาะ อัตราการขยายตัว และแรงกดแตก ต่างจากการเอกซ์ทรูเดตเป็นข้าวขณะที่การเติมรำข้าวคิน 20 เปอร์เซ็นต์ พบร่วมกับค่าทร็อก พลังงานกลจำเพาะ ความดันที่หัวแบบ อัตราการขยายตัวมีค่าลดลง ส่วนแรงกดแตกและความหนาแน่นมีค่าเพิ่มขึ้น การศึกษาการเติมรำข้าวที่ใช้ด่างที่อุณหภูมิ 90 องศาเซลเซียสเป็นเวลา 1 ชั่วโมง ทำให้มีปริมาณโปรดีน ไขมัน เด้าและสารชุดลดลง แต่มีไขมันเพิ่มขึ้นเมื่อเทียบกับรำข้าวคิน และโครงสร้างมีการเปิดตัว มีรูพรุนเพิ่มขึ้น ส่งผลให้มีความสามารถในการอุ้มน้ำมากขึ้น ซึ่งส่งผลต่อเอกทรูเดต โดยพบว่า ความดันที่หัวแบบและอัตราการขยายตัวของเอกทรูเดตเป็นข้าวผสมรำข้าวคินปรับตัวด้วยค่าสูงกว่าเมื่อเทียบกับเอกทรูเดตเป็นข้าวผสมรำข้าวคิน การศึกษาผลการเติมรำสกัดไขมันในแป้งข้าวแทนรำข้าวคินและการเติมแคลเซียมคาร์บอนเนต คาร์บอนเนตต่อลักษณะทางกายภาพของเอกทรูเดต พบร่วมกับค่าแรงกดแตกมากขึ้น และการเติมแคลเซียมคาร์บอนเนต 1 และ 2 เปอร์เซ็นต์ ทำให้อัตราการขยายตัวของเอกทรูเดตเพิ่มขึ้น ส่งผลให้มีความกรอบมากขึ้นและผู้ทดสอบชิมให้การยอมรับ การศึกษาอายุการเก็บของผลิตภัณฑ์เอกทรูเดตเป็นข้าวผสมรำสกัดไขมันมีอัตราการเสื่อมของเอกทรูเดตต่ำและแรงกดแตกมากขึ้น และการเติมแคลเซียมคาร์บอนเนต 2 เปอร์เซ็นต์ สามารถเก็บที่อุณหภูมิห้องเป็นระยะเวลา 1 เดือน โดยมีการเปลี่ยนแปลงคุณสมบัติทางกายภาพและคุณลักษณะทางประสานสัมผัสเล็กน้อย ซึ่งผู้ทดสอบชิมยังให้การยอมรับ

## Abstract

Rice flour was extruded using a twin-screw extruder. The effects of extrusion conditions, barrel temperatures of 160, 170 and 180°C, screw speeds of 250, 300 and 350 rpm and feed moisture contents of 20, 22 and 24% on the physical properties were studies. An increase in barrel temperature, screw speed and feed moisture content had an effect on decreasing expansion ratio and increasing compression force ( $p<0.05$ ). The interaction between barrel temperature and feed moisture content was found, resulting in the reduction of extrudate density. From pasting property using a Rapid ViscoAnalyzer (RVA), the lower cold viscosity of rice extrudate occurred in the higher expanded extrudates. The degree of starch gelatinization showed 91-98% in all extrusion conditions. The addition of 10% native rice bran into rice four did not show a significant difference in torque, specific mechanical energy, expansion ratio, and compression force, as compared with rice flour extrusion. A decrease in torque, specific mechanical energy, expansion ratio and an increase in compression force and density were found in the extrusion of 20% native rice bran addition. The effect of 20% alkaline(sodium-hydroxide)-treated rice bran to replace the native one was studied. The alkaline-treated rice bran at 90°C for 1 h contained a lower in protein, fat, ash and starch content, but a higher in dietary fiber as compared to native rice bran. In addition, the microstructure of alkaline-treated rice bran exhibited more open structure and greater porosity, resulting in higher water holding capacity. The die pressure and expansion ratio of alkaline-treated rice bran addition were higher than those of native rice bran. The effects of defatted rice bran and calcium carbonate addition on physical characteristics of extrudates were studies. The addition of defatted rice bran instead of native rice bran in extrudate resulted in decreasing expansion ratio and increasing

compression force. The expansion ratio of extrudate was higher with the addition 1-2% calcium carbonate. This led to a greater crispiness and an acceptance from the panelists. The shelf-life dating was studied for 2 months. The shelf-life of extrudate containing defatted rice bran and 2% calcium carbonate was found to be a month at room temperature while slight changes of physical and sensory characteristics were detected. This formulation was the highest acceptance from the panelists.

## สารบัญ

หน้า

|  |           |
|--|-----------|
| กิจกรรมประจำ.....  | ก         |
| บทคัดย่อ (ภาษาไทย) .....   | ๑         |
| บทคัดย่อ (ภาษาอังกฤษ).....   | ๑         |
| สารบัญ.....  | ๙         |
| สารบัญตาราง.....   | ๑         |
| สารบัญภาพ.....   | ๗         |
| <b>บทที่ 1 บทนำ.....</b>   | <b>๑</b>  |
| 1.1 ความสำคัญและที่มาของปัญหาที่ทำการวิจัย.....  | 1         |
| 1.2 วัตถุประสงค์การวิจัย.....  | 3         |
| 1.3 การวิจัยที่เกี่ยวข้องและคล้ายคลึงกับงานวิจัยที่ทำ.....                                     | 3         |
| <b>บทที่ 2 วิธีดำเนินการวิจัย.....</b>   | <b>12</b> |
| 2.1. การเตรียมวัตถุศึกษา.....  | 12        |
| 2.2 การวิเคราะห์องค์ประกอบทางเคมีของเปลือกข้าวและรำข้าว.....                                   | 12        |
| 2.3 การศึกษาเบื้องต้น.....   | 12        |
| 2.4 การผลิตด้วยกระบวนการเอกซ์ทรูชัน.....   | 12        |
| 2.5 ศึกษาผลของสภาวะการแปรรูปและการเติมรำข้าวศึกษา<br>ต่อลักษณะทางกายภาพของเอกซ์ทรูเดตข้าว..... | 14        |
| 2.6 การดัดแปลงรำข้าวด้วยด่างและการเติมไนเอ็กซ์ทรูเดต.....                                      | 14        |
| 2.7 วิเคราะห์องค์ประกอบทางเคมีและคุณสมบัติของวัตถุศึกษาที่ใช้ค่าง.....                         | 15        |
| 2.8 การพัฒนาผลิตภัณฑ์จากการใช้รำสักด้วยมันและการเติมแกลลเชี่ยนคาร์บอนเนต.....                  | 16        |
| 2.9 การวิเคราะห์ลักษณะทางกายภาพของเอกซ์ทรูเดต.....   | 16        |
| 2.10 การหาอายุการเก็บ.....   | 18        |
| 2.11 การทดสอบทางประสานสัมผัสและการยอมรับ.....  | 18        |
| <b>บทที่ 3 ผลการวิเคราะห์ข้อมูล.....</b>   | <b>19</b> |
| 3.1 ผลการศึกษาเบื้องต้น.....   | 19        |
| 3.2 ผลการศึกษาสภาวะการแปรรูปต่อตัวแปรตามการแปรรูป<br>จากการกระบวนการเอกซ์ทรูชัน.....           | 19        |

## สารบัญ (ต่อ)

หน้า

|   |            |
|---|------------|
| 3.3 ความหนืดของเอกสารทรายเดต.....   | 28         |
| 3.4 ระดับการเกิดเจลلاتติไนซ์ชั้น.....   | 29         |
| 3.5 ผลการศึกษาสภาพการแปรรูปต่อลักษณะทางกายภาพของเอกสารทรายเดต.....                                      | 30         |
| 3.6 ผลของการเติมรำข้าวต่อต่อลักษณะทางกายภาพของเอกสารทรายเดตข้าว.....                                    | 40         |
| 3.7 ผลการใช้ค่างต่อการเปลี่ยนแปลงโครงสร้างของรำข้าว.....  | 41         |
| 3.8 ผลการศึกษาสภาพการแปรรูปต่อตัวแปรตามการแปรรูป<br>จากกระบวนการเอกสารทรายชั้น.....                     | 45         |
| 3.9 ผลการศึกษาสภาพการแปรรูปต่อลักษณะทางกายภาพของเอกสารทรายเดต.....                                      | 52         |
| 3.10 ผลการศึกษานิตรรำข้าวและปริมาณแคลเซียมคาร์บอนเนตต่อ<br>ลักษณะทางกายภาพของเอกสารทรายเดต.....         | 58         |
| 3.11 ผลการประเมินคุณลักษณะทางด้านประสาทสัมผัสและการยอมรับของผู้บริโภคต่อ<br>ผลิตภัณฑ์เอกสารทรายเดต..... | 62         |
| 3.12 ผลการศึกษาทางด้านอายุการเก็บของผลิตภัณฑ์เอกสารทรายเดต.....   | 63         |
| <b>บทที่ 4 บทสรุป.....</b>  | <b>68</b>  |
| <b>บรรณานุกรม.....</b>  | <b>70</b>  |
| ภาคผนวก ก การวิเคราะห์องค์ประกอบทางเคมีของวัตถุคุณและผลิตภัณฑ์.....                                     | 76         |
| ภาคผนวก ข ค่าตอบสนองเหลี่ยบของตัวแปรตามการแปรรูป<br>และสมบัติทางกายภาพของผลิตภัณฑ์.....                 | 86         |
| ภาคผนวก ค ผลการวิเคราะห์ทางสถิติ.....   | 95         |
| <b>ประวัติผู้วิจัย.....</b>   | <b>104</b> |

## สารบัญตาราง

ตารางที่

หน้า

|    |  |    |
|----|--|----|
| 1  | รูปแบบการจัดเรียงสกุร.....   | 13 |
| 2  | การตั้งอุณหภูมิของนาเบล.....   | 13 |
| 3  | แผนกราฟคลองค่าความหนืดจากการวิเคราะห์ความหนืดอย่างรวดเร็วของแป้งข้าว<br>และเอกซ์ทรูเดตข้าว 100 เปอร์เซ็นต์.....  | 14 |
| 4  | ค่าความหนืดจากการวิเคราะห์ความหนืดอย่างรวดเร็วของแป้งข้าว<br>และเอกซ์ทรูเดตข้าว 100 เปอร์เซ็นต์.....   | 29 |
| 5  | ค่าเฉลี่ยของระดับการเกิดผลิตติไนซ์ เช่นของเอกซ์ทรูเดตจากการวนการ<br>เอกซ์ทรูชันแป้งข้าว 100 เปอร์เซ็นต์.....   | 30 |
| 6  | ค่าสหสัมพันธ์เฉลี่ยระหว่างตัวแปรตามการแปรรูปกับลักษณะทางกายภาพของเอกซ์ทรูเดต<br>แป้งข้าว 100 เปอร์เซ็นต์ แป้งข้าวผอมรำข้าวคิบ 10 และ 20 เปอร์เซ็นต์..... | 34 |
| 7  | การเปรียบเทียบค่าเฉลี่ยของตัวแปรตามการแปรรูปกับลักษณะทางกายภาพของเอกซ์ทรูเดต<br>แป้งข้าว 100 เปอร์เซ็นต์ แป้งข้าวผอมรำข้าวคิบ 10 และ 20 เปอร์เซ็นต์..... | 41 |
| 8  | องค์ประกอบของเคมีของแป้งข้าวและรำข้าว.....   | 41 |
| 9  | ผลของการใช้อุณหภูมิและระยะเวลาต่อค่าความสามารถในการอุ่มน้ำของรำข้าว.....   | 44 |
| 10 | องค์ประกอบของเคมีของรำข้าวคิบและรำข้าวที่ใช้ด่างที่อุณหภูมิ 90 องศาเซลเซียส<br>ระยะเวลา 1 ชั่วโมง.....   | 44 |
| 11 | การเปรียบเทียบค่าเฉลี่ยของตัวแปรตามการแปรรูปและลักษณะทางกายภาพของเอกซ์ทรูเดต<br>แป้งข้าวผอมรำข้าวคิบกับแป้งข้าวผอมรำข้าวที่ใช้ด่าง 20 เปอร์เซ็นต์.....   | 46 |
| 1x | ค่าเฉลี่ยของตัวแปรตามการแปรรูปจากกระบวนการเอกซ์ทรูชันแป้งข้าว<br>100 เปอร์เซ็นต์.....  | 87 |
| 2x | ค่าเฉลี่ยของตัวแปรตามการแปรรูปจากกระบวนการเอกซ์ทรูชันแป้งข้าวผอม<br>รำข้าวคิบ 10 เปอร์เซ็นต์.....  | 88 |
| 3x | ค่าเฉลี่ยของตัวแปรตามการแปรรูปจากกระบวนการเอกซ์ทรูชันแป้งข้าวผอม<br>รำข้าวคิบ 20 เปอร์เซ็นต์.....  | 89 |
| 4x | ค่าเฉลี่ยของตัวแปรตามการแปรรูปจากกระบวนการเอกซ์ทรูชันแป้งข้าวผอม<br>รำข้าวที่ใช้ด่าง 20 เปอร์เซ็นต์.....   | 90 |
| 5x | ค่าเฉลี่ยของลักษณะทางกายภาพของเอกซ์ทรูเดตแป้งข้าว 100 เปอร์เซ็นต์.....   | 91 |

## สารบัญตาราง (ต่อ)

| ตารางที่ |   | หน้า |
|----------|---|------|
| 6ข       | ค่าเฉลี่ยของลักษณะทางกายภาพของเด็กที่รู้เดตเป็นข้าวผสมรำข้าวคิบ<br>10 เปอร์เซ็นต์.....                            | 92   |
| 7ข       | ค่าเฉลี่ยของลักษณะทางกายภาพของเด็กที่รู้เดตเป็นข้าวผสมรำข้าวคิบ<br>20 เปอร์เซ็นต์.....                            | 93   |
| 8ข       | ค่าเฉลี่ยของลักษณะทางกายภาพของเด็กที่รู้เดตเป็นข้าวผสมรำข้าวที่ใช้ด่าง<br>20 เปอร์เซ็นต์.....                     | 94   |
| 1ค       | สัมประสิทธิ์สมการถดถอยของตัวแปรตามการแปรรูปสำหรับเป็นข้าว<br>100 เปอร์เซ็นต์.....                                 | 96   |
| 2ค       | สัมประสิทธิ์สมการถดถอยของตัวแปรตามการแปรรูปสำหรับเป็นข้าวผสม<br>รำข้าวคิบ 10 เปอร์เซ็นต์.....                     | 97   |
| 3ค       | สัมประสิทธิ์สมการถดถอยของตัวแปรตามการแปรรูปเอกสารที่รุ้งสำหรับเป็นข้าว<br>ผสมรำข้าวคิบ 20 เปอร์เซ็นต์.....        | 98   |
| 4ค       | สัมประสิทธิ์สมการถดถอยของตัวแปรตามการแปรรูปเอกสารที่รุ้งสำหรับเป็นข้าว<br>ผสมรำข้าวที่ใช้ด่าง 20 เปอร์เซ็นต์..... | 99   |
| 5ค       | สัมประสิทธิ์สมการถดถอยของลักษณะทางกายภาพของเด็กที่รู้เดตเป็นข้าว<br>100 เปอร์เซ็นต์.....                          | 100  |
| 6ค       | สัมประสิทธิ์สมการถดถอยของลักษณะทางกายภาพของเด็กที่รู้เดตเป็นข้าว<br>ผสมรำข้าวคิบ 10 เปอร์เซ็นต์.....              | 101  |
| 7ค       | สัมประสิทธิ์สมการถดถอยของลักษณะทางกายภาพของเด็กที่รู้เดตเป็นข้าว<br>ผสมรำข้าวคิบ 20 เปอร์เซ็นต์.....              | 102  |
| 8ค       | สัมประสิทธิ์สมการถดถอยของลักษณะทางกายภาพของเด็กที่รู้เดตเป็นข้าว<br>ผสมรำข้าวที่ใช้ด่าง 20 เปอร์เซ็นต์.....       | 103  |

## สารบัญภาพ

ภาพที่

หน้า

|   |   |    |
|---|---|----|
| 1 | พื้นที่ผิวตอบสนองของแรงทอร์คที่สร้างระหว่างตัวแปรความชื้นวัตถุดินและความเร็วรอบสกรูในกระบวนการเอกซ์ทรูชันแบ่งข้าว 100 เปอร์เซ็นต์แบ่งข้าวผสมรำข้าวคิบ 10 และ 20 เปอร์เซ็นต์.....        | 21 |
| 2 | พื้นที่ผิวตอบสนองของแรงทอร์คที่สร้างระหว่างตัวแปรความเร็วรอบสกรูและอุณหภูมิบานแรลในกระบวนการเอกซ์ทรูชันแบ่งข้าว 100 เปอร์เซ็นต์แบ่งข้าวผสมรำข้าวคิบ 10 และ 20 เปอร์เซ็นต์.....          | 22 |
| 3 | พื้นที่ผิวตอบสนองของพลังงานกลจำเพาะที่สร้างระหว่างตัวแปรความชื้นวัตถุดินและความเร็วรอบสกรูในกระบวนการเอกซ์ทรูชันแบ่งข้าว 100 เปอร์เซ็นต์แบ่งข้าวผสมรำข้าวคิบ 10 และ 20 เปอร์เซ็นต์..... | 23 |
| 4 | พื้นที่ผิวตอบสนองของพลังงานกลจำเพาะที่สร้างระหว่างตัวแปรความเร็วรอบสกรูและอุณหภูมิบานแรลในกระบวนการเอกซ์ทรูชันแบ่งข้าว 100 เปอร์เซ็นต์แบ่งข้าวผสมรำข้าวคิบ 10 และ 20 เปอร์เซ็นต์.....   | 24 |
| 5 | พื้นที่ผิวตอบสนองของความดันที่หัวแบบที่สร้างระหว่างตัวแปรความชื้นวัตถุดินและอุณหภูมิบานแรลในกระบวนการเอกซ์ทรูชันแบ่งข้าว 100 เปอร์เซ็นต์แบ่งข้าวผสมรำข้าวคิบ 10 และ 20 เปอร์เซ็นต์..... | 26 |
| 6 | พื้นที่ผิวตอบสนองของความดันที่หัวแบบที่สร้างระหว่างตัวแปรความเร็วรอบสกรูและอุณหภูมิบานแรลในกระบวนการเอกซ์ทรูชันแบ่งข้าว 100 เปอร์เซ็นต์แบ่งข้าวผสมรำข้าวคิบ 10 และ 20 เปอร์เซ็นต์.....  | 27 |
| 7 | พื้นที่ผิวตอบสนองของความหนืด粘滞ยึดที่สร้างระหว่างตัวแปรความชื้นวัตถุดินและอุณหภูมิบานแรลในกระบวนการเอกซ์ทรูชันแบ่งข้าว 100 เปอร์เซ็นต์.....  | 28 |
| 8 | พื้นที่ผิวตอบสนองของอัตราการขยายตัวที่สร้างระหว่างตัวแปรความเร็วรอบสกรูและอุณหภูมิบานแรลในกระบวนการเอกซ์ทรูชันแบ่งข้าว 100 เปอร์เซ็นต์แบ่งข้าวผสมรำข้าวคิบ 10 และ 20 เปอร์เซ็นต์.....   | 32 |
| 9 | พื้นที่ผิวตอบสนองของอัตราการขยายตัวที่สร้างระหว่างตัวแปรความชื้นวัตถุดินและอุณหภูมิบานแรลในกระบวนการเอกซ์ทรูชันแบ่งข้าว 100 เปอร์เซ็นต์แบ่งข้าวผสมรำข้าวคิบ 10 และ 20 เปอร์เซ็นต์.....  | 33 |

## สารบัญภาพ (ต่อ)

ภาพที่

หน้า

|    |  |    |
|----|--|----|
| 10 | พื้นที่ผิวตอบสนองของความหนาแน่นที่สร้างระหว่างตัวแปรความชื้นวัตถุคิบ<br>และความเร็วรอบสกูรในกระบวนการเอกซ์ทรูชันแบ่งข้าว 100 เบอร์เซ็นต์<br>แบ่งข้าวผสมรำข้าวคิบ 10 และ 20 เบอร์เซ็นต์.....                          | 36 |
| 11 | พื้นที่ผิวตอบสนองของความหนาแน่นที่สร้างระหว่างตัวแปรความชื้นวัตถุคิบ<br>และอุณหภูมิบาร์ลในกระบวนการเอกซ์ทรูชันแบ่งข้าว 100 เบอร์เซ็นต์<br>แบ่งข้าวผสมรำข้าวคิบ 10 และ 20 เบอร์เซ็นต์.....                            | 37 |
| 12 | พื้นที่ผิวตอบสนองของแรงกดแตกที่สร้างระหว่างตัวแปรความชื้นวัตถุคิบ<br>และอุณหภูมิบาร์ลในกระบวนการเอกซ์ทรูชันแบ่งข้าว 100 เบอร์เซ็นต์<br>และแบ่งข้าวผสมรำข้าวคิบ 10 เบอร์เซ็นต์.....                                   | 38 |
| 13 | พื้นที่ผิวตอบสนองของแรงกดแตกที่สร้างระหว่างตัวแปรความเร็วรอบสกูร<br>และอุณหภูมิบาร์ลในกระบวนการเอกซ์ทรูชันแบ่งข้าว 100 เบอร์เซ็นต์<br>และแบ่งข้าวผสมรำข้าวคิบ 10 เบอร์เซ็นต์.....                                    | 39 |
| 14 | ภาพโกรงสร้างรำข้าวจากกล้องจุลทรรศน์อิเล็กตรอน.....   | 43 |
| 15 | พื้นที่ผิวตอบสนองของแรงหอร์คระหว่างตัวแปรความชื้นวัตถุคิบและความเร็วรอบ<br>สกูรในกระบวนการเอกซ์ทรูชันแบ่งข้าวผสมรำข้าวคิบ 20 เบอร์เซ็นต์.....  | 46 |
| 16 | พื้นที่ผิวตอบสนองของแรงหอร์คในกระบวนการเอกซ์ทรูชันแบ่งข้าวผสมรำข้าว<br>ที่ใช้ค่า 20 เบอร์เซ็นต์ ระหว่างตัวแปรความชื้นวัตถุคิบ และความเร็วรอบสกูร<br>และที่สร้างระหว่างตัวแปรความชื้นวัตถุคิบและอุณหภูมิบาร์ล.....    | 47 |
| 17 | พื้นที่ผิวตอบสนองของพลังงานกลจำเพาะระหว่างตัวแปรความชื้นวัตถุคิบและ<br>ความเร็วรอบสกูรในกระบวนการเอกซ์ทรูชันแบ่งข้าวผสมรำข้าวคิบ 20 เบอร์เซ็นต์.....   | 48 |
| 18 | พื้นที่ผิวตอบสนองของพลังงานกลจำเพาะในกระบวนการเอกซ์ทรูชันแบ่งข้าวผสมรำข้าว<br>ที่ใช้ค่า 20 เบอร์เซ็นต์ ระหว่างตัวแปรความชื้นวัตถุคิบ และความเร็วรอบสกูร และทำการ<br>เปลี่ยนแปลงความชื้นวัตถุคิบและอุณหภูมิบาร์ล..... | 49 |
| 19 | พื้นที่ผิวตอบสนองของความดันที่หัวแบบในกระบวนการเอกซ์ทรูชันแบ่งข้าวผสม<br>รำข้าวคิบ 20 เบอร์เซ็นต์ ระหว่างตัวแปรความชื้นวัตถุคิบ และอุณหภูมิของบาร์ล.....   | 51 |
| 20 | กราฟเส้นแสดงความสัมพันธ์ระหว่างปริมาณความชื้นของแบ่งข้าวผสมรำข้าว<br>ที่ใช้ค่า 20 เบอร์เซ็นต์ กับความดันที่หัวแบบ.....   | 51 |

## สารบัญภาพ (ต่อ)

ภาพที่

หน้า

|    |  |    |
|----|--|----|
| 21 | พื้นที่ผิวตอบสนองของอัตราการขยายตัวในกระบวนการเอกซ์ทรูชันเป็นข้าวผสม<br>รำข้าวคิน 20 เบอร์เซ็นต์ ระหว่างตัวแปรความชื้นวัตถุคินและความเร็วอบสกูร<br>และระหว่างตัวแปรความชื้นวัตถุคินและอุณหภูมินาเรล.....         | 54 |
| 22 | พื้นที่ผิวตอบสนองของอัตราการขยายตัวในกระบวนการเอกซ์ทรูชันเป็นข้าวผสมรำข้าว<br>ที่ใช้ด่าง 20 เบอร์เซ็นต์ ระหว่างตัวแปรความชื้นวัตถุคินและความเร็วอบ สกูร<br>และระหว่างตัวแปรความชื้นวัตถุคินและอุณหภูมินาเรล..... | 55 |
| 23 | พื้นที่ผิวตอบสนองของความหนาแน่นระหว่างตัวแปรความชื้นวัตถุคินและอุณหภูมินาเรล<br>ในกระบวนการเอกซ์ทรูชันเป็นข้าวผสมรำข้าวคิน 20 เบอร์เซ็นต์.....   | 56 |
| 24 | พื้นที่ผิวตอบสนองของแรงกดแตกในกระบวนการเอกซ์ทรูชันเป็นข้าวผสมรำข้าว<br>ที่ใช้ด่าง 20 เบอร์เซ็นต์ ระหว่างตัวแปรความชื้นวัตถุคินและความเร็วอบสกูร<br>และที่สร้างระหว่างตัวแปรความชื้นวัตถุคินและอุณหภูมินาเรล..... | 57 |
| 25 | โครงสร้างลักษณะภายนอกของเอกทรูเดตจากส่วนผสมรำข้าวคินและรำสกัด<br>ที่เติมแคลเซียมคาร์บอนเนตในปริมาณต่างกัน.....   | 59 |
| 26 | อัตราการขยายตัวของเอกซ์ทรูเดตจากส่วนผสมรำข้าวคินและรำสกัด<br>ที่เติมแคลเซียมคาร์บอนเนตในปริมาณต่างกัน.....   | 60 |
| 27 | ความหนาแน่นของเอกซ์ทรูเดตจากส่วนผสมรำข้าวคินและรำสกัด<br>ที่เติมแคลเซียมคาร์บอนเนตในปริมาณต่างกัน.....   | 61 |
| 28 | แรงกดแตกของเอกซ์ทรูเดตจากส่วนผสมรำข้าวคินและรำสกัด<br>ที่เติมแคลเซียมคาร์บอนเนตในปริมาณต่างกัน.....  | 61 |
| 29 | แผนภาพแสดงลักษณะทางประสานสัมพันธ์ของผู้บริโภคต่อเอกซ์ทรูเดต.....   | 62 |
| 30 | การเปลี่ยนแปลงความชื้นตามระยะเวลาการเก็บรักษาเอกซ์ทรูเดตจากส่วนผสมรำข้าว<br>ที่เก็บไว้ที่อุณหภูมิห้องและ $45^{\circ}\text{C}$ เป็นระยะเวลา 4 สัปดาห์.....  | 64 |
| 31 | การเปลี่ยนแปลง Aw ตามระยะเวลาการเก็บรักษาเอกซ์ทรูเดต จากส่วนผสมรำข้าว<br>ที่เก็บไว้ที่อุณหภูมิห้องและ $45^{\circ}\text{C}$ เป็นระยะเวลา 4 สัปดาห์.....   | 64 |
| 32 | การเปลี่ยนแปลงแรงกดแตกตามระยะเวลาการเก็บรักษาเอกซ์ทรูเดตจากส่วนผสมรำข้าว<br>ที่เก็บไว้ที่อุณหภูมิห้องและ $45^{\circ}\text{C}$ เป็นระยะเวลา 4 สัปดาห์.....  | 65 |

## สารบัญภาพ (ต่อ)

| ภาพที่  | หน้า |
|---|------|
| 33 การเปลี่ยนแปลงค่า TBA ตามระยะเวลาการเก็บรักษาเอกสารฐานเดตจากส่วนผสมรำข้าวที่เก็บไว้ที่อุณหภูมิห้องและ 45°C เป็นระยะเวลา 4 สัปดาห์..... | 65   |
| 34 แผนภาพแสดงลักษณะทางประสานผังของเอกสารฐานเดตจากส่วนผสมรำข้าวที่เก็บไว้ที่อุณหภูมิห้องและ 45°C เป็นระยะเวลา 4 สัปดาห์.....               | 66   |

## บทที่ 1

### บทนำ

#### 1.1 ความสำคัญ ที่มาของปัญหาที่ทำการวิจัย และทบทวนเอกสารที่เกี่ยวข้อง

ข้าวเป็นพืชเศรษฐกิจหลักที่สำคัญของประเทศไทย ในปี 2541 ไทยสามารถส่งข้าวเป็นสินค้าออกได้สูงสุดเป็นประวัติการณ์จำนวน 6.41 ล้านตัน มูลค่าประมาณ 85,676 ล้านบาท แต่ในอนาคตคาดว่าการค้าข้าวจะมีการเปลี่ยนผันผวน และประเทศไทยนำเข้าข้าวจากไทยจะลดลงได้มากขึ้น ทำให้ความต้องการจากไทยลดลง (ข่าวธุรกิจในประเทศไทย, 2542) ดังนั้นการเพรรูปอาหารจากข้าวเพื่อส่งขายภายในและต่างประเทศจึงเป็นทางออกอีกทางหนึ่งและเป็นการเพิ่มนูลค่าแก่ข้าวให้สูงขึ้น อีกทั้งระหว่างกระบวนการสีข้าวในขั้นตอนของการเตรียมเปลือกและการขัดสีจะมีรำขามและรำละเอียดเป็นผลพลอยได้ประมาณ 8-10 เปอร์เซ็นต์ของข้าวเปลือก รำข้าวเป็นวัตถุดินที่มีราคาถูกซึ่งส่วนใหญ่ถูกนำไปใช้เลี้ยงสัตว์ และบางส่วนนำไปปลูกเป็นน้ำมัน แต่การนำไปใช้ประโยชน์ในด้านอื่นยังไม่กว้างขวางนัก (สายสม ประดิษฐวงศ์, 2541; Oakenfull, 1989) เนื่องจากรำข้าวเป็นวัตถุดินที่มีปริมาณวิตามินบี, oryzanol, โปรตีน และไขอาหารสูง ดังนั้นถ้าสามารถนำไปใช้เติมในการผลิตผลิตภัณฑ์ของตัวได้ก็จะเป็นการเพิ่มปริมาณไขอาหารให้แก่ผลิตภัณฑ์และเพิ่มนูลค่าให้แก่รำข้าวอีกด้วย นอกจากนี้ผู้บริโภคในปัจจุบันได้ให้ความสำคัญในการบริโภคไขอาหารมากขึ้น เนื่องจากพบว่าการบริโภคไขอาหารในปริมาณที่เพียงพอต่อความต้องการของร่างกายจะช่วยป้องกันการเกิดโรคบางชนิด เช่น โรคอ้วน มะเร็งลำไส้ และช่วยลดระดับโคเลสเตอรอลและไตรกลีเซอไรด์ในเลือดได้ (Cho et al., 1999) นอกจากนี้ oryzanol ก็เป็นสาร antioxidant ที่แรง ซึ่งมีการสกัดใช้ในอุตสาหกรรมยา ดังนั้นหากสามารถเติมรำข้าวในผลิตภัณฑ์ของตัวได้ก็อาจถือได้ว่าเป็นการเติม functional ingredient ให้กับผลิตภัณฑ์ของตัว

โดยปกติแล้วข้าวเป็นวัตถุดินในการนำมาผลิตเป็นขนมขบเคี้ยวและผลิตภัณฑ์อาหารเช้าอย่าง กว้างขวาง เนื่องจากแป้งข้าวมีการพองตัวที่ดี ผลิตภัณฑ์ที่ได้มีสีขาวและไม่มีรสชาติ เหมาะสมแก่การปรุงแต่งรส สี และกลิ่น (Matz, 1991) งานวิจัยส่วนใหญ่ใช้วัตถุดินเป็นแป้งข้าวหรือข้าวที่ผ่านการขัดสีแล้วแทนทั้งสิ้น (Han et al., 1988; Pan et al., 1991; Yeh และ Jaw, 1999) ส่วนงานวิจัยที่เกี่ยวกับการใช้รำข้าวเติมลงในแป้งข้าวเพื่อเป็นวัตถุดินในการกระบวนการเอกซ์ทรูชันยังมีอยู่น้อย และพบว่าการเติมวัตถุดินที่มีสารอาหารประเภทโปรตีน ไขมัน และไขอาหารสูงทำให้มีความยกในการควบคุมการแปรรูป และส่งผลให้สมบูรณ์ทางกายภาพของผลิตภัณฑ์ต่างๆ คือเมื่อมีปริมาณโปรตีนสูงขึ้นจะส่งผลให้ผลิตภัณฑ์มีการขยายตัวต่ำลง และความคงทางด้านเนื้อสัมผัสต่ำลง (ประชา บุญญสิริกุล และคณะ, 2539; Pan et al., 1991) ส่วนปริมาณไขมันและไขอาหารที่

สูงขึ้นก็จะส่งผลให้ความหนาแน่นของผลิตภัณฑ์สูงขึ้น และการขยายตัวกีต่ำลงเข่นเดียวกัน (Grenus et al., 1993; Jin et al., 1994; Berglund et al., 1994) ดังนั้นการที่จะผลิตผลิตภัณฑ์ พองตัวจากแป้งข้าวและรำข้าวให้มีลักษณะทางกายภาพที่ดีได้ต้องคัดเลือกปัจจัยต่างๆ ของหัวตقطุ่น และสภาวะการแปรรูปที่มีความเหมาะสม เช่น ในการคัดเลือกพันธุ์ข้าวพบว่าอัตราส่วนของโซโนโลสและอะไมโนโลสเพคตินมีอิทธิพลต่อคุณภาพด้านเนื้อสัมผัสของผลิตภัณฑ์ โดยพบว่าข้าวเหนียวซึ่งมีปริมาณอะไมโนโลสต่ำมากจะให้ออกซ์ทรูเดตที่มีความเหนียวสูง และมีการขยายตัวต่ำกว่าออกซ์ทรูเดตจากข้าวเจ้าที่มีปริมาณอะไมโนโลสต่ำในช่วงประมาณ 12.8-16.7 เบอร์เซ็นต์ และเมื่อข้าวมีปริมาณอะไมโนโลสสูงขึ้นจะส่งผลให้มีการขยายตัวลดลง (Pan et al., 1991; Yoshii และ Arisaka, 1994) ดังนั้นในผลิตภัณฑ์พองตัวจึงควรเลือกใช้พันธุ์ข้าวเจ้าที่มีปริมาณอะไมโนโลสต่ำ โดยข้าวไทยที่มีปริมาณอะไมโนโลสต่ำและเพาะปลูกกันมากคือขาวดองมะลิ 105 ซึ่งในอุตสาหกรรมสีข้าวหอมมะลินี้จะมีข้าวหักและปลายข้าวเป็นผลผลอยได้ที่มีราคาต่ำ หากมีการนำมาแปรรูปเป็นผลิตภัณฑ์ที่มีมูลค่าสูงขึ้น เช่น การทำเป็นผลิตภัณฑ์อาหารพองตัวซึ่งสามารถขยายเป็นขนาดใหญ่ขึ้น และอาหารเช้าสำเร็จรูป (Breakfast cereals) ได้ จะช่วยเพิ่มการใช้ประโยชน์จากผลผลอยได้เหล่านี้ได้ Lue et al. (1991) พบว่าการเติมไขอาหารร่วมกับแป้งข้าวโพดบดหยาบในกระบวนการเอกสารชั้นจะทำให้มีความต้องการน้ำเพื่อใช้ในการเกิดเฉลอลاتติโน๊เซชันของสารบาร์ชีพเพิ่มขึ้น เนื่องจากไขอาหารมีความสามารถในการอุ้มน้ำสูงจึงไปแบ่งน้ำกับสารบาร์ชในการจับกันน้ำ ดังนั้นหัวตقطุ่นที่มีไขอาหารสูงจึงต้องการความชื้นที่แตกต่างไปจากแป้งธัญชาติปกติ Grenus et al. (1993) สรุปว่าการเติมรำข้าวลงในแป้งข้าวจะส่งผลให้ค่าตัวแปรตามจากเครื่องเอกสารชั้นจะลดลง แรงทอร์ค ความดันที่หัวแบบค่าพลังงานกลจำเพาะ และอุณหภูมิของผลิตภัณฑ์เปลี่ยนไป รวมทั้งการขยายตัวของผลิตภัณฑ์ลดลงเมื่อเติมรำข้าวในระดับที่สูงกว่า 10 เบอร์เซ็นต์เนื่องจากการลดลงของอุณหภูมิของผลิตภัณฑ์ จากงานวิจัยที่เกี่ยวข้องกับการเติมไขอาหารในผลิตภัณฑ์พองตัวด้วยกระบวนการเอกสารชั้นหัวตقطุ่นที่กล่าวมาข้างต้นนี้ ยังไม่มีการศึกษาการเติมรำข้าวในแป้งข้าวหอมมะลิ ซึ่งหากสมมุติฐานข้างต้นใช้ได้กับการเอกสารชั้นหัวตقطุ่น แป้งข้าวผสมกับรำข้าวแล้ว การเติมรำข้าวอาจมีผลทำให้เกิดลักษณะการขยายตัว และเนื้อสัมผัสที่ไม่ดีต่อผลิตภัณฑ์พองตัว ดังนั้นหากมีวิธีการที่สามารถแก้ไขปัญหานี้ได้ ก็จะเป็นการพิมการใช้ประโยชน์ของรำข้าวและเพิ่มคุณค่าทางโภชนาการให้กับผลิตภัณฑ์เหล่านี้ด้วย การดัดแปลงคุณสมบัติของรำข้าวด้วยวิธีทางเคมีเป็นวิธีหนึ่งที่อาจทำให้เพิ่มปริมาณการใช้รำข้าวในผลิตภัณฑ์พองตัวได้ ดังมีงานวิจัยที่ใช้ด่างโซเดียมไนเตรตกาลไนเตรต ( $\text{pH } 9.0-11.0$ ) เพื่อคัดแยกคุณสมบัติของไขอาหารจำพวกรำธัญชาติต่างๆ พบว่าไขอาหารที่ผ่านการดัดแปลงด้วยด่างจะมีลักษณะโครงสร้างที่มีรูพรุนมากขึ้น มีความสามารถในการอุ้มน้ำสูงขึ้น ความเป็นระเบียนของโครงสร้างไขอาหารต่ำลง และองค์ประกอบของไขอาหารที่สามารถละลายน้ำได้มีปริมาณสูงขึ้น (Ning et al.,

1991) น่าจะเป็นแนวโน้มที่แสดงให้เห็นว่าไข้อาหารที่ผ่านการดัดแปลงด้วยคลีกซิมเนื้อสัมผัส ที่อ่อนนุ่มลง Jasberg et al. (1989a) ศึกษาถึงการใช้ไข้อาหารที่ผ่านการดัดแปลงด้วยด่าง (alkaline hydrogen peroxide, pH 11.5) ในผลิตภัณฑ์เก็กเพื่อเพิ่มไข้อาหารและลดแคลอรี่ พนว่าการเติมไข้อาหารที่ดัดแปลงด้วยด่างแล้วในส่วนผสม 5-10 เบอร์เซ็นต์ จะส่งผลให้ปริมาตรของเก็กเพิ่มขึ้น และการแทนที่แป้งด้วยไข้อาหารที่ผ่านการดัดแปลงมากถึง 20 เบอร์เซ็นต์ จะไม่ทำให้ความสูงของเก็กลดลง นอกจากนี้ Jasberg et al. (1989b) ที่ได้ศึกษาถึงการนำไข้อาหารที่ผ่านการดัดแปลงด้วยด่างมาทดลองผลิตภัณฑ์ปังพวงว่า โดยมีความแข็งแรงและทนต่อแรงดึงมากกว่าการเติมไข้อาหารปกติ และเมื่อผ่านการอบจะให้ปริมาตรของขนมปังสูงกว่า เช่นเดียวกัน

จากผลงานวิจัยข้างต้นทำให้คาดการณ์ได้ว่า การเติมรำข้าวอาจส่งผลกระทบเสียต่อสมบัติของผลิตภัณฑ์ ดังนี้ การศึกษาผลของการเติมรำข้าวในผลิตภัณฑ์ข้าวพองตัวด้วยการแปรรูปเอ็กซ์ทรูชัน จึงเป็นเรื่องที่น่าทำการวิจัยเพื่อทดสอบสมมุติฐานดังกล่าว ซึ่งหากมีผลเสียต่อลักษณะผลิตภัณฑ์ ประเภทนี้แล้ว การศึกษาการใช้กระบวนการทางเคมีดัดแปลงคุณสมบัติของรำข้าวจึงเป็นเรื่องที่น่าสนใจ เพื่อใช้เป็นข้อมูลสำหรับการนำไปใช้ในงานวิจัยและพัฒนาผลิตภัณฑ์ของตัวหากแป้งข้าว และรำข้าวต่อไป

## 1.2 วัตถุประสงค์ของโครงการวิจัย

- เพื่อศึกษาการเติมรำข้าวในแป้งข้าวเพื่อแปรรูปเป็นผลิตภัณฑ์พองตัวด้วยการเอ็กซ์ทรูชัน
- เพื่อตรวจสอบสมบัติทางกายภาพของผลิตภัณฑ์ข้าวพองตัว
- เพื่อศึกษาการดัดแปลงรำข้าวด้วยวิธีทางเคมีและนำมายังผลิตภัณฑ์ข้าวสมรำข้าวพองตัว
- เพื่อศึกษาการใช้สารเพิ่มฟองอาหารในผลิตภัณฑ์ข้าวพองรำข้าวพองตัว

## 1.3 การวิจัยที่เกี่ยวข้อง และคล้ายคลึงกับงานวิจัยที่ทำ

### องค์ประกอบของวัตถุคินที่มีผลต่อคุณภาพของผลิตภัณฑ์พองตัวจากข้าวพืช

1. สเตาร์ช (starch) ในส่วนผสมของวัตถุคินต้องมีสเตาร์ชเป็นองค์ประกอบหลัก และมีปริมาณมากกว่าสารอาหารอื่น เ�ราะสเตาร์ชมีความสำคัญต่อการขยายตัว ลักษณะปราภูมิ เนื้อสัมผัส และลักษณะทางประสานสัมผัสของผลิตภัณฑ์ (Gordon, 1989) ปริมาณสเตาร์ชที่น้อยกว่าร้อยละ 60 จะส่งผลให้ผลิตภัณฑ์มีการพองตัวน้อย มีเนื้อสัมผัสแข็ง และแน่น (Sunderland, 1996)

2. อัมโมโนโลสและอะมิโนโลเพคติน (amylose และ amylopectin) Yoshii and Arisaka (1994) รายงานว่าปริมาณอะมิโนโลสของแป้งข้าวส่งผลต่อลักษณะทางกายภาพของผลิตภัณฑ์ โดยมีความสัมพันธ์ตรงข้ามกับอัตราการพองตัว เช่นเดียวกับผลการทดลองของ Feldbegr (1969) ที่

พบว่าอัตราส่วนของอะมิโน酳และอะมิโน酳เพคตินในแป้งข้าวโพดมีอิทธิพลต่อคุณภาพของเนื้อสัมผัสผลิตภัณฑ์ กล่าวคืออะมิโน酳เพคตินช่วยในการพองตัว ทำให้น้ำหนักเบา ส่วนอะมิโน酳ถ้ามีมากทำให้การพองตัวลดลงหรือทำให้ค่าปริมาตรจำเพาะต่ำลง อีกทั้งผลการทดลองของ Bhattacharya and Hanna (1987) รายงานถึงการขยายตัวของเอกซ์ทรูเดตแป้งข้าวโพดสูงขึ้นเมื่อปริมาณอะมิโน酳ต่ำลง และความหนาแน่นก็มีแนวโน้มลดลงด้วย อย่างไรก็ตามพบว่าข้าวเหนียวมีผลทำให้ผลิตภัณฑ์ที่ได้มีความหนาแน่นสูง และการขยายตัวต่ำกว่าข้าวเจ้าที่มีปริมาณอะมิโน酳ต่ำ การเพิ่มขึ้นของปริมาณอะมิโน酳เพคตินในวัตถุคิบส่งผลต่อการเพิ่มความสามารถในการละลายน้ำ (water solubility index) และลดค่าความสามารถในการดูดน้ำ (water absorption index) ของเอกซ์ทรูเดต (Pan et al., 1991)

3. โปรตีน (protein) โปรตีนเป็นองค์ประกอบหนึ่งที่มีผลต่อการขยายตัวของผลิตภัณฑ์ โดย Conway and Anderson (1973) พบว่าการเพิ่มปริมาณโปรตีนสกัดจากถั่วเหลือง (soy protein isolate) มีผลไปลดการขยายตัวของเอกซ์ทรูเดตแป้งข้าวโพด เช่นเดียวกับการศึกษาของ Mohamed (1990) อาจเนื่องจากสารเหตุที่โปรตีนมีความสามารถในการพองตัวต่ำกว่าสตาร์ช จากการทดลองของ Bhattacharya et al. (1986) แสดงให้เห็นถึงการเพิ่มแรงเฉือนด้วยการเพิ่มความเรื้อรอบสกู๊ฟกับวัตถุคิบผสมระหว่างกัญชากับข้าวโพด (corn gluten meal) กับโปรตีนสกัดจากถั่วเหลือง จะมีส่วนช่วยปรับปรุงค่าการขยายตัว เพิ่มความสามารถในการอุ้มน้ำ ลดความหนาแน่น และลดแรงที่ใช้ในการเฉือน (shear strength) ของผลิตภัณฑ์ Bhattacharya et al. (1997) ได้ทำการทดลองถึงผลกระทบของการเติมถั่ว (chickpea) ลงในกระบวนการเอกซ์ทรูชันของแป้งข้าวถั่วเครื่องเอกซ์ทรูเดอร์สกู๊ฟเดี่ยว พบว่าเอกซ์ทรูเดตจากแป้งข้าว 100 เปอร์เซ็นต์ มีอัตราการขยายตัวสูงสุดและความหนาแน่นต่ำสุด ซึ่งจากการตรวจสอบด้วยกล้องจุลทรรศน์อิเล็กตรอน (scanning electron microscope) จะพบโครงอาการชำนาญมาก และเมื่อเพิ่มปริมาณถั่วทำให้องค์ประกอบทางเคมีของวัตถุคิบและผลิตภัณฑ์ด้านปริมาณการ์โนไไซเดตลดลง ในขณะที่ปริมาณโปรตีนสูงขึ้น ส่งผลให้เกิดการลดลงอย่างมีนัยสำคัญของอัตราการขยายตัว ความหนาแน่นเพิ่มขึ้น พบโครงสร้างของโครงอาการที่ไม่สมบูรณ์ และจำนวนโครงอาการลดลง Onwulata et al. (1998) ศึกษาผลของการเติมนมยีนโปรตีน (whey protein concentrate) ลงในสตาร์ชข้าวโพดและสตาร์ชมัน ฟรัง แล้วผ่านกระบวนการเอกซ์ทรูชันทั้งแบบแรงเฉือนต่ำ และแรงเฉือนสูง ผลพบว่าการเติมนมยีนโปรตีนมากกว่าร้อยละ 25 ส่งผลไปลดค่าพลังงานกลจำเพาะ (specific mechanical energy) ของกระบวนการแปรรูป และส่งผลให้การขยายตัว และค่าดัชนีการดูดซับน้ำของผลิตภัณฑ์ (water absorption indices) ลดลง รวมทั้งลักษณะเนื้อสัมผัสจะแข็งและกระด้างมากขึ้น

4. ไขมัน (fat) ปริมาณไขมันในวัตถุคินมีผลต่อตัวแปรตามการแปรรูปด้วยเอกสารชี้ที่ (system parameters) และลักษณะทางกายภาพของเอกสารชี้ที่เดตเป็นข้าว (Grenus et al., 1993; Ilo et al., 1999) เมื่อวัตถุคินมีปริมาณไขมันสูงขึ้นหรือมีน้ำมันส่วนที่เป็นอิสระให้ลดลงจากส่วนของสารสกัดที่ส่วนที่ต้องการให้เครื่องเอกสารชี้ที่เดตทำงานด้วยตัวทอร์คและตัวพลังงานกลจำเพาะที่ต่ำลง เนื่องจากไขมันจะไปทำหน้าที่เป็นสารหล่อลื่น และไปลดความหนืดของโดยที่อยู่ภายในบาร์เลต ส่วนลดให้อัตราการขยายตัวของผลิตภัณฑ์ลดลง ความหนาแน่นและแรงที่ใช้ในการตัดมีค่าสูงขึ้น อย่างไรก็ตามงานวิจัยของ Mohamed (1990) พบว่าวัตถุคินที่มีปริมาณไขมันไม่เกินร้อยละ 4 จะมีอัตราการขยายตัวสูงขึ้นเมื่อมีปริมาณไขมันสูงขึ้น ซึ่งอาจเนื่องมาจากการไขมันมีส่วนช่วยเพิ่มประสิทธิภาพในการถ่ายเทความร้อนระหว่างกระบวนการเอกสารชี้ที่ชี้ที่

5. ใยอาหาร (fiber) Lue et al. (1991) ได้ทำการศึกษาผลของใยอาหารโดยใช้ใยอาหารจากต้นบีท (sugar beet fiber) ต่อกระบวนการเอกสารชี้ที่ชี้ที่ของเป็นข้าวโพด ผลพบว่าการเพิ่มปริมาณใยอาหารมีแนวโน้มทำให้การขยายตัวในแนวรัศมีของเอกสารชี้ที่ชี้ที่เดตต่ำลง ในขณะที่การขยายตัวทางข้าว สูงขึ้น เมื่อศึกษาโครงสร้างภายในของเอกสารชี้ที่ชี้ที่เดตโดยใช้กล้องจุลทรรศน์อิเล็กตรอน พบว่า การเติมใยอาหารร้อยละ 30 ทำให้ลักษณะโพรงอากาศมีขนาดเล็กลง และมีความสม่ำเสมอลดลง เมื่อเทียบกับการเติมใยอาหารที่ร้อยละ 10 และ 20 ผลดังกล่าวมีความสอดคล้องกันเมื่อดำเนินการแปรรูปทั้งที่ความเร็วอบสกู๊ด 200 และ 300 รอบต่อนาที อีกทั้งมีการศึกษาผลของการเติมรำข้าวสาลีสูงถึง 30 เปอร์เซ็นต์ และรำข้าวโอ๊ต 20 เปอร์เซ็นต์ ที่มีต่อตัวแปรตามการแปรรูปเอกสารชี้ที่ชี้ที่ของ Hsieh et al. (1989) พบการเปลี่ยนแปลงเพียงเล็กน้อยในค่าแรงทอร์ค พลังงานกลจำเพาะ และความดันที่หัวแบบ แต่พบการลดลงของการขยายตัวในแนวรัศมี และการเพิ่มขึ้นของความหนาแน่น และแรงที่ใช้ในการตัดเอกสารชี้ที่ชี้ที่ Onwulata et al. (2001) พบว่าการเติมใยอาหารตัวรำข้าวสาลีปริมาณ 12.5 เปอร์เซ็นต์ ในกระบวนการเอกสารชี้ที่ชี้ที่เดตเป็นข้าวโพดมีผลให้พลังงานกลจำเพาะ และอัตราการขยายตัวมีค่าลดลง รวมทั้งค่าแรงที่ใช้ในการกดแตก (breaking strength) มีค่านากขึ้น แต่ไม่พบการเปลี่ยนแปลงในส่วนของความหนาแน่น อีกทั้งมีผลให้ค่าความสามารถในการเก็บน้ำ (water retention) ในผลิตภัณฑ์เพิ่มขึ้น Berglund et al. (1994) ทำการเอกสารชี้ที่ชี้ที่เดตเป็นข้าวบานแล็ปพันธุ์ต่างๆ ที่มีปริมาณใยอาหารสูงในช่วง 12-18 เปอร์เซ็นต์ พบว่าเอกสารชี้ที่ชี้ที่เดตที่ได้มีการขยายตัวที่จำกัดและมีความหนาแน่นสูง แต่มีอัตราการแปรรูปเป็นข้าวปริมาณ 50 เปอร์เซ็นต์ ลงไปทำให้ความหนาแน่นของเอกสารชี้ที่ชี้ที่เดตลดลงถึง 50 เปอร์เซ็นต์ และมีลักษณะปราฏกัดกับเอกสารชี้ที่ชี้ที่เดตจากเป็นข้าว 100 เปอร์เซ็นต์ และจากการศึกษาทางด้านประสิทธิภาพพบว่า เอกสารชี้ที่ชี้ที่เดตจากวัตถุคินผสมเป็นข้าวนาลี่ 50 เปอร์เซ็นต์ มีคะแนนความกรอบและถึงสูงกว่าเอกสารชี้ที่ชี้ที่เดตจากเป็นข้าว 100 เปอร์เซ็นต์ ในขณะที่ Vasanthan et al. (2002) ได้ศึกษาผลจากการกระบวนการเอกสารชี้ที่ชี้ที่เดตต่อ

การเปลี่ยนแปลงปริมาณไขอาหารของแป้งข้าวนาลี พบว่าปริมาณไขอาหารที่ละลายได้และปริมาณไขอาหารทั้งหมดเพิ่มขึ้นภายหลังการออกซ์ฟอร์ดในช่วงอุณหภูมิ 90-140 องศาเซลเซียส และความชื้นระหว่าง 20-50 เปรอร์เซ็นต์ และกล่าวว่าการเพิ่มขึ้นของไขอาหารที่ละลายได้เกิดจากการเปลี่ยนแปลงของไขอาหารส่วนที่ไม่ละลายในระหว่างกระบวนการออกซ์ฟอร์ด

6. ความชื้น (moisture) น้ำมีผลอย่างมากต่อการสูญของผลิตภัณฑ์ทั้งในระบบที่มีปริมาณน้ำมากเกินพอ (Burt and Russell, 1983; Camire et al., 1990) และระบบที่มีน้ำน้อยหรือจำกัดในการกระบวนการออกซ์ฟอร์ด น้ำทำหน้าที่เป็นตัวถ่ายเทความร้อนและเป็นสารหล่อลื่น ช่วยในการควบคุมความดันและแรงเฉือนภายในออกซ์ฟอร์ด (Anderson et al., 1969; Bhattacharya and Hanna, 1987) Biliaderis et al. (1986) พบว่าปริมาณน้ำมีความสัมพันธ์กับอุณหภูมิที่ทำให้สถาาร์ซเกิดการเปลี่ยนแปลงหรือเกิดการสูญ โดยเมื่อระดับของน้ำลดลงจะส่งผลให้อุณหภูมิที่ต้องการเพื่อทำให้สถาาร์ซสูญสูงขึ้น Garber et al. (1997) พบว่าแรงทอร์คมีค่าลดลงเมื่อปริมาณความชื้นของแป้งข้าวโพดบดหยาบสูงขึ้นเนื่องจากความหนืดของโดยลดลง Zasypkin and Lee (1998) ได้ศึกษาผลของความชื้นของวัตถุดิบผสมระหว่างแป้งถั่วเหลืองกับแป้งสาลีที่มีต่อลักษณะเนื้อสัมผัสพบว่าในทุกๆ อัตราส่วนของวัตถุดิบผสม การให้ความชื้นวัตถุดิบในระดับต่ำสุดที่ 16 เปรอร์เซ็นต์ ส่งผลให้ออกซ์ฟอร์ดมีการขยายตัวสูงสุด มีความกรอบ และมีเนื้อสัมผัสที่เป็นที่ต้องการและมีการยอมรับสูงสุด และเมื่อความชื้นเริ่มต้นของวัตถุดิบมีค่าสูงขึ้นจะทำให้อัตราการพองตัวของผลิตภัณฑ์ลดลง ที่ปริมาณความชื้นต่ำส่งผลให้แรงเฉือนเนื่องจากการหมุนของสกรูภายในบาร์ลสูงขึ้น ทำให้การเกิดเจลلاتีไนเซชันของสถาาร์ซสูงขึ้น (Chinnaswamy and Hanna, 1988) และยังส่งผลถึงความหนืดของโดยภายในบาร์ลให้สูงขึ้น ทำให้แรงดันสูง ดังนั้นอัตราการพองตัวของผลิตภัณฑ์จึงสูงขึ้นตามด้วย (Mohamed, 1990) อย่างไรก็ตามถ้าปริมาณความชื้นของวัตถุดิบต่ำเกินไปส่งผลให้สถาาร์ซแตกตัว (dextrinization) จากแรงเฉือนเนื่องจากการหมุนของสกรู ทำให้อัตราการพองตัวของผลิตภัณฑ์มีค่าลดลง (Chinnaswamy and Hanna, 1988)

7. ขนาดอนุภาค (particle size) Garber et al. (1997) พบว่าการออกซ์ฟอร์ดแป้งข้าวโพดที่มีขนาดอนุภาคต่างๆ ส่งผลต่ออัตราการขยายตัวต่างกัน โดยแป้งข้าวโพดขนาดอนุภาค 50.2-94.2 ไมโครเมตร ให้ผลิตภัณฑ์ที่มีการพองตัวสูงสุด เมื่อขนาดอนุภาคใหญ่ขึ้นทำให้การพองตัวลดลง อีกทั้งการใช้ข้าวโพดบดหยาบที่มีขนาดอนุภาคใหญ่กว่า 1,400 ไมโครเมตร ให้การพองตัวที่ต่ำมาก อันเนื่องมาจากการเกิดเจลلاتีไนเซชันที่ไม่สมบูรณ์ ซึ่งสอดคล้องกับผลการวิจัยของ Desrumaux et al. (1998) ที่กล่าวว่าเมื่ออนุภาคของแป้งข้าวโพดใหญ่ขึ้นจะทำให้พื้นที่ผิวสัมผัสระหว่างอนุภาคต่ออนุภาคลดลง ทำให้มีแรงเสียทานต่อกันต่ำลง อุณหภูมิของโดยจึงลดลง และส่งผลไปลดการขยายตัวของออกซ์ฟอร์ด โดย polygons ในโครงสร้างจะมีขนาดใหญ่ขึ้น

เล็กน้อยในขณะที่จำนวนของโพรงอากาศลดลง อีกทั้งยังพบว่าการผสมไขอาหารที่มีขนาดอนุภาคเล็กลงในแป้งข้าวโพด มีผลในการปรับปรุงการขยายตัวของผลิตภัณฑ์ทั้งด้านยาวและแนวรัศมี (Lue et al., 1991)

### ตัวแปรด้านการแปรรูปที่มีผลต่อคุณภาพของผลิตภัณฑ์

1. อัตราการป้อนวัตถุคิบ (feed rate) อัตราการป้อนวัตถุคิบเป็นปัจจัยหนึ่งที่มีผลต่อลักษณะทางกายภาพของผลิตภัณฑ์ การเพิ่มอัตราการป้อนวัตถุคิบสู่เครื่องจะทำให้เกิดการเพิ่มความดันที่ทางออกของผลิตภัณฑ์ ลดพลังงานกลที่ป้อนเข้า และมีผลต่อการเปลี่ยนแปลงช่วงเวลาที่วัตถุคิบอยู่ในเครื่อง (residence time) ซึ่งการเปลี่ยนแปลงเหล่านี้มีผลต่อคุณภาพของผลิตภัณฑ์ได้ เช่น เมื่ออัตราการป้อนวัตถุคิบสูงขึ้น หรือมีระดับการเติมของวัตถุคิบภายในarel (degree of fill) มาก ส่งผลให้ออกซ์ฟอร์เดตที่ได้มีค่าความสามารถในการละลายน้ำและการขยายตัวในแนวรัศมีมีค่าสูงขึ้น ในขณะที่การป้อนวัตถุคิบในอัตราลดลง โดยที่ความเร็วรอบของสกรูมีค่าคงที่ ทำให้ระดับการเติมภายในarelลดลง (Pan et al., 1991) ซึ่งมีความสอดคล้องกับผลงานวิจัยของ Kirby et al. (1988) ที่พบว่า อัตรา การป้อนวัตถุคิบเป็นปัจจัยสำคัญที่ส่งผลต่อการเติมเต็มของวัตถุคิบภายในarel ลักษณะของการควบคุมกระบวนการแปรรูป และคุณภาพของเอกสารฟอร์เดต โดยที่ Yeh and Jaw (1999) พบว่าการเพิ่มอัตราการป้อนจะมีผลให้ค่าแรงทอร์คเพิ่มขึ้น และเมื่ออัตราการป้อนลดลงโดยให้ความเร็วรอบของสกรูเพิ่มขึ้นส่งผลให้ค่าพลังงานกลจำเพาะและระดับการเกิดเจลلاتีไนซ์เชิงของผลิตภัณฑ์สูงขึ้น

2. ความเร็วรอบสกรู (screw speed) ระดับความเร็วรอบสกรูส่งผลต่อลักษณะของผลิตภัณฑ์ ต่างกัน โดยผลจากการวิจัยของ Chinnaswamy and Hanna (1988) พบว่าการเพิ่มความเร็วรอบจาก 80 เป็น 150 รอบต่อนาที ส่งผลให้อัตราการขยายตัวเพิ่มขึ้น แต่เมื่อเพิ่มความเร็วรอบเพิ่มขึ้นไป อีกจะทำให้การขยายตัวลดลง เนื่องจากที่ความเร็วรอบสกรูสูงๆ ทำให้ได้มีเวลาอยู่ภายใต้แรงโน้มถ่วง การเกิดเจลلاتีไนซ์เชิงของสตราร์ชคั่ลลงเนื่องมาจากการสูญที่ไม่สมบูรณ์ Lue et al. (1991) พบว่าการเพิ่มความเร็วรอบสกรูในช่วง 200-300 รอบต่อนาที ทำให้การขยายตัวทางยาวเพิ่มขึ้น โดยที่การขยายตัวในแนวรัศมีจะลดลง และขนาดโพรงอากาศจะเลิกลงด้วย อีกทั้งยังพบลักษณะผิวroundๆ เอกซ์ฟอร์เดตมีลักษณะเป็นปากคลาม (sharkskin) แต่ไม่พบลักษณะดังกล่าวในที่การใช้ความเร็วรอบ 200 รอบต่อนาที อย่างไรก็ตาม Taranto et al. (1975) พบว่าการขยายตัวในแนวรัศมีของแป้งข้าวโพดเพิ่มขึ้นเมื่อเพิ่มความเร็วรอบสกรูสำหรับเอกสารฟอร์เดตแบบสกรูเดี่ยว Grenus et al. (1993); Guha et al. (1997) และ Garber et al. (1997) พบผลที่สอดคล้องกันโดยเมื่อ

## ความเร็วอบสกรูสูงขึ้นทำให้เกิดการลดลงของแรงทอร์คและความดันที่หัวแบบ ของการเพิ่มขึ้นของค่าพลังงานกลจำเพาะ

3. อุณหภูมิของบาร์เรล (barrel temperature) อุณหภูมิที่ตั้งไว้ตลอดความยาวของเครื่องเอกสาร์ทຽดเครื่อเมื่อผลต่อคุณภาพของผลิตภัณฑ์ที่ได้ ถ้าอุณหภูมิทางออกของเครื่องมากกว่า 100 องศาเซลเซียส จะได้ผลิตภัณฑ์ที่พองตัวหันที่ เนื่องจากเกิดการระเหยของน้ำและการเปลี่ยนแปลงความดันอย่างรวดเร็ว ส่วนผลิตภัณฑ์ที่มีลักษณะไม่พองหันทีหลังออกจากเครื่อง เกิดเนื่องจากการลดอุณหภูมิซึ่งใกล้ทางออกลงต่ำกว่า 100 องศาเซลเซียส (กมลวรรณ แจ้งชัด, 2541) โดยอุณหภูมิในกระบวนการเอกสาร์ทຽดชั้นมีความสัมพันธ์กับอุณหภูมิสำหรับการเกิดเป็นโครงสร้างใหม่ของผลิตภัณฑ์ อัตราการขยายตัว และปริมาณในการละลายน้ำของโรบีไไซเดรต (Mercier and Feillet, 1975) โดยเมื่ออุณหภูมิของบาร์เรลสูงขึ้นในช่วง 50-247 องศาเซลเซียส ในการเอกสาร์ทຽดข้าวโพดบดหยาน ส่งผลให้การโรบีไไซเดรตที่ละลายได้ในอุ่นลงลดลง พนวัน้ำตาลจำพวกฟริกโตก กลูโตก ชูโครตก และราฟฟิ-โนสตดลง แต่มีปริมาณการโรบีไไซเดรตจำพวกที่ละลายในน้ำมากขึ้น ซึ่งเป็นสารจำพวกโพลีแซคคาราไรด์ที่มีน้ำหนักโมเลกุลสูง แสดงให้เห็นถึงการบวนของเม็ดสตาร์ช Guha et al. (1997) พนวัน้ำการเพิ่มขึ้นของอุณหภูมิบาร์เรลจาก 80-100 องศาเซลเซียส ส่งผลให้ค่าแรงทอร์คลดลง Chinnaswamy and Hanna (1988) รายงานว่าอัตราการขยายตัวของเอกสาร์ทຽดเพิ่มขึ้นจาก 11.5 เป็น 13.2 เมื่ออุณหภูมิบาร์เรลเพิ่มจาก 110 เป็น 140 องศาเซลเซียส จากนั้นจะค่อยๆ ลดลงเมื่อขังคงเพิ่มอุณหภูมิ อีกทั้ง Pan et al. (1991) รายงานถึงการขยายตัวของเอกสาร์ทຽดแต่งข้าวสูงสุดที่อุณหภูมิบาร์เรล 158 องศาเซลเซียส และการขยายตัวจะลดลงเมื่ออุณหภูมิสูงขึ้น แสดงให้เห็นว่าอุณหภูมิจะ影响เอกสาร์ทຽดมีผลต่อการขยายตัวของสตาร์ช และสตาร์ชต่างชนิดกันจะมีอุณหภูมิที่เหมาะสมสำหรับการขยายตัวที่ดีที่สุดแตกต่างกันด้วย

4. รูปแบบของสกรู (screw configuration) ชิ้นส่วนของสกรูที่ใช้และตำแหน่งชิ้นส่วนของสกรูมีผลต่อรูปแบบของสกรูโดยเฉพาะกับเครื่องเอกสาร์ทຽดเอกสาร์สกรูคู่ ซึ่งมีผลต่อการทดสอบของวัตถุดิน เวลาที่วัตถุดินอยู่ในเครื่อง แรงเฉือน พลังงานกลที่ให้กับวัตถุดิน และอุณหภูมิของໂอดกายในเครื่อง การจัดแบบสกรูที่เป็นการเพิ่มแรงเฉือนใกล้ทางออกของเครื่อง จะเพิ่มการสูญเสียโครงสร้างของโมเลกุลเป็น ทำให้ได้ผลิตภัณฑ์ที่พอง มีลักษณะรูพรุนเล็ก และความคงทนต่อแรงกดลดลง (กมลวรรณ แจ้งชัด, 2541)

## รำขัญพิชและการเปลี่ยนแปลงสมบัติ

## องค์ประกอบหลักของรากชั้นพืช

รากพืชเป็นแหล่งที่สำคัญของอาหาร โดยเฉพาะในส่วนเยื่อหุ้มเมล็ดของรากและรากพืชทั้ง เมล็ด องค์ประกอบหลักของอาหารคือ เซลลูโลส เอมิเซลลูโลส และลิกนิน

### 1. เซลลูโลส

เซลลูโลสเป็นสารคาร์โบไฮเดรตประเภทที่ประกอบไปด้วยหน่วยย่อยที่เหมือนกัน ทั้งหมด (Homo-polysaccharide) คือ  $\beta$ -D-glucopyranose unit ถูกเชื่อมต่อกันด้วยพันธะ  $\beta$ -(1→4)-glycosidic bond โดยเดลกุลของเซลลูโลสมีลักษณะเป็นเส้นตรง และมีแนวโน้มที่แต่ละ สายของโมเลกุลจะรวมตัวเข้าหากันด้วยพันธะไฮโดรเจน ทำให้ก่อตัวเป็นชั้นของสายโมเลกุลต่อกัน มีลักษณะคล้ายร่างแทฟที่มีความเป็นระเบียบสูง (crystalline region) ดังนั้นเมื่อโครงสร้างของเส้น ไขน้ำถูกยึดกันแน่นด้วยพันธะไฮโดรเจน และเหลือตำแหน่งที่ว่างของไฮดรอกซิล (OH group) เพื่อ ใช้ในการทำปฏิกิริยากับน้ำตาลน้อยลง จึงส่งผลให้เกิดเป็นโมเลกุลที่มีแรงยึดเหนี่ยวสูง และไม่ สามารถละลายได้ในน้ำ (Sjostrom, 1993)

### 2. เอมิเซลลูโลส

เอมิเซลลูโลสเป็นสารคาร์โบไฮเดรตประเภทที่ประกอบไปด้วยหน่วยย่อยต่างๆ กัน (Hetero-polysaccharide) หน่วยย่อยที่เป็นองค์ประกอบหลักของโมเลกุลคือ น้ำตาลที่มีคาร์บอน 6 ตัว (hexose) น้ำตาลที่มีคาร์บอน 5 ตัว (pentose) และกรดูโรนิก (uronic acid) จำนวน เด็กน้อย โครงสร้างหลักของโมเลกุลประกอบไปด้วยสายยาวที่เชื่อมต่อกันของไซโลส (xylan polymer) กรูลูโคสและแมนโนส (glucomannan polymer) และกาแลกโทส (galactose polymer) สายยาวของโครงสร้างหลักนี้จะมีกิ่งของกลูโคส อะราบิโนส และกรดกรูลูโคโรนิก (glucoronic acid) มาเกาะอยู่ด้วย ส่วนมากโมเลกุลของเอมิเซลลูโลสจะไม่ละลายน้ำ แต่ บางส่วนกีสามารถละลายน้ำได้ เอมิเซลลูโลสหลักที่พบในพันธุ์เซลล์ของรากพืชคือ อะราบิโนไซโลสซึ่งประกอบด้วยสายหลักของไซโลสต่อกันด้วยพันธะ  $\beta$ -(1→4)-glycosidic bond และมี หน่วยย่อยของอะราบิโนสนาการอยู่เป็นกิ่งที่คาร์บอนตำแหน่งที่ 2 หรือ 3 ของบางโมเลกุลของ ไซโลส ความสามารถในการละลายน้ำของเอมิเซลลูโลสนี้จะขึ้นอยู่กับจำนวนหน่วยของอะราบิโนสที่มาเกาะอยู่กับสายหลักของโมเลกุล ถ้ามีจำนวนอะราบิโนสสูงจะทำให้การละลายน้ำสูงขึ้น (Johnson and Southgate, 1994)

### 3. ลิกนิน

ลิกนินประกอบไปด้วยหน่วยของฟีนิล โพรเพน (phenylpropane unit) ไม่ใช่ สารประเภทคาร์บอไฮเดรต แต่เป็นโครงสร้างที่มีความซับซ้อนและมีน้ำหนักโมเลกุลสูง แต่ละ หน่วยถูกเชื่อมต่อกันด้วยพันธะคาร์บอน และอีเทอร์ ทำให้เกิดเป็นโมเลกุลที่ยึดกันแน่น牙กต่อการ

ทำลายให้มีลักษณะเด็กลง ไม่สามารถละลายน้ำได้ และมีความสามารถในการละลายในสารเคมีต่างๆ ค่อนข้างต่ำ (Hon and Shiraishi, 1990) ลิกนินจะเข้ามาร่วมต่ออยู่กับสายคาร์บอโนไซด์ในไชเดรต เช่น สายของเมนโนส (mannan polymer) การรวมกลุ่มกันระหว่างคาร์บอโนไซด์ในไชเดรตและลิกนินในผังเชลล์ของข้าวพืช

## การเปลี่ยนแปลงสมบัติของอาหาร

### 1. การใช้กระบวนการทางกล (mechanical treatment)

Artz et al. (1990) ใช้รำข้าวโพดเป็นวัสดุไขอาหารนำไปผ่านกระบวนการเอกซ์ทรูชันที่อุณหภูมิสูงสุดคือ 150 องศาเซลเซียส ส่งผลให้ไขอาหารถูกทำลายและเกิดโครงสร้างที่เป็นรูพรุนมากกว่าไขอาหารที่ผ่านกระบวนการเอกซ์ทรูชันที่สภาวะต่างๆ จะทำให้ความเป็นระเบียบ (degree of crystallinity) ของเซลลูโลสเปลี่ยนแปลงไปเพียงเล็กน้อยเท่านั้น และไม่พบการเพิ่มขึ้นของปริมาณไขอาหารที่ละลายน้ำได้ (soluble fiber) อย่างมีนัยสำคัญ

### 2. การใช้ด่าง (alkaline treatment)

Ning et al. (1991) ศึกษาผลของการใช้ด่างต่อการเปลี่ยนแปลงสมบัติของไขอาหารโดยแหล่งของไขอาหารที่ใช้ในการทดลองคือ รำข้าวโพด พบว่าโครงสร้างของไขอาหารเดิมมีลักษณะที่เรียบ และแน่น ในขณะที่ไขอาหารหลังผ่านการใช้ด่างมีลักษณะโครงสร้างที่มีรูพรุนมากขึ้น มีลักษณะของการถูกทำลาย และโครงสร้างเปิดตัวออกมากขึ้น ในด้านสมบัติของการอุ่มน้ำพบไขอาหารที่ใช้ด่างมีความสามารถในการอุ่มน้ำสูงกว่าไขอาหารดิบ เนื่องจากการเปลี่ยนแปลงที่เกิดขึ้นภายในโครงสร้างไขอาหารคือ แรงยึดเหนี่ยวระหว่างโมเลกุลอ่อนลง และโครงสร้างเป็นรูพรุนมากขึ้น ทำให้น้ำสามารถส่งผ่านเข้าไปในโครงสร้างของไขอาหารและถูกดูดซับไว้ได้ดีขึ้น ดังนั้นค่าความสามารถในการอุ่มน้ำจึงสูงขึ้น

ความเป็นระเบียบของโครงสร้างไขอาหารดิบสูง ซึ่งโครงสร้างตามธรรมชาติจะประกอบไปด้วยส่วนที่มีความเป็นระเบียบสูงของเซลลูโลส ภายหลังผ่านการใช้ด่างพบว่าความเป็นระเบียบภายในโครงสร้างลดลงเมื่อเทียบกับไขอาหารดิบ เป็นผลมาจากการที่ด่างสามารถเข้าไปทำลายส่วนที่มีความเป็นระเบียบสูงของเซลลูโลส ในด้านองค์ประกอบทางเคมีของไขอาหาร พบว่าปริมาณของไขอาหารที่ละลายน้ำได้มีสูงขึ้นเพียงเล็กน้อย ส่วนปริมาณของไขอาหารที่ละลายน้ำไม่ได้มีค่าต่ำลงหลังผ่านการใช้ด่าง Larrea et al. (1997) ทำการศึกษาผลของการใช้ด่างในการเปลี่ยนแปลงสมบัติของแกลูน (rice hull) แกลูนเป็นวัสดุที่มีปริมาณไขอาหารสูง ส่วนปริมาณแป้ง โปรตีน และไขมันมีอยู่ต่ำมากเมื่อเทียบกับวัสดุไขอาหารประเภทรำ แล้วนำมาผ่าน

กระบวนการใช้ด่างไฮโดรเจนเปอร์ออกไซด์ pH ประมาณ 11.5 ภายหลังผ่านการใช้ด่างพบว่าไขอาหารที่ได้มีค่าการดูดน้ำ (water absorption) และปริมาตรหลังดูดน้ำ (swollen volume) เพิ่มขึ้น เนื่องจากลิกนินถูกกำจัดออกไป แต่เดินโครงสร้างของแกลบมีปริมาณลิกนินอยู่สูง มีหน้าที่ทำให้โครงสร้างของแกลบมีความแข็งแรงมาก ในระหว่างกระบวนการใช้ด่างพบว่าด่างมีความสามารถไปทำลายพันธะที่ยึดเกาะกันของลิกนินกับส่วนของสารโภชนาคเตตที่มักยึดกันอยู่ด้วยพันธะอีเทอร์ และເຊຕ່ອຮ່ອງ (Sjostrom, 1993) ต่อมานิยั่นตอนของการถังส่วนของลิกนินจะถูกกำจัดออกไป ทำให้โครงสร้างมีลักษณะเป็นช่องว่างมากขึ้น การที่พันธะเดินถูกทำลายให้ส่วนปลายของพันธะเป็นอิสระมากขึ้น ทำให้น้ำสามารถผ่านเข้าไปในโครงสร้างได้สะดวก และไปจับอยู่กับตำแหน่งพันธะที่ว่างอยู่ ดังนั้นไขอาหารที่ใช้ด่างจึงมีความสามารถในการดูดน้ำ บวม และให้ปริมาตรของไขอาหารสูงขึ้น

### 3. การใช้กรด (acid treatment)

Ning et al. (1991) ใช้กรดเพื่อเปลี่ยนแปลงสมบัติของรำข้าวโพด พบว่าโครงสร้างของไขอาหารมีระดับความเป็นกรดูrunสูงขึ้นมากเมื่อเทียบกับรำข้าวโพดคิบ และพบค่าความสามารถในการอุ้มน้ำเพิ่มขึ้น ทั้งนี้เนื่องจากองค์ประกอบหลักของไขอาหารถูกละลายออกไปด้วยกระบวนการไฮโดรลิซิส (hydrolysis) ไปเป็นน้ำตาลเพนໂທส และເຊກໂຫສ ເຊັ່ນ ກ්‍රුໂຄສ ແຮມໂນສ ອະຮາບໂນສ ໄຂໂລສ ແມ່ນໂນສ ແລະກາແລຄໂທສ ทำให้เกิดโครงสร้างที่หลวມไม่เป็นระเบียบ และเกิดความไม่เสถียรของพันธะໄගලໂකซິດิกระหว่างน้ำตาลเพนໂທສและເຊກໂຫສ ພຽວໜ້າຂອງไขอาหารจึงเกิดเป็นกรดูrunสูงขึ้น และนำผ่านเข้าไปภายในไขอาหารได้ง่ายขึ้น โดยที่อัตราของการไฮโดรໄລซิส จะเพิ่มขึ้นเมื่ออุณหภูมิในกระบวนการใช้กรด และความเข้มข้นของกรดเพิ่มขึ้น

## บทที่ 2

### วิธีดำเนินการวิจัย

#### 2.1. การเตรียมวัตถุดิบ

ปลายข้าวพันธุ์ขาวคอกมະลิ 105 รำข้าวขาวคอกมະลิ 105 (รำข้าวดิบ) และรำสกัดไข่มันข้าวขาวคอกมະลิ 105 จากบริษัทปทุม ไรซ์มิลล์แอนด์เกรนเนอรี่ จำกัด (มหาชน) บดปลายข้าวด้วยเครื่องบดเมล็ดพันธุ์แบบฟ้อน (hammer miller) (Retsch, SK100, standard rostfrei, Germany) ผ่านตะแกรงขนาด 0.5 มิลลิเมตร รำข้าวร่อนผ่านตะแกรงขนาด 20 เมช (0.85 มิลลิเมตร) เก็บแป้งข้าว และรำข้าวในห้องเย็นอุณหภูมิ 4 องศาเซลเซียส ในระหว่างรอการผลิต

#### 2.2 การวิเคราะห์องค์ประกอบทางเคมีของแป้งข้าว และรำข้าว

- 2.2.1 ปริมาณโปรตีน ด้วยวิธี AOAC (1997)
- 2.2.2 ปริมาณไข่มัน ด้วยวิธี AOAC (1997)
- 2.2.3 ปริมาณแล็ก ด้วยวิธี AOAC (1997)
- 2.2.4 ปริมาณสตราช ด้วยวิธี anthrone method (Roe, 1955)
- 2.2.5 ปริมาณอะมิโนส สำหรับแป้งข้าว ตามวิธีของ Juliano (1971)

#### 2.3 การศึกษาเบื้องต้น

หาช่วงระดับของสภาวะการแปรรูป คือ อัตราการป้อนวัตถุดิบ อุณหภูมิบานแรล ความเร็วรอบสกรู และความชื้นของวัตถุดิบที่ทำให้เครื่องเออกซ์ทรูเดอร์สามารถดำเนินไปได้ด้วยสภาวะคงที่ และตรวจสอบลักษณะทางกายภาพของเออกซ์ทรูเดตด้านอัตราการขยายตัว

#### 2.4 การผลิตด้วยกระบวนการเออกซ์ทรูชัน

นำแป้งข้าว และรำข้าวดิบผสมในแป้งข้าว 10 และ 20 เปอร์เซ็นต์โดยน้ำหนัก มาป้อนเข้าเครื่องเออกซ์ทรูเดอร์สกรูคู่ ชนิดที่สกรูซ้อนกันแบบหมุนตามกัน (APV Baker MPF 19:25, corotating and intermeshing twin screw extruder, APV Baker, Inc., Grand Rapid, MI, USA) อัตราส่วนความยาวเทียบกับสัมผัสนูนย์กลางของสกรู (L/D ratio) เท่ากับ 25 : 1 มิลลิเมตร ประกอบด้วยบานแรล 4 ท่อนเรียงต่อกันและปิดด้วยหัวแบบ (die plate) ที่มีรูขนาดเส้นผ่าศูนย์กลาง 3.0 มิลลิเมตร โดยรูปแบบการจัดเรียงสกรู (screw configuration) เป็นแบบสำหรับผลิตภัณฑ์ชนิดพองตัวทันทีดังตารางที่ 1 นำแป้งข้าวป้อนเข้าเครื่องโดยใช้อัตราการป้อนคงที่ 9.0 กิโลกรัมต่อชั่วโมง ด้วยถังป้อนที่มีสกรูอยู่ที่ก้นถัง ทำหน้าที่ป้อนวัตถุดิบแบบปริมาตร (K-Tron Corp.

Pitman, NJ) มีปั๊มน้ำชนิดที่มีการบีบตัวส่งน้ำเป็นระยะๆ (peristaltic pump) ปั๊มน้ำเข้าไปผสมกับวัตถุคิบภายในบาร์ค หน้าหัวแบบมีใบมีดสำหรับตัดเอกสารที่ควบคุมความเร็วรอบ 400 รอบต่อนาที อุณหภูมินาเบลท่อนต่างๆ ตั้งไว้ดังตารางที่ 2 การเก็บข้อมูลจากเครื่องเอกสารที่ห้องทดลอง อุณหภูมิของเอกสาร (product temperature) ความดันที่หัวแบบ (die pressure) และแรงทอร์ค (% torque) ถูกเก็บทุกๆ 5 นาทีหลังจากที่มีการเปลี่ยนสภาพและความเมื่อค่าแรงทอร์คคงที่ เก็บตัวอย่างเอกสารที่ห้องทดลอง นำเข้าอบในเตาอบลมร้อน (hot air oven) ที่อุณหภูมิ 80 องศาเซลเซียส เป็นเวลา 15 นาที จากนั้นนำไปตรวจสอบลักษณะทางกายภาพ

**ตารางที่ 1 รูปแบบการจัดเรียงสกรู**

| screw element type | amount | length (mm) |
|--------------------|--------|-------------|
| feed screw         | 11D    | 209.00      |
| 60°forward paddles | 4      | 19.00       |
| feed screw         | 3D     | 57.00       |
| 60°forward paddles | 4      | 19.00       |
| single lead screw  | 2D     | 38.00       |
| 30°forward paddles | 5      | 23.75       |
| 30°forward paddles | 4      | 19.00       |
| single lead screw  | 1D     | 19.00       |
| 60°forward paddles | 6      | 28.50       |
| 60°forward paddles | 6      | 23.75       |
| single lead screw  | 5      | 19.00       |
| total lengths (mm) | 1D     | 475.00      |

**ตารางที่ 2 การตั้งอุณหภูมิของนาเบล**

| temperature in the last section (°C) | temperature profile (°C) |
|--------------------------------------|--------------------------|
| 160                                  | 90 / 110 / 130 / 160     |
| 170                                  | 90 / 110 / 140 / 170     |
| 180                                  | 90 / 110 / 150 / 180     |

การคำนวณพลังงานกลจำเพาะ (Specific Mechanical Energy, SME)

$$\text{SME (kJ/kg)} = \frac{\text{RPM (run)}}{500 \text{ rpm}} \times \frac{\% \text{ torque (run)}}{100} \times \frac{2 \text{ kW}}{\text{feed rate (kg/s)}} \quad (1)$$

## 2.5 ศึกษาผลของสภาวะการแปรรูปและการเติมร้าข้าวดินต่อลักษณะทางกายภาพของอกซ์ทรูเดตข้าว

ใช้แผนกรากคลองแบบ Box-Behnken Design ในการศึกษาการแปรรูปด้วยกระบวนการเอกซ์ทรูชัน โดยศึกษาตัวแปรของสภาวะการแปรรูป 3 ตัวแปร แต่ละตัวแปรแบ่งออกเป็น 3 ระดับดังนี้คือ ความชื้นวัตถุดิบที่ระดับ 20, 22 และ 24 เปอร์เซ็นต์ ความเร็วรอบสกรู ที่ระดับ 250, 300 และ 350 รอบต่อนาที และอุณหภูมิบาร์ลท่อนที่ 4 ที่ระดับ 160, 170 และ 180 องศาเซลเซียส สภาวะการแปรรูปทั้งหมดประกอบด้วย 15 การทดลองดังตารางที่ 3

ตารางที่ 3 แผนกรากคลอง

| sample | X1 feed moisture content |    | X2 screw speed |     | X3 barrel temperature |     |
|--------|--------------------------|----|----------------|-----|-----------------------|-----|
|        | code                     | %  | code           | rpm | code                  | °C  |
| 1      | -1                       | 20 | -1             | 250 | 0                     | 170 |
| 2      | -1                       | 20 | 1              | 350 | 0                     | 170 |
| 3      | 1                        | 24 | -1             | 250 | 0                     | 170 |
| 4      | 1                        | 24 | 1              | 350 | 0                     | 170 |
| 5      | -1                       | 20 | 0              | 300 | -1                    | 160 |
| 6      | -1                       | 20 | 0              | 300 | 1                     | 180 |
| 7      | 1                        | 24 | 0              | 300 | -1                    | 160 |
| 8      | 1                        | 24 | 0              | 300 | 1                     | 180 |
| 9      | 0                        | 22 | -1             | 250 | -1                    | 160 |
| 10     | 0                        | 22 | -1             | 250 | 1                     | 180 |
| 11     | 0                        | 22 | 1              | 350 | -1                    | 160 |
| 12     | 0                        | 22 | 1              | 350 | 1                     | 180 |
| 13     | 0                        | 22 | 0              | 300 | 0                     | 170 |
| 14     | 0                        | 22 | 0              | 300 | 0                     | 170 |
| 15     | 0                        | 22 | 0              | 300 | 0                     | 170 |

## 2.6 การตัดแปรร้าข้าวด้วยค่างและการเติมไนโตรเจต

ผสมร้าข้าวและน้ำในอัตราส่วน 1 ต่อ 5 แล้วปรับ pH เป็น 9-11 ด้วยโซเดียมไฮดรอกไซด์เข้มข้น 6.0 นอร์มัล นำไปให้ความร้อนที่ 90 องศาเซลเซียส เป็นระยะเวลา 1, 4, 8 และ 16 ชั่วโมง หรือทิ้งไว้ที่อุณหภูมิห้องพักอุณหภูมิเป็นระยะๆ เป็นระยะเวลา 16 ชั่วโมง เมื่อครบระยะเวลานำส่วนผสมที่ได้ไปทำให้เป็นกากางด้วยกรดไฮโดรคลอริกจนได้ pH ประมาณ 6-7 แล้ว

ทำการกรองสลับกับการถ่ายด้วยน้ำสะอาด 3 ครั้ง ทำให้แห้งด้วยลมร้อนที่ 75 องศาเซลเซียส เป็นเวลา 2 ชั่วโมง นำรำข้าวที่แห้งแล้วไปบดด้วยเครื่องบดเมล็ดพันธุ์ แล้วร่อนผ่านตะแกรงขนาด 20 เมช

นำส่วนผสมวัตถุดิบระหว่างแบ่งข้าวกับรำข้าวคิด และแบ่งข้าวกับรำข้าวที่ใช้ด่างที่ระดับ 20 เกรอร์เช่นต์ (w/w) มาป้อนเข้าเครื่องแยกซึ่งทรูเดอร์สกรูคู่ตามการทดลองข้อ 2.4 จากนั้นนำออกซึ่งทรูเดตที่ได้ไปตรวจสอบลักษณะทางกายภาพ

## 2.7 วิเคราะห์องค์ประกอบทางเคมีและคุณสมบัติของวัตถุดินที่ใช้ด่าง

2.7.1 ปริมาณความชื้น ด้วยวิธี AOAC (1997)

2.7.2 ปริมาณโปรตีน ด้วยวิธี AOAC (1997)

2.7.3 ปริมาณไขมัน ด้วยวิธี AOAC (1997)

2.7.4 ปริมาณไขอาหาร ด้วยวิธี AOAC (1997)

- ไขอาหารที่ละลายน้ำได้ (soluble dietary fiber)
- ไขอาหารที่ละลายน้ำไม่ได้ (insoluble dietary fiber)

2.7.5 ปริมาณเต้า ด้วยวิธี AOAC (1997)

2.7.6 ปริมาณสตาาร์ช ด้วยวิธี anthrone method (Roe, 1955)

2.7.7 การวิเคราะห์ค่าความสามารถในการอุ้มน้ำของรำข้าวคิดและรำข้าวที่ใช้ด่าง ตามวิธีของ Ning et al. (1991)

นำตัวอย่างรำข้าว 2 กรัม ผสมน้ำกลั่น 25 มิลลิลิตร ในหลอดปั่นเหวี่ยง เขย่าส่วนผสมเป็นเวลา 30 นาที ที่อุณหภูมิห้อง นำไปปั่นเหวี่ยงที่ 10,000 X g เป็นเวลา 30 นาที ที่อุณหภูมิ 20 องศาเซลเซียส วัดปริมาตรของส่วนใสที่แยกออกจากส่วนของแข็ง (supernatant) คำนวณค่าความสามารถในการอุ้มน้ำเป็นอัตราส่วนของปริมาตรของน้ำ (มิลลิลิตร) ที่ถูกกักไว้ในส่วนของของแข็งที่ไม่ละลายต่อน้ำหนักของตัวอย่าง (กรัม)

2.7.8 ศึกษาโครงสร้างภายในของรำข้าวและรำข้าวที่ใช้ด่างด้วยกล้องจุลทรรศน์อิเลคตรอน

บดตัวอย่างรำข้าวและรำข้าวที่ใช้ด่างผ่านตะแกรงขนาด 1 มิลลิเมตร เก็บในตู้อบสูญญากาศ เตรียมตัวอย่างโดยนำตัวอย่างรำข้าวมากระเจิดบนฐานรองตัวอย่าง (stub) แล้วนำตัวอย่างไปปักด้วยเครื่องฉาย放电 (ion sputter) 2 ครั้ง ครั้งละ 2 นาที เพื่อลดการเสียหายเนื่องจากความร้อน นำไปส่องกล้องด้วยเพื่อตรวจสอบลักษณะโครงสร้างภายในด้วยกล้องจุลทรรศน์อิเลคตรอน (JSM-6400 Scanning Electron Microscope, JEOL, Tokyo, Japan) ที่มีการเร่งอิเลคตรอนด้วยความต่างศักย์ (accelerating voltage) 10 KV

## 2.8 การพัฒนาผลิตภัณฑ์จากการใช้ร้าสกัดไนมันและการเติมแคลเซียมคาร์บอนেต

เตรียมวัตถุคุณโดยการผสมร้าขาวดินลงในแป้งข้าว 10 % และร้าสกัดไนมันผสมลงในแป้งข้าว 10% จากนั้นผสมแคลเซียมคาร์บอนे�ตลงในวัตถุคุณผสมทั้ง 2 ของแป้งข้าวและร้าขาวในปริมาณ 0, 1, 2 และ 3%

นำวัตถุคุณมาป้อนเข้าเครื่องเอกสาร์ทຽเดอร์สกรูซู่ตามการทดลองข้อ 2.4 โดยตั้งอุณหภูมิบาร์ลส์ท่อนต่างๆ ไว้ตั้งนี้ 90/110/140/170 จากนั้นนำเอกสาร์ทຽเดตที่ได้ไปตรวจสอบลักษณะทางกายภาพและหาอายุการเก็บ

## 2.9 การวิเคราะห์ลักษณะทางกายภาพของเอกสาร์ทຽเดต

### 2.9.1 การวัดอัตราการขยายตัว (expansion ratio)

คำนวณจากอัตราส่วนของเส้นผ่าศูนย์กลางของเอกสาร์ทຽเดตที่วัดด้วย vernier caliper เพียงกับขนาดเส้นผ่าศูนย์กลางของรูปปีกหน้าเปลี่ยนที่ใช้ 3.0 มิลลิเมตร คำนวณค่าเฉลี่ยของการวัด 10 ตัวอย่าง (ชิ้น)

### 2.9.2 ความหนาแน่น (piece density)

ตามวิธีการแทนที่ด้วยทราย (sand displacement method) โดยการใช้ภาชนะที่ทราบปริมาตรมาชั่งน้ำหนัก เติมทรารถลงในภาชนะประมาณ 70 กรัม สุ่มชิ้นตัวอย่างที่ทราบน้ำหนักแน่นอนประมาณ 5 กรัม ใส่ลงในภาชนะ เติมทรารถให้ล้นภาชนะ แล้วใช้มีนบรรหัดเหล็กกวาดทรารถออกตามแนวขอบปากภาชนะโดยไม่ต้องมีการเคาะหรือกระแทกภาชนะ บันทึกน้ำหนักรวมของภาชนะ ทำซ้ำ 5 ครั้ง การคำนวณ

$$PD \text{ (g/cm}^3\text{)} = \frac{W_p \text{ (g)}}{Vv \text{ (cm}^3\text{)} - [W_s \text{ (g)} / D_s \text{ (g/cm}^3\text{)}]}$$

เมื่อ

PD = ความหนาแน่น (กรัมต่อลูกบาศก์เซ็นติเมตร)

Wp = น้ำหนักของเอกสาร์ทຽเดต (กรัม)

Vv = ปริมาตรภาชนะ (ลูกบาศก์เซ็นติเมตร)

Ws = น้ำหนักทรารถ (กรัม)

Ds = ความหนาแน่นของทรารถ (1.54 กรัมต่อลูกบาศก์เซ็นติเมตร)

### 2.9.3 แรงกดแทก (compression force)

1) การเตรียมตัวอย่าง ตัดชิ้นของเอกสาร์ทຽเดตให้มีความกว้าง  $6 \pm 0.2$  เซนติเมตร บนในตู้อบลมร้อนที่ 80 องศาเซลเซียส นาน 15 นาที บรรจุลงถุงพลาสติกปิดสนิท แล้วทิ้งไว้ ข้างคืน (ประมาณ 18 ชั่วโมง) ในกล่องโฟมปิดฝ่า และควบคุมความชื้นของเอกสาร์ทຽเดตที่

ประมาณ 6-7 เปอร์เซ็นต์ ก่อนทำการวัดค่าแรงกดแตก โดยใช้เครื่องวิเคราะห์เนื้อสัมผัส (TA-XT2i Texture Analyzer)

2) การวัด ใช้หัววัดแบบ P35 (35 mm. dia. cylinder aluminum) โดยมี สภาวะในการวัดดังนี้ คือ วัดแรงกดแตก (measure force in compression), ความเร็วของหัววัดที่ เคลื่อนที่ลงก่อนสัมผัสเอกสารซึ่งรูดเดตมีอัตราเร็ว 5.0 มิลลิเมตรต่อวินาที (pre – test speed), ความเร็วของหัววัดขณะเคลื่อนที่ลงในเนื้อของเอกสารซึ่งรูดเดต 5.0 มิลลิเมตรต่อวินาที (test – speed), ความเร็วของหัววัดขณะเคลื่อนที่ขึ้นออกจากเอกสารซึ่งรูดเดต 10.0 มิลลิเมตรต่อวินาที (post – test speed), ระยะทางที่หัววัดเคลื่อนที่ลงในเนื้อของเอกสารซึ่งรูดเดต คือ 50% strain, เครื่องจะ ทำการบันทึกหลังจากวัดค่าแรงได้ 5 กรัม (trigger force), การวัดในแต่ละตัวอย่างทำ 10 ช้ำ แล้วคำนวณหาค่าแรงเฉลี่ยของแรงสูงสุดที่กดลงบนเอกสารซึ่งรูดเดตแล้วทำการวัด (average maximum peak force)

#### 2.9.4 การวิเคราะห์ความหนืดของเอกสารซึ่งรูดเดตเป็นข้าว 100 เปอร์เซ็นต์ และแป้งข้าวคิบ

ใช้เครื่องวิเคราะห์ความหนืดของข้าว 100 เปอร์เซ็นต์ และแป้งข้าวคิบ Rapid Visco Analyzer (RVA, Newport Scientific, Australia) โดยมีลักษณะของอุปกรณ์และเวลาเป็นดังนี้คือ เริ่มต้นการ ทำงานและควบคุมอุณหภูมิที่ 25 องศาเซลเซียส ตั้งแต่เวลา 0-6 นาที (idle and hold) ด้วย ความเร็วในการกวน 960 รอบต่อนาที สำหรับ 10 วินาทีเริ่มต้น และลดลงเป็น 160 รอบต่อนาที ตลอดการวิเคราะห์, เพิ่มอุณหภูมิเป็น 95 องศาเซลเซียส ในช่วงเวลา 6-11 นาที (ramp up), ควบคุมไว้ที่อุณหภูมิ 95 องศาเซลเซียส ในช่วงเวลา 11-17.5 นาที (hold), ทำให้เย็นลงถึงอุณหภูมิ 25 องศาเซลเซียส ในช่วงเวลา 17.5-23.5 นาที (cooling), ควบคุมไว้ที่อุณหภูมิ 25 องศา เซลเซียส ในช่วงเวลา 23.5-32.5 นาที (hold) และทำการวัดค่าความหนืดขณะเย็น (cold viscosity) และเวลาที่ปรากฏค่าความหนืด (peak time) ซึ่งเป็นค่าความหนืดสูงสุดในช่วงเวลา 0-6 นาที, ค่าความหนืดสูงสุด (peak viscosity) เป็นค่าความหนืดสูงสุดในระหว่างช่วงการให้ความ ร้อนถึงอุณหภูมิ 95 องศาเซลเซียส, ค่าความหนืดของเจลร้อน (hot paste viscosity) ซึ่งเป็นค่า ความหนืดที่เวลาสิ้นสุดของการให้ความร้อน และค่าความหนืดสุดท้าย (final viscosity) ซึ่งเป็น ค่าความหนืดที่เวลาสิ้นสุดการวิเคราะห์ (Whalen et al., 1997)

#### 2.9.5 การวิเคราะห์ระดับเจลตาดีไนซ์เซชันของสตาร์ช (degree of starch gelatinization) ทำการวิเคราะห์ระดับการเกิดเจลตาดีไนซ์เซชันของสตาร์ชสำหรับเอกสารซึ่งรูดเดตเป็นข้าว 100 เปอร์เซ็นต์ ตามวิธีของ Chaing and Johnson method (1977)

นำค่าที่รัศมีได้มาสร้างความสัมพันธ์กับตัวแปรในสภาวะการแปรรูปที่เลือกศึกษาโดยการวิเคราะห์สมการถดถอยแบบพหุ (multiple regression) โดยใช้โปรแกรม SPSS (version 9.0) สร้างความสัมพันธ์ทางกลิตศาสตร์โดยใช้สมการโพลีโนเมียลกำลังสองชั้งแสดงได้ดังนี้

$$Y = b_0 + b_1X_1 + b_2X_2 + b_3X_3 + b_{11}X_1^2 + b_{22}X_2^2 + b_{33}X_3^2 + b_{12}X_1X_2 + b_{13}X_1X_3 + b_{23}X_2X_3 \quad (2)$$

เมื่อ

$X_1$  = ความชื้นของวัตถุคิบ (เปอร์เซ็นต์)

$X_2$  = ความเร็วอบสกรู (รอบ/นาที)

$X_3$  = อุณหภูมิของน้ำarel (องศาเซลเซียส)

$Y$  = ค่าตอบสนองที่ได้จากการทดลอง (แรงทอร์ค พลังงานกลจำเพาะ ความดันที่หัวแบบ อุณหภูมิของผลิตภัณฑ์ อัตราการขยายตัว แรงกดแตก และความหนาแน่น)

$b_0 \dots b_n$  = ค่าสัมประสิทธิ์เกรซชัน

โดยทำการพิจารณาค่า  $R^2$  (coefficient of determination) เมื่อมีค่าสูงจึงจะนำสมการมาใช้ ชั้งสมการที่ได้จะนำมาสร้างกราฟ 3 มิติ โดยใช้โปรแกรมสำเร็จรูป STATISTICA (version 5.0) แสดงความสัมพันธ์ระหว่างตัวแปรของสภาวะการแปรรูปที่เลือกศึกษากับผลตอบสนอง

## 2.10 การหาอายุการเก็บ

นำตัวอย่างบรรจุในถุงพลาสติกชนิดโพลีเอทธิลีน (PE) เก็บไว้ที่อุณหภูมิห้องและอุณหภูมิ 45 องศาเซลเซียส เป็นระยะเวลา 1 เดือน วิเคราะห์การเปลี่ยนแปลงของตัวอย่างทุก 1 สัปดาห์ โดยวัดแรงกดแตก ตามวิธี 2.9.3 ความชื้น (AOAC, 1997) Aw และ Thiobarbituric acid reactive substances (TBARS) ตามวิธีของ Gome et al (2003)

## 2.11 การทดสอบทางปราสาทสัมผัสและการยอมรับ

การทดสอบการยอมรับของผู้บริโภคทางปราสาทสัมผัสนั้นใช้ผู้ทดสอบที่มีประสบการณ์จำนวน 8 คนทำการประเมินทางด้านลักษณะผิว กลิ่นรส เนื้อสัมผัส (ความกรอบ ความแน่นแน่อ) การติดตามของกิน และความชอบโดยรวม โดยใช้วิธีทดสอบแบบ QDA ทำการวิเคราะห์ผลสถิติโดยทั่วไประหว่างเรียนๆและความแตกต่างของค่าเฉลี่ยด้วยโปรแกรมสำเร็จรูป SAS system for window 6.12 (SAS Institute Inc., North Carolina, USA)

### บทที่ 3

#### ผลการวิเคราะห์ข้อมูล

##### 3.1 ผลการศึกษาเบื้องต้น

จากการศึกษาเบื้องต้นเพื่อเตรียมวัดคุณิต พบว่าการบดข้าวพันธุ์ขาวดอกระลิ 105 ผ่านตะแกรงขนาด 0.5 มิลลิเมตร จะได้เป็นข้าวบดทรายสำหรับป้อนเครื่องเอกสาร์ทรูเดอร์ ความชื้นของแป้งข้าวถูกปรับเป็น 20, 22 และ 24 เปอร์เซ็นต์ เนื่องจากเป็นระดับความชื้นที่ทำให้เอกสาร์ทรูเดอร์ได้มีลักษณะเป็นเส้นยาวต่อเนื่อง และสามารถใช้ใบมีดท่อสูดกับหน้าแปลงของเครื่องเอกสาร์ทรูเดอร์ตัดได้ ลักษณะของเอกสาร์ทรูเดอร์มีความพองตัวเมื่อออกจากหน้าแปลง และมีลักษณะเนื้อสัมผัสที่ไม่แข็งจนเกินไปอยู่ในช่วงที่สามารถวัดได้ด้วยเครื่องวิเคราะห์เนื้อสัมผัส ตั้งอัตราการป้อนวัตถุคุณิตในอัตราคงที่ 9.0 กิโลกรัมต่อชั่วโมง เนื่องจากเป็นอัตราการป้อนที่มีความเหมาะสมให้เครื่องเอกสาร์ทรูเดอร์ดำเนินการแปรรูปได้ที่ช่วงความเรื้อรอบ สกรู 250-350 รอบต่อนาที ตั้งอุณหภูมิบำบัดท่อนที่ 4 ไว้ที่ 160, 170 และ 180 องศาเซลเซียส เนื่องจากความแตกต่างของอุณหภูมิทั้ง 3 ระดับนี้จะให้ลักษณะของเอกสาร์ทรูเดอร์มีความแตกต่างกันในช่วงลักษณะที่ยอมรับได้ การใช้อุณหภูมิที่ทางออกของเครื่องมากกว่า 100 องศาเซลเซียส จะได้เอกสาร์ทรูเดอร์ที่มีความพองตัวทันทีหลังออกจากเครื่อง (กล่าวรวม แจ้งชัด, 2541) ส่วนการใช้อุณหภูมิที่สูงเกินไป (มากกว่า 180 องศาเซลเซียส) พบว่าเอกสาร์ทรูเดอร์มีการขยายตัวลดลง ดังนั้นผลการศึกษาเบื้องต้นเพื่อหาสภาวะการแปรรูปด้วยกระบวนการเอกสาร์ทรูเข้นกือ อัตราการป้อนวัตถุคุณิตที่ 9.0 กิโลกรัมต่อชั่วโมง ความชื้นวัตถุคุณิต 3 ระดับ คือ 20, 22 และ 24 เปอร์เซ็นต์ ความเรื้อรอบสกรู 3 ระดับ คือ 250, 300 และ 350 รอบต่อนาที และอุณหภูมิบำบัดท่อนที่ 4 เป็น 3 ระดับ คือ 160, 170 และ 180 องศาเซลเซียส

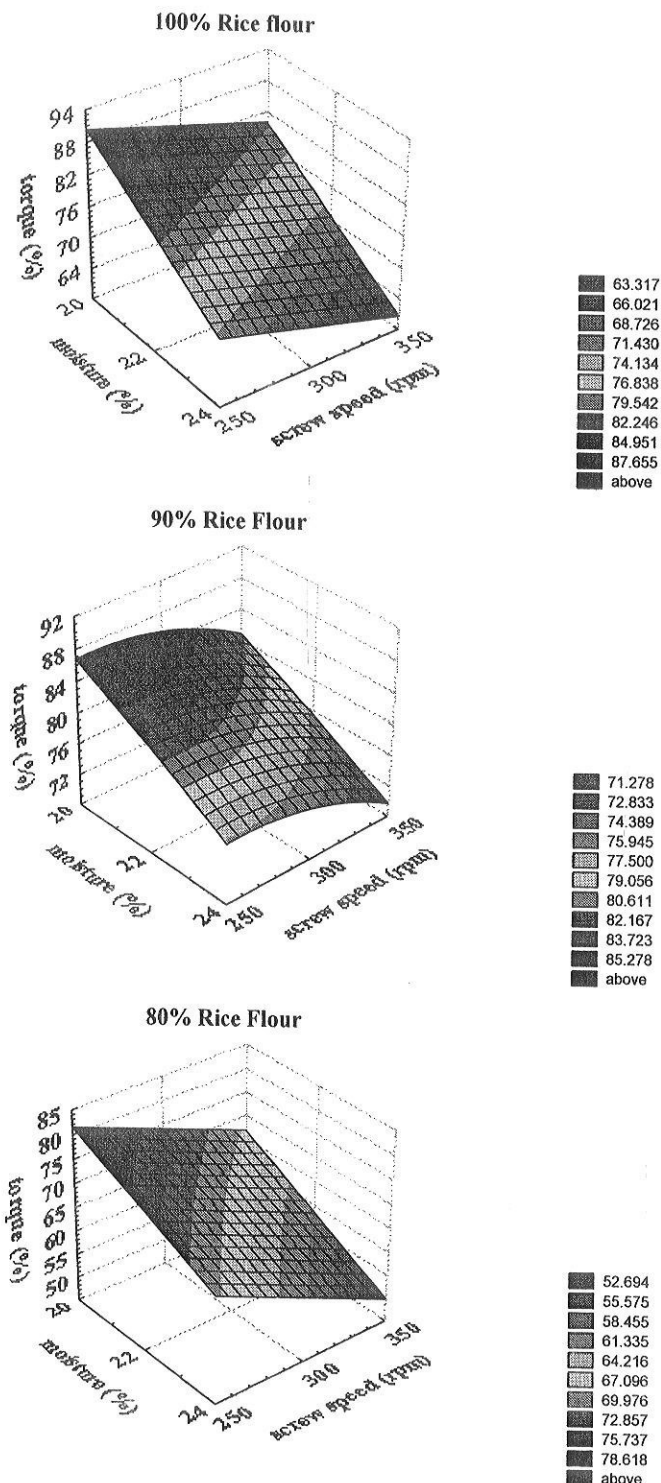
##### 3.2 ผลการศึกษาสภาวะการแปรรูปต่อตัวแปรตามการแปรรูปจากกระบวนการเอกสาร์ทรูเข้น

จากการดำเนินการแปรรูปด้วย 15 สภาวะการทดลอง จำนวน 2 ชุด สำหรับวัตถุคุณิตแป้งข้าว 100 เปอร์เซ็นต์ แป้งข้าวสมรำข้าวคุณิต 10 และ 20 เปอร์เซ็นต์ แสดงผลค่าเฉลี่ยของตัวแปรตามการแปรรูปได้ดังตารางที่ 1-3 ในภาคผนวก บ. เมื่อนำข้อมูลมาวิเคราะห์ทางสถิติโดยวิธีการวิเคราะห์สมการถดถอยด้วยโปรแกรม SPSS แบบ stepwise method แสดงผลการวิเคราะห์ดังตารางที่ 1-3 ในภาคผนวก ค. จากสมการถดถอยที่ได้สามารถนำมาสร้างกราฟแสดงผลตอบสนองแบบสามมิติได้จากเทอมตัวแปรที่ส่งผลอย่างมีนัยสำคัญทางสถิติ ( $p < 0.05$ ) ต่อผลตอบสนองตามสมการที่ 2 ผลพบว่าลักษณะแนวโน้มจากการเปลี่ยนแปลงตัวแปรการแปรรูปที่มีต่อผลตอบสนองทั้งทางด้านแรงทอร์ค พลังงานกลจำเพาะ ความดันที่หัวแบบ อัตราการขยายตัว ความหนาแน่น และ

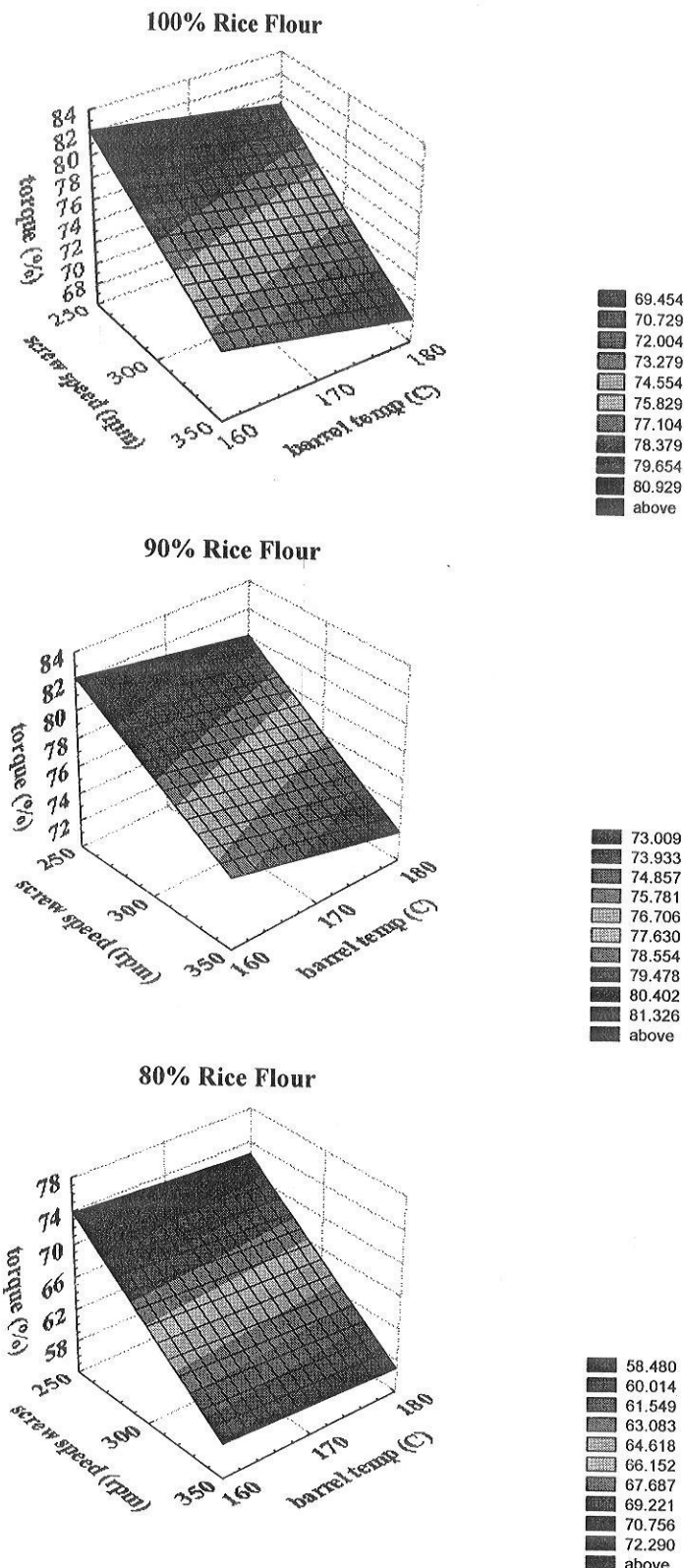
แรงดึงดูดในแต่ละวัตถุคิดทั้ง 3 ชนิด มีพิธีทางของผลตอบสนองคล้ายกัน แต่มีความแตกต่างในความมากน้อยของค่าตอบสนอง

แรงทอร์คเป็นตัวแปรตามที่สำคัญในการประยุปด้วยกระบวนการเอกซ์ทຽชัน ค่าแรงทอร์คซึ่งให้เห็นถึงน้ำหนักหรือแรงด้านท่านต่อการหมุนของมอเตอร์เครื่องเอกซ์ทຽเดอร์ แรงทอร์คได้รับผลโดยตรงจากสภาวะการประยุป เป็นค่าที่มีความสัมพันธ์กับลักษณะความหนืดของโอด และมีแนวโน้มที่จะแสดงให้เห็นถึงลักษณะปรากวของเอกซ์ทຽเดตที่จะได้ออกมา (Lue et al., 1994) จากการทดลองในครั้งนี้พบว่าความชื้นและผลร่วมของความเร็วรอบสกรูกับอุณหภูมิบาน雷ลเป็นตัวแปรที่ส่งผลสำคัญต่อค่าแรงทอร์คซึ่งแสดงได้ดังภาพที่ 1 เมื่อความชื้นของวัตถุคิดเพิ่มขึ้นส่งผลให้ค่าแรงทอร์คลดลง เนื่องจากโดยภายในบาน雷ลมีความหนืดลดลงเมื่อมีน้ำอยู่ในส่วนผสมมากขึ้น ดังนั้นเมื่อแรงด้านท่านต่อการหมุนของมอเตอร์เครื่องเอกซ์ทຽเดอร์ต่ำ ค่าแรงทอร์คจึงต่ำด้วย และเมื่อความเร็วรอบสกรูเพิ่มขึ้นส่งผลให้ค่าแรงทอร์คลดลง เนื่องจากผลของการมีลักษณะคล้ายพลาสติกของโอด (pseudoplastic behavior) ที่ส่งผลต่อการลดลงของความหนืดทำให้แรงทอร์คไม่ค่าลดลง อีกทั้งการที่สกรูหมุนเร็วขึ้นเป็นการเพิ่มแรงเฉือนที่กระทำต่อโอดภายในบาน雷ลจึงทำให้ความหนืดลดลง (Bhattacharya and Hanna, 1987; Lue et al., 1994) อีกทั้งยังสามารถอธิบายได้จากการเพิ่มขึ้นของความเร็วรอบจะไปลดการเติมเต็มของโอบนสกรูทำให้น้ำหนักของโอบนสกรูต่ำลง (Jin et al., 1994) สำหรับการเพิ่มอุณหภูมิบาน雷ลพบว่าส่งผลต่อการลดลงของแรงทอร์คเพียงเล็กน้อยดังแสดงในภาพที่ 2

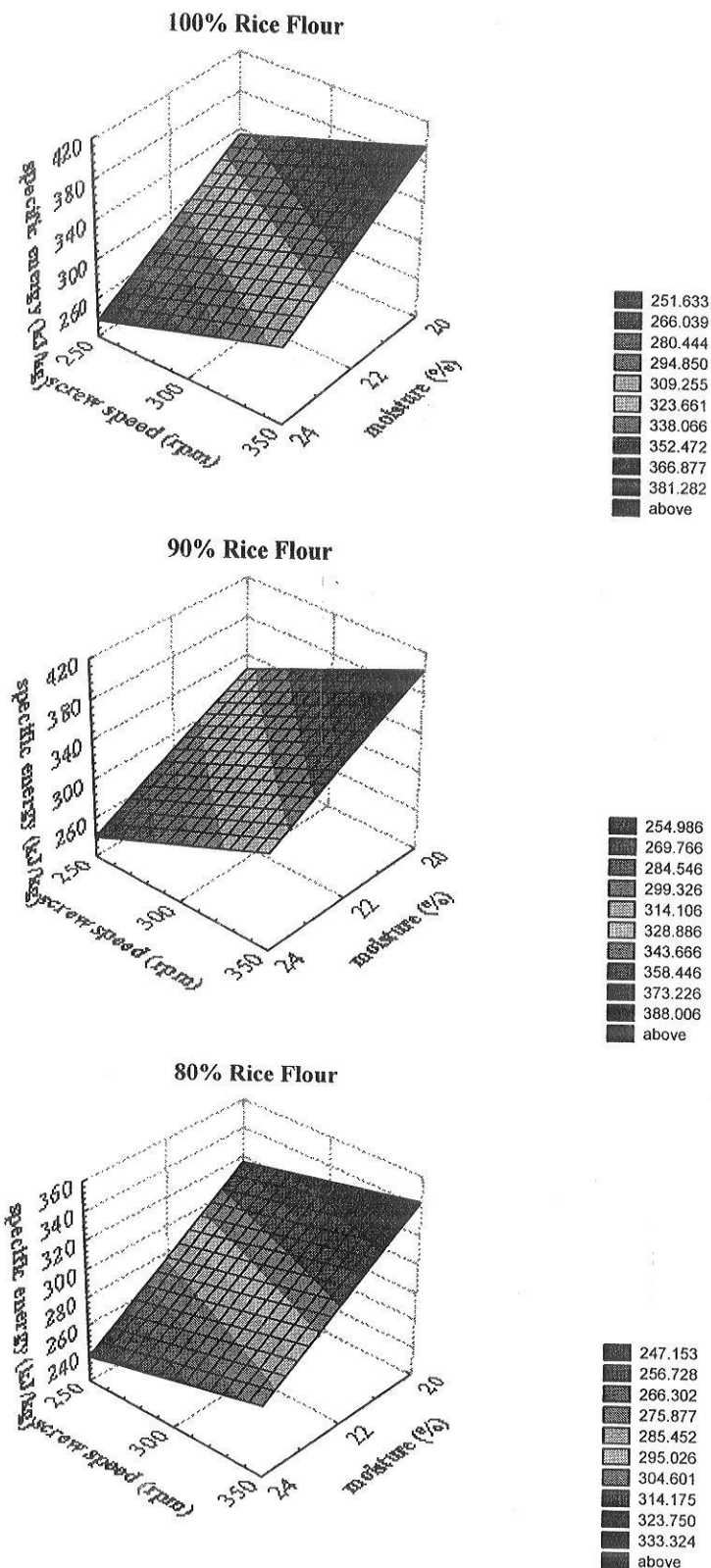
ผลลัพธ์งานกลจำเพาะเป็นค่าที่บ่งบอกถึงผลลัพธ์งานกลที่ป้อนเข้าสู่วัตถุคิดภายในบาน雷ล เนื่องจากการหมุนของสกรูในขณะที่ดำเนินการประยุปด้วยกระบวนการเอกซ์ทຽชัน วัตถุคิดได้รับผลลัพธ์งานส่วนใหญ่จากทางกล จากการเสียดสีกันระหว่างวัตถุคิดทำให้เกิดความร้อน ส่งผลให้ผลิตภัณฑ์สุก (Lue et al., 1994) โดยสามารถคำนวณผลลัพธ์งานกลจำเพาะได้จากการที่ 1 จากการทดลองพบแนวโน้มของตัวแปรต่างๆ ที่มีต่อค่าพลังงานกลจำเพาะแสดงในภาพที่ 3 และ 4 พบว่าเมื่อความเร็วรอบสกรูเพิ่มขึ้นส่งผลให้ค่าพลังงานกลจำเพาะเพิ่มขึ้นมาก ซึ่งสอดคล้องกับผลงานวิจัยของ Grenus et al. (1993) และ Hsieh et al. (1989) สำหรับผลเนื่องจากความชื้นของวัตถุคิดพบว่าความชื้นมีความสัมพันธ์ในเชิงเส้นตรงกับค่าพลังงานกลจำเพาะ ( $p<0.01$ ) โดยจากราฟในภาพที่ 3 จะเห็นได้ว่าเมื่อความชื้นของวัตถุคิดสูงจะส่งผลให้ค่าพลังงานกลจำเพาะลดลงมาก เนื่องจากผลการลดลงของความหนืดเมื่อมีปริมาณน้ำในวัตถุคิดสูงขึ้น และน้ำเป็นตัวช่วยในการนำความร้อนระหว่างวัตถุคิดให้ดีทำให้ความต้องการพลังงานกลในการทำให้วัตถุคิดมีการสุกต่อไป การทดลองในครั้งนี้สอดคล้องกับผลงานวิจัยของ Ilo et al. (1999)



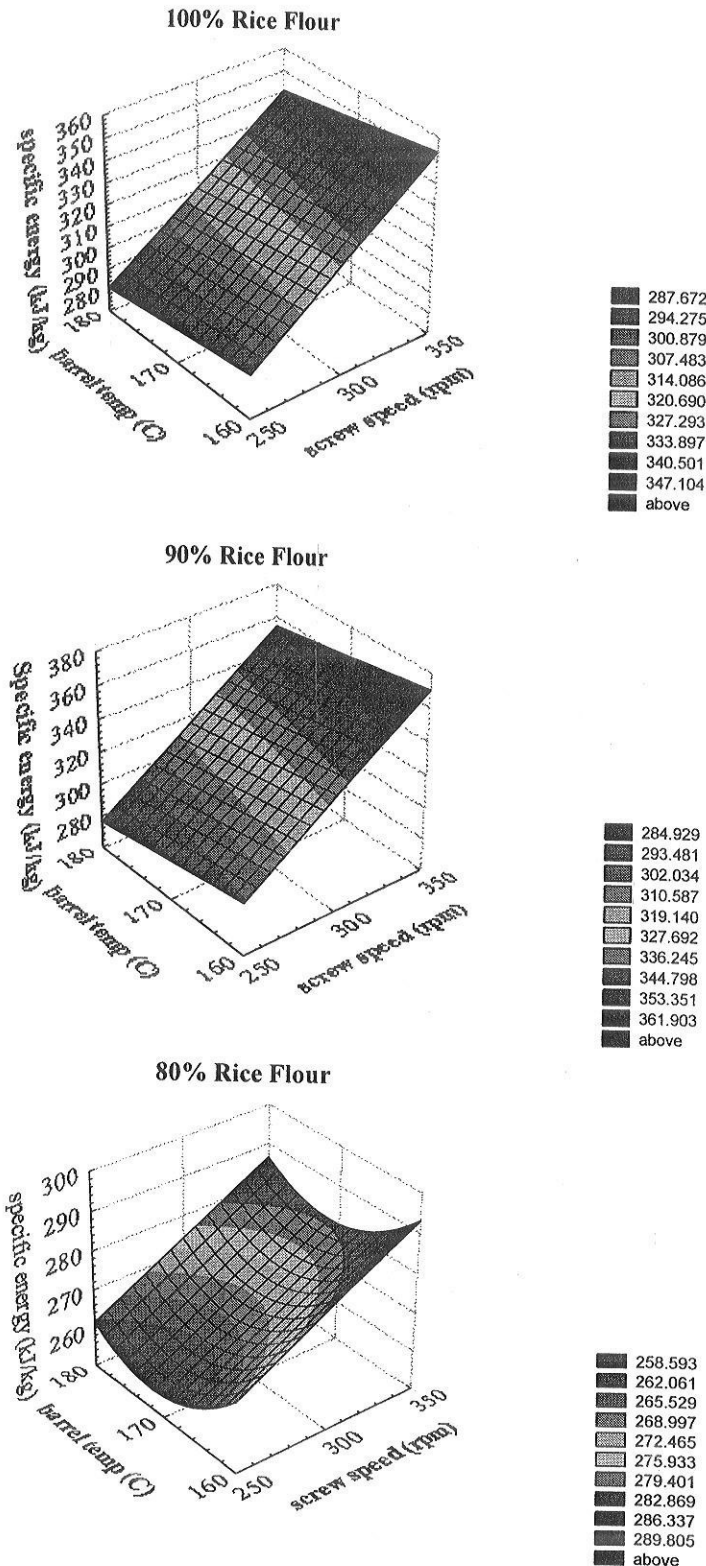
ภาพที่ 1 พื้นที่ผิวตอบสนองของแรงทอร์คที่สร้างระหว่างตัวแปรความชื้นวัตถุคิด และความเร็วอบสกูร์ในการกระบวนการเอกซ์ทรูชันแบ่งข้าว 100 เปอร์เซ็นต์ แบ่งข้าวผสมรำข้าวคิด 10 และ 20 เปอร์เซ็นต์



ภาพที่ 2 พื้นที่ผิวตอบสนองของแรงทอร์คที่สร้างระหว่างตัวแปรความเร็วรอบสกรู และอุณหภูมิบาร์ลในกระบวนการเอกซ์ทรูชันเป็นข้าว 100 เปอร์เซ็นต์ และเป็นข้าวผสมรำข้าวดิบ 10 และ 20 เปอร์เซ็นต์



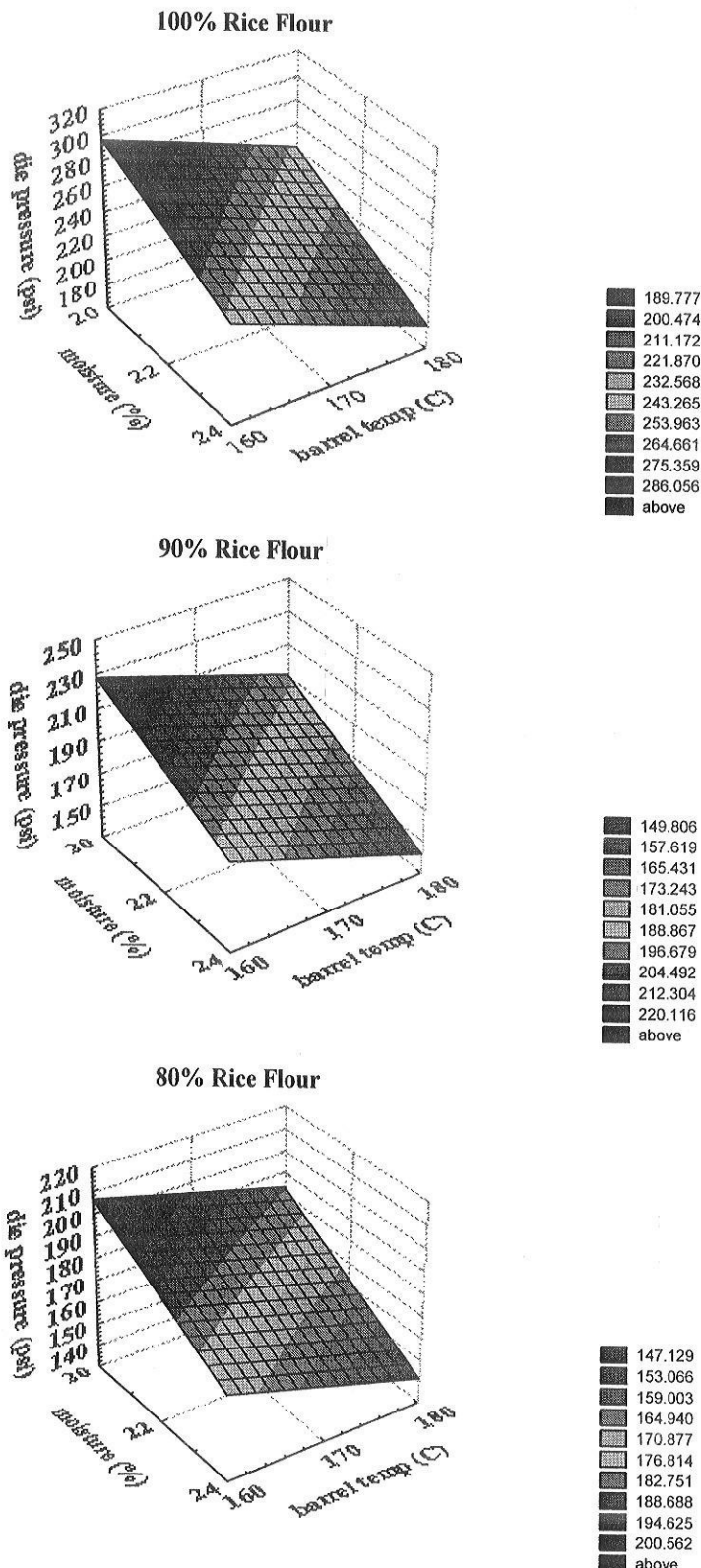
ภาพที่ 3 พื้นที่ผิวตอบสนองของผลิตภัณฑ์ที่สร้างระหว่างตัวแปรความชื้นวัตถุดิบ และ ความเร็วอบสกอร์ในกระบวนการເອົ້າຫຼູ້ຂັ້ນແປ່ງຫົວ 100 ເປື້ອເຊື້ນຕໍ່ ແລະ ແປ່ງຫົວພສມ ຮຳຫົວດີບ 10 ແລະ 20 ເປື້ອເຊື້ນຕໍ່



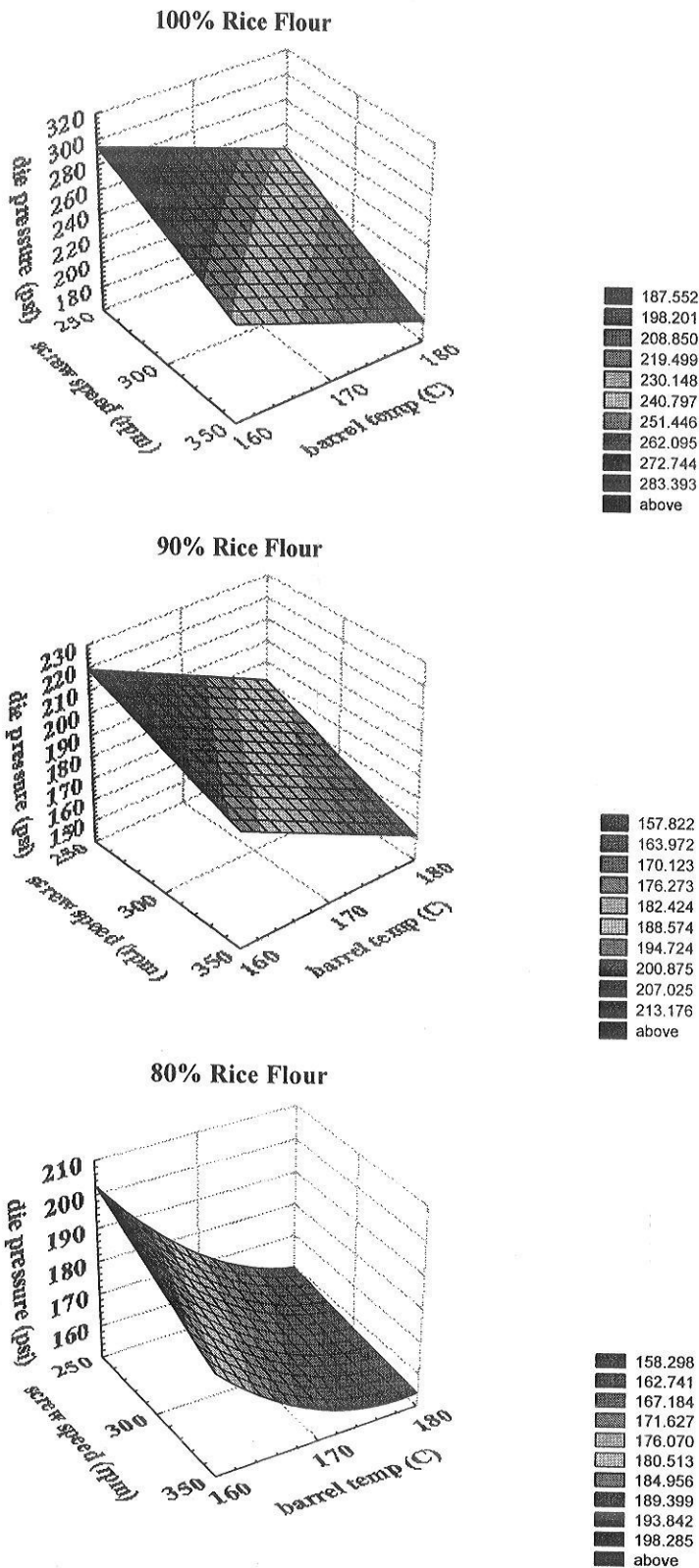
ภาพที่ 4 พื้นที่ผิวตอบสนองของผลลัพธ์งานก่อเจาเพาท์ที่สร้างระหว่างตัวแปรความเร็วรอบสกอร์ และอุณหภูมิบาร์ลในกระบวนการแยกชั้นเปลี่ยนข้าว 100 เปอร์เซ็นต์ และเปลี่ยนข้าว พสมรำข้าวดิน 10 และ 20 เปอร์เซ็นต์

ความดันที่หัวแบบได้รับอิทธิพลจากผลร่วมของตัวแปรการแปรรูปดังตารางที่ 1-3 ในภาคผนวก ค. จากภาพที่ 5 และ 6 แสดงให้เห็นถึงการเพิ่มความเร็วรอบสกรูเมื่อผลทำให้ความดันที่หัวแบบลดลงอย่างมากที่อุณหภูมิน้ำarelสูงๆ ซึ่งสอดคล้องกับผลการวิจัยของ Hiesh et al. (1993) และ Garber et al. (1997) การลดลงของความดันที่หัวแบบเป็นผลมาจากการหนีดของโอดีมีค่าต่ำ อีกทั้งในสภาวะการแปรรูปที่ความเร็วรอบสกรูสูงๆ การเติมเต็มของโอดบันสกรูน้อยลง และแรงเฉือนที่กระทำมากขึ้นร่วมกับอุณหภูมิที่สูงทำให้เกิดการสะสมของโอบนริเวณทางออกของเครื่องต่ำลง ทำให้ความดันที่หัวแบบต่ำลงด้วย (Hu et al., 1993) นอกจากนี้เมื่อความชื้นของวัตถุดินสูงขึ้นจะมีผลให้แรงเสียดสีของวัตถุดินกับบานarel และวัตถุดินกับสกรู รวมทั้งแรงเสียดสีที่เกิดขึ้นบริเวณหน้าแปลนลดลง ส่งผลให้แรงทอร์กและความดันที่หัวแบบมีค่าต่ำลง

ในส่วนอุณหภูมิของผลิตภัณฑ์นั้นพบว่าได้รับผลกระทบโดยตรงจากอุณหภูมิของบานarelในทิศทางเดียวกัน ( $p<0.01$ ) แสดงดังตารางที่ 1-3 ในภาคผนวก ค. ในขณะที่ความชื้นวัตถุดินและความเร็วรอบสกรูในช่วงสภาวะการแปรรูปที่ทำการศึกษานี้ส่งผลต่อการเปลี่ยนแปลงอุณหภูมิของผลิตภัณฑ์น้อยมาก



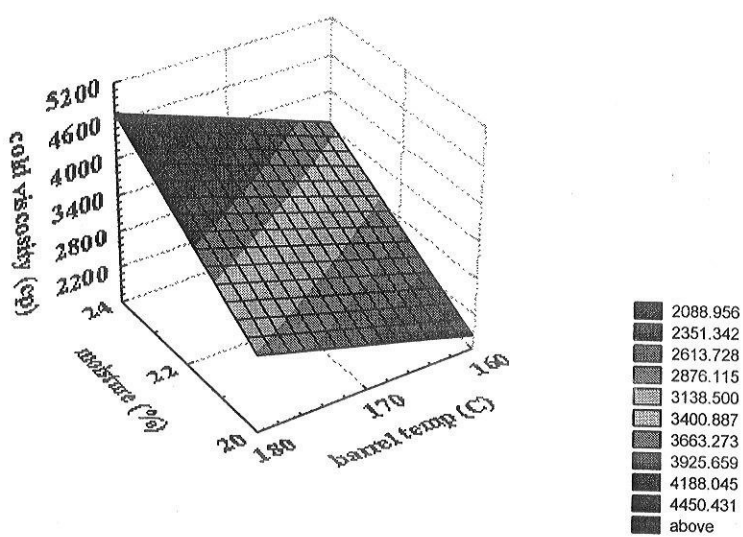
ภาพที่ 5 พื้นที่ผิวตอบสนองของความดันที่หัวแบบที่สร้างระหว่างตัวแปรความชื้นวัตถุดิน และอุณหภูมินิบาร์ในกระบวนการເອກຫຼຽນແປ້ງຂ້າວ 100 ເປື່ອເຊີ້ນຕໍ່ ແປ້ງຂ້າວສຸມຮໍາ ຂ້າວດິບ 10 ແລະ 20 ເປື່ອເຊີ້ນຕໍ່



ภาพที่ 6 พื้นที่ผิวตอบสนองของความดันที่หัวแบบที่สร้างระหว่างตัวแปรความเร็วอบสกู๊ และอุณหภูมิบาร์ลในกระบวนการเอกซ์ทรูชันแบงช้า 100 เปอร์เซ็นต์ แบงช้าผสานร้าช้า คิบ 10 และ 20 เปอร์เซ็นต์

### 3.3 ความหนืดของเอกสารทรายเดต

ผลค่าความหนืดจากตารางที่ 4 พบว่าความหนืดขณะเย็นของเอกสารทรายเดตสูงกว่าแป้งข้าวคิบ 20-50 เท่า แสดงให้เห็นถึงการเปลี่ยนแปลงอย่างชัดเจนจากลักษณะของแป้งคิบไปเป็นผลิตภัณฑ์ที่มีระดับการสกัดสูงอันเนื่องมาจากการร้อน และแรงกลของกระบวนการเอกสารทรายชัน จากการวิเคราะห์ทางสถิติพบว่าผลร่วมของความชื้นกับอุณหภูมิบาร์ล米ผลต่อความหนืดจะมีผล ( $p<0.01$ ) และให้ค่า  $R^2$  เท่ากับ 0.823 จึงนำสมการดังนี้มาสร้างกราฟแสดงผลตอบสนองแบบสามมิติได้ดังภาพที่ 7 พบว่าเมื่อความชื้นวัตถุคิบสูงขึ้นจาก 20-24 เปอร์เซ็นต์ ส่งผลให้ค่าความหนืดจะเพิ่มขึ้นอย่างชัดเจน ในขณะที่การเปลี่ยนแปลงอุณหภูมิบาร์ล米ส่งผลต่อการเปลี่ยนแปลงความหนืดจะเพิ่มขึ้นตามที่คาดไว้ เมื่อความชื้นวัตถุคิบต่ำความหนืดของโดยมากขึ้นดังผลจากค่าท่อร์คที่สูงขึ้น อีกทั้งโดยได้รับพลังงานกลสูง ดังนั้นจึงน่าจะเกิดการแตกตัวของสารซึ่ง (*degradation*) มากกว่าวัตถุคิบที่มีความชื้นสูงกว่า จึงส่งผลให้ความหนืดของเอกสารทรายเดตมีค่าต่ำลง สำหรับค่าสัมพันธ์ (*correlation*) ของความหนืดขณะเย็นกับตัวแปรตามต่างๆ ที่วัดได้จากเครื่องเอกสารทรายเดอร์ พบว่ามีความสัมพันธ์กันในเชิงตรงข้ามอย่างมีนัยสำคัญ ( $p<0.01$ ) กับแรงท่อร์ค พลังงานกลจำเพาะ และความดันที่หัวแบบ ในส่วนของค่าความหนืดสูงสุดพบว่ามีความสัมพันธ์ตรงข้ามกับแรงท่อร์ค และพลังงานกลจำเพาะ ( $p<0.01$ ) ค่าความหนืดของเจลร้อนมีความสัมพันธ์ในเชิงตรงข้ามกับอุณหภูมิของผลิตภัณฑ์และพลังงานกลจำเพาะ ( $p<0.05$ ) และค่าความหนืดสูดท้ายมีความสัมพันธ์กับพลังงานกลจำเพาะในเชิงตรงข้ามเช่นกัน ( $p<0.01$ )



ภาพที่ 7 พื้นที่ผิวตอบสนองของความหนืดขณะเย็นที่สร้างระหว่างตัวแปรความชื้นวัตถุคิบและอุณหภูมิบาร์ล米ในกระบวนการเอกสารทรายชันแป้งข้าว 100 เปอร์เซ็นต์

ตารางที่ 4 ค่าความหนืดจากการวิเคราะห์ความหนืดอย่างรวดเร็วของแป้งข้าวและเอกซ์ทรูเดตข้าว 100 เมอร์เซ็นต์

| extrusion conditions |     |      | cold viscosity<br>(cp) | peak time<br>(min) | peak viscosity<br>(cp) | hot paste viscosity<br>(cp) | final viscosity<br>(cp) |
|----------------------|-----|------|------------------------|--------------------|------------------------|-----------------------------|-------------------------|
| mc                   | ss  | temp |                        |                    |                        |                             |                         |
| 20                   | 250 | 170  | 2402.5                 | 3.90               | 2332.0                 | 261.5                       | 665.5                   |
| 20                   | 350 | 170  | 2478.5                 | 3.43               | 2149.0                 | 200.5                       | 482.0                   |
| 24                   | 250 | 170  | 4145.5                 | 5.00               | 4231.5                 | 340.0                       | 870.0                   |
| 24                   | 350 | 170  | 4359.5                 | 4.20               | 4132.5                 | 240.0                       | 607.0                   |
| 20                   | 300 | 160  | 2169.0                 | 4.34               | 2083.5                 | 227.0                       | 550.5                   |
| 20                   | 300 | 180  | 3000.5                 | 2.20               | 2484.5                 | 213.0                       | 498.0                   |
| 24                   | 300 | 160  | 3173.5                 | 4.97               | 3352.5                 | 328.0                       | 803.0                   |
| 24                   | 300 | 180  | 5043.0                 | 3.93               | 4636.0                 | 249.5                       | 636.5                   |
| 22                   | 250 | 160  | 2781.0                 | 4.97               | 2881.5                 | 388.0                       | 821.5                   |
| 22                   | 250 | 180  | 3335.0                 | 4.40               | 2990.0                 | 268.0                       | 682.5                   |
| 22                   | 350 | 160  | 2476.0                 | 4.64               | 2472.5                 | 257.5                       | 627.5                   |
| 22                   | 350 | 180  | 4202.0                 | 1.37               | 3064.0                 | 199.0                       | 475.5                   |
| 22                   | 300 | 170  | 2965.0                 | 4.87               | 2889.5                 | 227.5                       | 587.5                   |
| 22                   | 300 | 170  | 3070.5                 | 4.60               | 2957.0                 | 230.0                       | 605.5                   |
| 22                   | 300 | 170  | 2652.5                 | 4.60               | 2557.0                 | 206.0                       | 586.5                   |
| raw rice 1           |     |      | 93.0                   | 0.07               | 6071.0                 | 4038.0                      | 6694.0                  |
| raw rice 2           |     |      | 86.0                   | 0.07               | 5935.0                 | 3987.0                      | 5649.0                  |

### 3.4 ระดับการเกิดเจลلاتีไนซ์เซชัน

ระดับการเกิดเจลلاتีไนซ์เซชันของเอกซ์ทรูเดตแป้งข้าว 100 เมอร์เซ็นต์ จากช่วงสภาวะการทดลองในครั้งนี้อยู่ในช่วง 91-98 เมอร์เซ็นต์ แสดงดังตารางที่ 5 พนบว่าระดับการเกิดเจลلاتีไนซ์เซชันเฉลี่ยสูงสุดคือ 98.03 เมอร์เซ็นต์ ที่สภาวะการแปรรูปความชื้น 24 เมอร์เซ็นต์ ความเร็วรอบสกru 300 รอบต่อนาที และอุณหภูมินาแรล 180 องศาเซลเซียส จะเห็นได้ว่าเป็นสภาวะการแปรรูปเดียวกันกับที่ทำให้เอกซ์ทรูเดตมีความหนืดขณะเย็นสูงที่สุด อย่างไรก็ตามไม่พบรความสัมพันธ์กันระหว่างค่าความหนืดขณะเย็นกับระดับการเกิดเจลلاتีไนซ์เซชัน ( $p>0.05$ ) ส่วนระดับการเกิดเจลلاتีไนซ์เซชันที่ต่ำสุดคือ 91.10 เมอร์เซ็นต์ ได้จากการแปรรูปที่สภาวะความชื้น 24 เมอร์เซ็นต์ ความเร็วรอบสกru 300 รอบต่อนาที และอุณหภูมิ 160 องศาเซลเซียส จากผลการทดลองนี้สามารถ

สังเกตได้ว่าในสภาวะการแปรรูปที่ให้อุณหภูมินาแรลสูงสุดจะทำให้เอกซ์ทรูเดตเกิดการเจล化ตีไนซ์ เช่นในระดับที่สูงด้วย โดยผลจากการวิเคราะห์พบว่าระดับการเกิดเจลตีไนซ์ เช่นมีความสัมพันธ์ ในเชิงบวก ( $p<0.05$ ) กับอุณหภูมิของผลิตภัณฑ์ ซึ่งอุณหภูมิของผลิตภัณฑ์ได้รับผลกระทบโดยตรง จากอุณหภูมิของนาแรลดังที่ได้กล่าวมา อีกทั้งยังพบว่าที่สภาวะการแปรรูปด้วยอุณหภูมินาแรลต่ำที่ 160 องศาเซลเซียส การเกิดเจลตีไนซ์ เช่นอยู่ในระดับที่ต่ำประมาณ 91-95 เปอร์เซ็นต์ อย่างไรก็ตามข้อมูลของระดับการเกิดเจลตีไนซ์ เช่น ในช่วงการแปรรูปในการทดลองครั้งนี้ไม่เหมาะสมที่จะนำไปสร้างสมการในการทำนายผลได้ เนื่องจากค่า  $R^2$  ของข้อมูลนี้ค่าค่อนข้างต่ำ

**ตารางที่ 5 ค่าเฉลี่ยของระดับการเกิดเจลตีไนซ์ เช่นของเอกซ์ทรูเดตจากกระบวนการเอกซ์ทรูชัน แบ่งข้าว 100 เปอร์เซ็นต์**

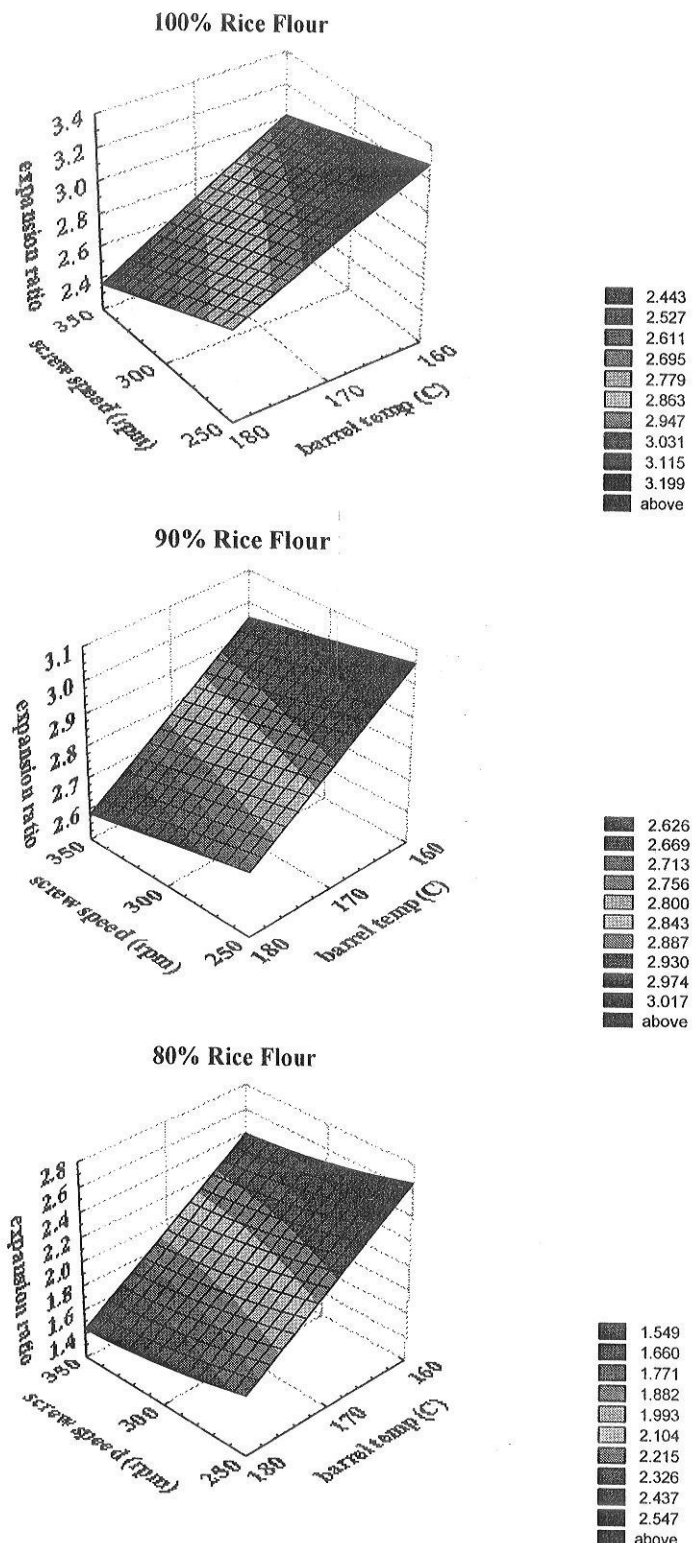
| sample | feed moisture content (%) | screw speed (rpm) | barrel temperature (°C) | degree of gelatinization <sup>(1)</sup> (%) |
|--------|---------------------------|-------------------|-------------------------|---|
| 1      | 20                        | 250               | 170                     | 97.17 a                                     |
| 2      | 20                        | 350               | 170                     | 97.73 a                                     |
| 3      | 24                        | 250               | 170                     | 95.63 a                                     |
| 4      | 24                        | 350               | 170                     | 97.23 a                                     |
| 5      | 20                        | 300               | 160                     | 92.71 bc                                    |
| 6      | 20                        | 300               | 180                     | 96.96 a                                     |
| 7      | 24                        | 300               | 160                     | 91.10 c                                     |
| 8      | 24                        | 300               | 180                     | 98.03 a                                     |
| 9      | 22                        | 250               | 160                     | 95.79 a                                     |
| 10     | 22                        | 250               | 180                     | 97.16 a                                     |
| 11     | 22                        | 350               | 160                     | 95.03 ab                                    |
| 12     | 22                        | 350               | 180                     | 96.11 a                                     |
| 13     | 22                        | 300               | 170                     | 95.44 a                                     |
| 14     | 22                        | 300               | 170                     | 96.19 a                                     |
| 15     | 22                        | 300               | 170                     | 96.18 a                                     |

(1) ตัวอักษรที่ต่างกันตามแนวตั้งหมายถึงมีความแตกต่างอย่างมีนัยสำคัญทางสถิติ ( $p<0.05$ )

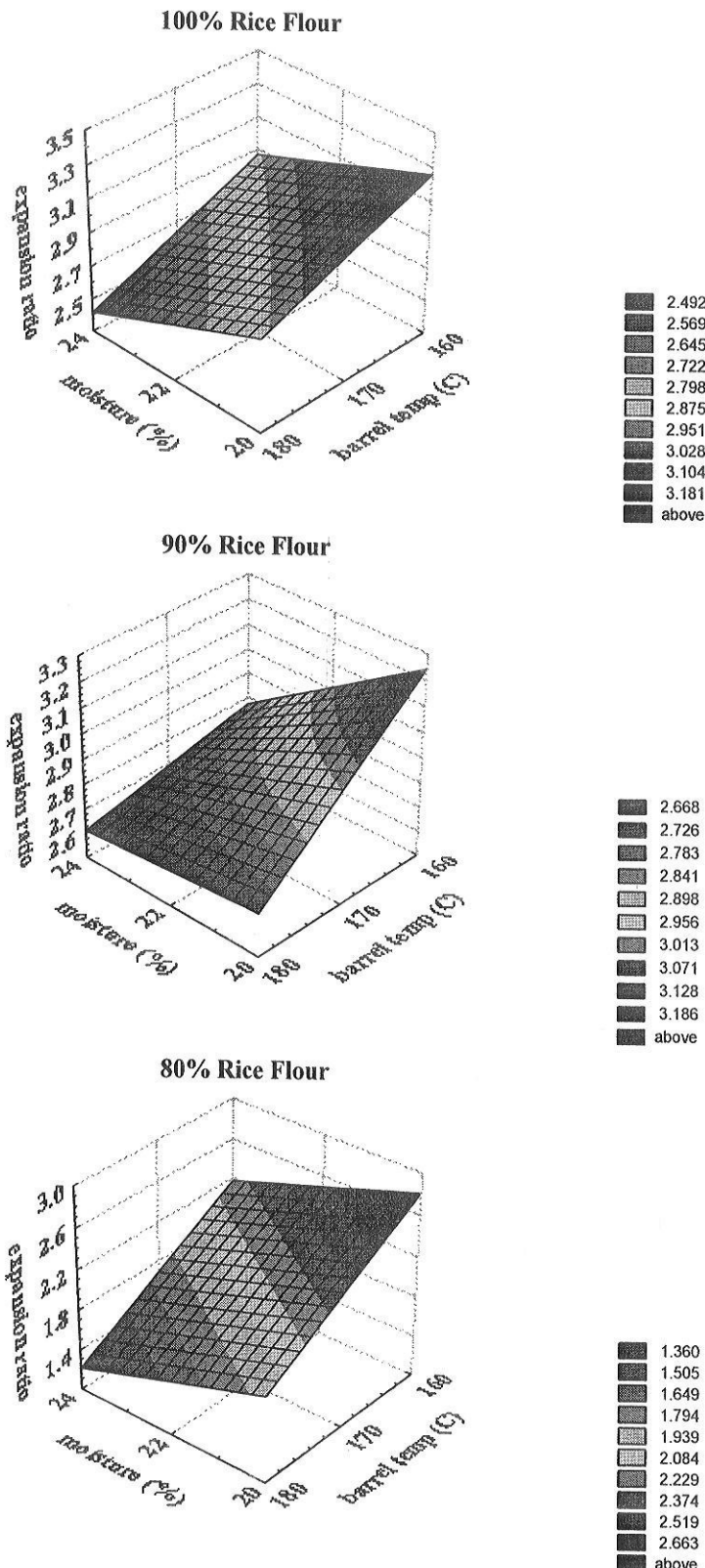
### 3.5 ผลการศึกษาสภาวะการแปรรูปค่าลักษณะทางกายภาพของเอกซ์ทรูเดต

การวิจัยครั้งนี้เลือกใช้แบ่งข้าวพันธุ์ขาวคอมะลี 105 ซึ่งเป็นข้าวประเภทข้าวอะมิโลสต่ำซึ่งมีปริมาณอะมิโลส 16.95 เปอร์เซ็นต์ จากผลการวิจัยของ Feldberg (1969) พบร่วงตุกคินที่มี

ปริมาณอะมิโนไดามากจะทำให้การพองตัวและปริมาตรจำเพาะลดลง ในขณะที่อะมิโน酇ตินจะช่วยในการพองตัวและมีน้ำหนักเบา จากผลการวิเคราะห์ทางสถิติพบตัวแปรการแปรรูปที่ส่งผลต่ออัตราการขยายตัวดังตารางที่ 5-7 ในภาคผนวก ค. สามารถนำไปสร้างกราฟแสดงผลตอบสนองได้ดังภาพที่ 8 พบร่วงการเพิ่มอุณหภูมิบาร์ลร่วมกับการเพิ่มความเร็วรอบสกรูส่งผลให้อัตราการขยายตัวลดลง เนื่องจากเมื่อลักษณะความยืดหยุ่นของโอด (elasticity) มีค่าต่ำ และความหนืดของโอดลดลง ทำให้เอกซ์ทรูเดตหลังออกจากเครื่องมีแนวโน้มของการขยายตัวต่ำลง ซึ่งผลการศึกษานี้สอดคล้องกับงานวิจัยของ Chinnaswamy and Hanna (1988) ที่พบว่าแบ่งข้าวเจ้ามีการขยายตัวต่ำลงเมื่ออุณหภูมิของน้ำarelสูงกว่า 158 องศาเซลเซียส ผลกระทบจากการแปรรูปต่ออัตราการขยายตัวในภาพที่ 9 แสดงให้เห็นว่าเมื่อความชื้นของวัตถุลดลงในขณะที่อุณหภูมิของน้ำarelต่ำส่งผลให้เอกซ์ทรูเดตมีการขยายตัวสูงขึ้น ทั้งนี้เนื่องจากลักษณะความหนืดของโอดที่สูงขึ้นภายในบาร์ล ดังหากความสัมพันธ์ระหว่างตัวแปรตามจากเครื่องเอกซ์ทรูเดอร์กับลักษณะทางกายภาพของเอกซ์ทรูเดตดังตารางที่ 6 พบร่วงการขยายตัวของเอกซ์ทรูเดตทึ่งจากแบ่งข้าว 100 เปอร์เซ็นต์ แบ่งข้าวผสมรำข้าวคิน 10 และ 20 เปอร์เซ็นต์ มีความสัมพันธ์ในเชิงบวกกับค่าแรงทอร์ค พลังงานกลจำเพาะและความดันที่หัวแบบ แสดงให้เห็นว่าเมื่อเครื่องเอกซ์ทรูเดอร์ดำเนินการแปรรูปด้วยสภาวะที่ให้ค่าตัวแปรตามดังกล่าวสูง จะส่งผลให้อัตราการขยายตัวของเอกซ์ทรูเดตมีค่าสูงขึ้นด้วย ซึ่งผลดังกล่าวมีความสอดคล้องกับ Grenus et al. (1993) ที่พบว่าเมื่อความเร็วรอบสกรูต่ำจะทำให้ค่าแรงทอร์คและความดันที่หัวแบบเพิ่มขึ้น และเมื่อมีความแตกต่างระหว่างความดันที่หัวแบบกับความดันบรรยายความมากขึ้นจึงส่งผลให้เอกซ์ทรูเดตที่ได้มีอัตราการขยายตัวเพิ่มขึ้น การศึกษาความสัมพันธ์ระหว่างความหนืดของอะมิโน酇ตินกับอัตราการขยายตัวของเอกซ์ทรูเดตพบว่ามีความสัมพันธ์ในทางตรงข้าม ( $p<0.01$ ) ซึ่งผลการทดลองในครั้งนี้ขัดแย้งกับการทดลองของ Whalen et al. (1997) ที่พบว่าเอกซ์ทรูเดตแบ่งข้าวโพดและแบ่งข้าวสาลีที่มีอัตราการขยายตัวสูงจะมีค่าความหนืดอะมิโน酇ตินสูงด้วย



ภาพที่ 8 พื้นที่ผิวตอบสนองของอัตราการขยายตัวที่สร้างระหว่างตัวแปรความเร็วอบสกุ๊ดและอุณหภูมินาโนในกระบวนการเอกซ์ทรูชันเป็นข้าว 100 เมอร์เซ็นต์ และเป็นข้าวผสมรำข้าวคิด 10 และ 20 เมอร์เซ็นต์



ภาพที่ 9 พื้นที่ผิวตอบสนองของอัตราการขยายตัวที่สร้างระหว่างตัวแปรความชื้นวัตถุคิบ และอุณหภูมิバレลในกระบวนการເອົ້າຫຽວແປ່ງຂ້າວ 100 ເປືອຣ්ເຊັ້ນຕໍ່ ແລະ ແປ່ງຂ້າວ ພສມර້າຫຽວຄົບ 10 ແລະ 20 ເປືອຣ්ເຊັ້ນຕໍ່

**ตารางที่ 6 ค่าสหสัมพันธ์เบื้องระหว่างตัวแปรตามการแปรรูปกับลักษณะทางกายภาพของ เอกซ์ทรูเดต แบ่งข้าว 100 เมอร์เซ็นต์ แบ่งข้าวผสมรำข้าวคิด 10 และ 20 เมอร์เซ็นต์**

| system parameters        | product characteristics |                      |                     |
|--------------------------|-------------------------|----------------------|---------------------|
|                          | expansion ratio         | piece density        | compression force   |
| torque (%)               | 0.704**                 | -0.564**             | -0.775**            |
| SME (kJ/kg)              | 0.504**                 | -0.652**             | -0.633**            |
| die pressure (psi)       | 0.661**                 | -0.058 <sup>ns</sup> | -0.643**            |
| product temperature (°C) | -0.171 <sup>ns</sup>    | 0.314 <sup>ns</sup>  | 0.124 <sup>ns</sup> |

\*\* p<0.01

<sup>ns</sup> ไม่มีความแตกต่างกันทางสถิติ

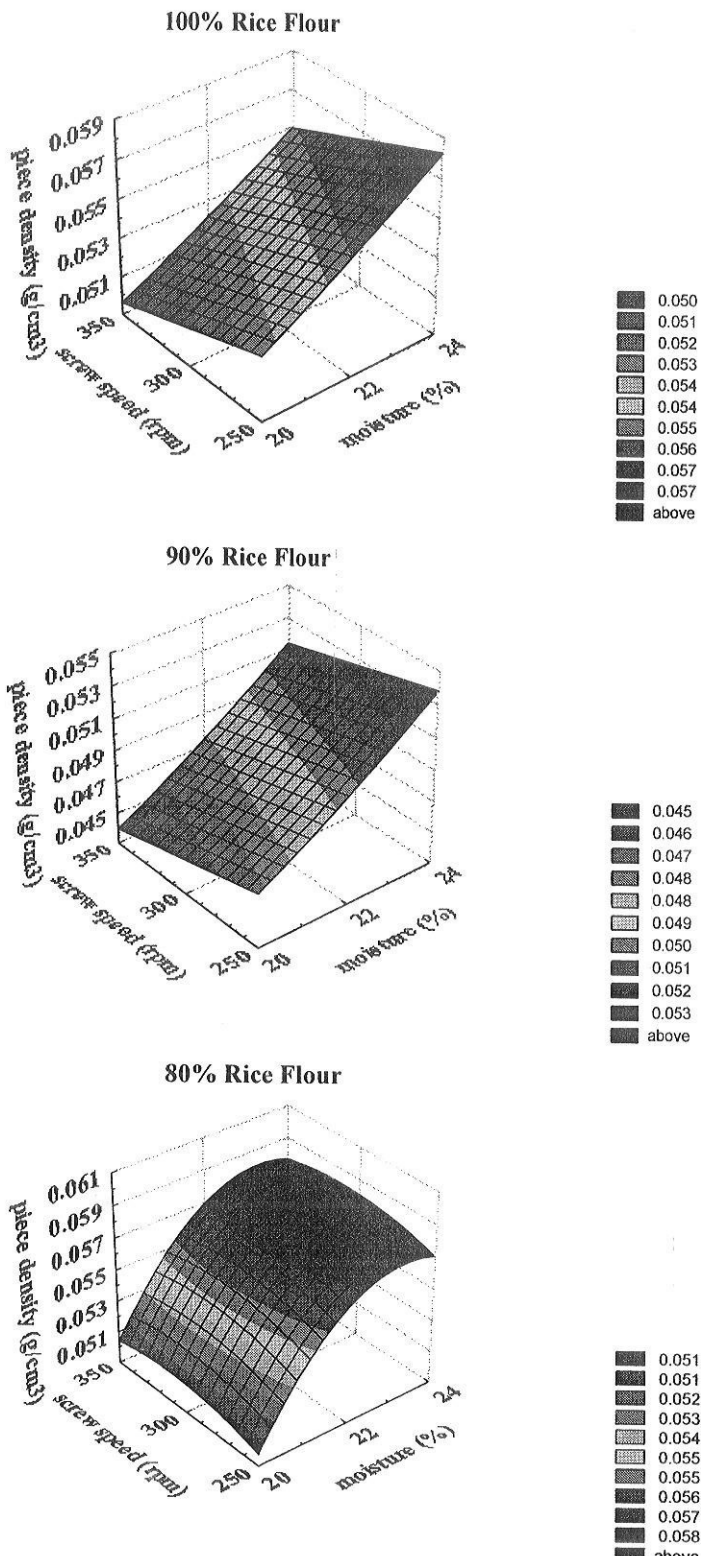
ผลของสภาวะการแปรรูปที่มีต่อความหนาแน่นของเอกซ์ทรูเดตแสดงได้ดังภาพที่ 10 พบว่า เมื่อคำนวณการแปรรูปด้วยสภาวะที่ความชื้นต่ำและความเร็วอบสกอร์สูงๆ ส่งผลให้เอกซ์ทรูเดตที่ได้มีความหนาแน่นต่ำ จากการจะเห็นได้ว่าความชื้นของวัตถุคิดส่งผลต่อการเปลี่ยนแปลงค่าความหนาแน่นซึ้งกันกว่าผลจากการเปลี่ยนแปลงความเร็วอบสกอร์ ซึ่งมีความสอดคล้องกับผลการวิจัยของ Tomas et al. (1994) เมื่อจากปริมาณน้ำที่ต่ำลงจะไปทำให้ค่าความหนืดของโอดกายในบาร์เพิ่มขึ้น ทำให้เอกซ์ทรูเดตที่ได้น้ำหนักเบา และมีไฟรองจากเศษนาดใหญ่ทำให้ค่าความหนาแน่นต่ำ จากการที่ 11 แสดงถึงสภาวะการแปรรูปที่ความชื้นวัตถุคิดต่ำและอุณหภูมิบาร์สูงๆ ผลิตให้เอกซ์ทรูเดตที่มีความหนาแน่นต่ำ อย่างไรก็ตามสภาวะแปรรูปดังกล่าวไม่ได้ผลิตให้เอกซ์ทรูเดตที่มีอัตราการขยายตัวสูงสุด ดังที่ไม่พนความสัมพันธ์กันในเชิงสถิติระหว่างอัตราการขยายตัวกับความหนาแน่น เมื่อจากค่าอัตราการขยายตัวที่ทำการวัดในการศึกษาครั้งนี้เป็นการวัดอัตราการขยายตัวของเอกซ์ทรูเดตในทิศทางตั้งฉากกับทิศทางการไหลของเอกซ์ทรูเดตเอง แต่ค่าความหนาแน่นเป็นการวัดอัตราการขยายตัวของเอกซ์ทรูเดตทั้งในทิศทางตั้งฉากและทิศทางเดียวกันกับการไหล ผลการศึกษาความสัมพันธ์กับตัวแปรตามการแปรรูปในตารางที่ 6 พบว่าความหนาแน่นมีความสัมพันธ์ในเชิงตรงข้ามกับแรงทอร์ค ( $p<0.01$ )

อย่างไรก็ตามเอกซ์ทรูเดตที่มีอัตราการขยายตัวสูงไม่ได้แสดงถึงลักษณะที่ดีของผลิตภัณฑ์เสมอไป เพราะเอกซ์ทรูเดตที่มีอัตราการขยายตัวต่ำอันเนื่องจากการแปรรูปด้วยอุณหภูมิบาร์สูง และมีระดับการเกิดเจลلاتีนซ์เซชันสูง อาจเป็นเอกซ์ทรูเดตที่ผู้บริโภคให้การยอมรับสูงกว่า เพราะมีความหนาแน่นต่ำกว่า การแปรรูปด้วยอุณหภูมิบาร์สูงทำให้ความหนาแน่นของเอกซ์ทรูเดตต่ำลง ได้เนื่องจาก เอกซ์ทรูเดตที่แม่ว่าจะมีการขยายตัวในแนวรัศมีต่ำลง แต่มีการขยายตัวในทางยาวมากขึ้น ซึ่งมีผลต่อการเพิ่มปริมาตรของเอกซ์ทรูเดต นอกเหนือนี้เอกซ์ทรูเดตที่ได้ยังมีลักษณะโครงสร้างเป็นรูพรุนที่สม่ำเสมอ และมีผนังเซลล์บางทำให้ค่าความหนาแน่นต่ำลง จากลักษณะ

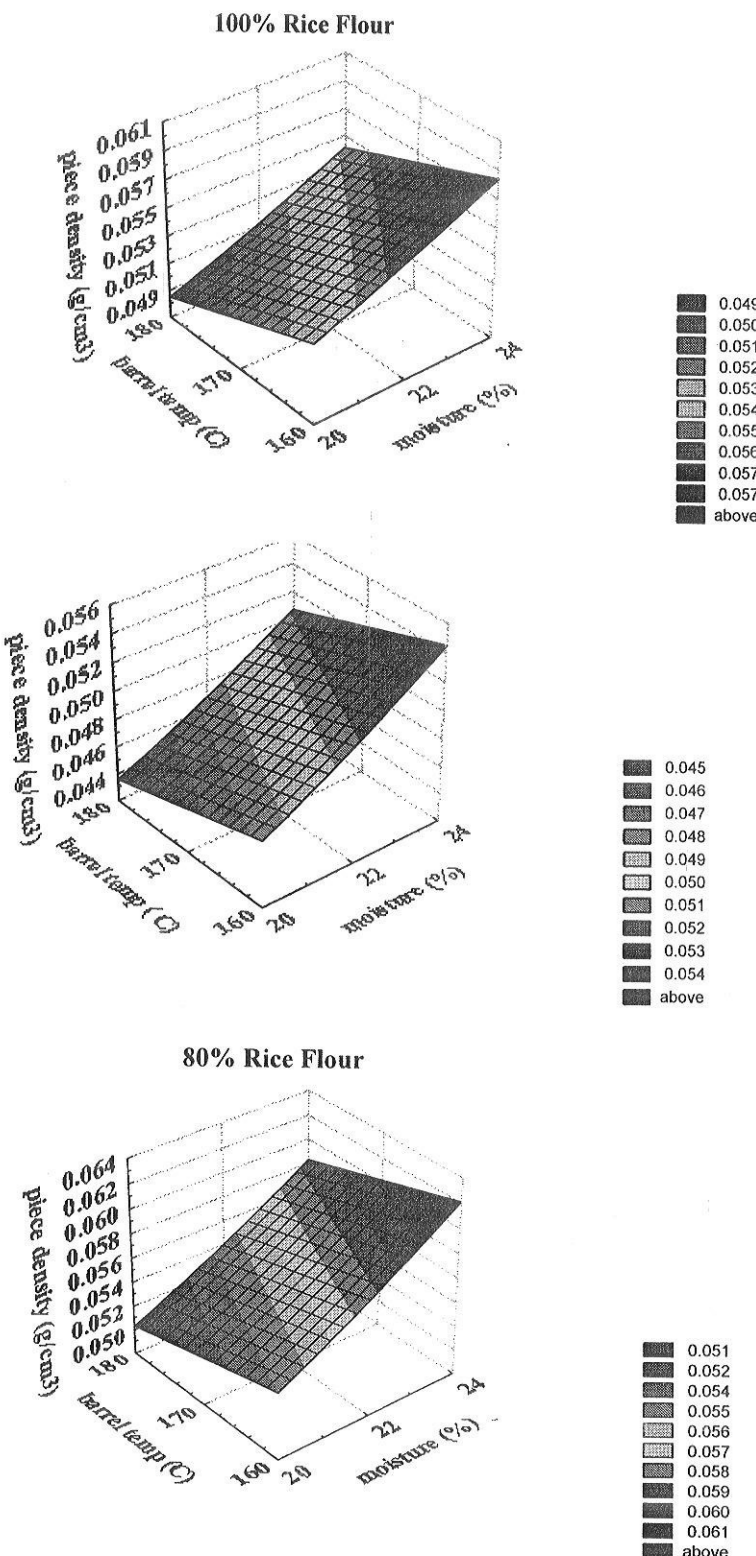
ของเอกซ์ทรูเดตดังที่ได้กล่าวมาแล้ว จึงเป็นเหตุผลของการที่ไม่พบความสัมพันธ์ระหว่างอัตราการขยายตัวกับความหนาแน่นทางสถิติ

สำหรับผลของสภาวะการแปรรูปที่มีต่อค่าแรงกดแตก พนบว่าแรงกดแตกได้รับอิทธิพลจากผลรวมของตัวแปรการแปรรูปเดียวกับตัวแปรที่ส่งผลต่ออัตราการขยายตัวดังตารางที่ 5-7 ในภาคผนวก ก. อิกทั้งพบว่าค่าแรงกดแตกมีความสัมพันธ์เชิงตรงกับข้ามกับแรงหอร์ค พลังงานกลทำเพาะ และความดันที่หัวแบบ ( $p<0.01$ ) ดังตารางที่ 6 จากผลดังกล่าวแสดงให้เห็นว่าเมื่อเอกซ์ทรูเดตมีอัตราการขยายตัวสูงหรือให้ลักษณะที่มีโครงอากาศภายในโครงสร้างมากขึ้น ทำให้ค่าแรงที่ต้องการใช้กดให้เอกซ์ทรูเดตแตกมีค่าต่ำ จากราฟแสดงผลตอบสนองแบบสามมิติในภาพที่ 12 พนบว่าการเพิ่มปริมาณความชื้นวัตถุดินร่วมกับการให้อุณหภูมิบานาเรลสูงๆ มีแนวโน้มทำให้เอกซ์ทรูเดตมีความแข็งมากขึ้นดังแสดงได้จากการต้องการแรงที่ใช้ในการกดแตกมากขึ้น จากราฟที่ 13 แสดงให้เห็นว่าเมื่อความเร็วอบสกู๊ฟเพิ่มขึ้นที่อุณหภูมิบานาเรลสูงๆ ส่งผลให้ค่าแรงกดที่ทำให้เอกซ์ทรูเดตเกิดการแตกหักมีค่ามากขึ้น ซึ่งสอดคล้องกับผลงานวิจัยของ Grenus et al. (1993)

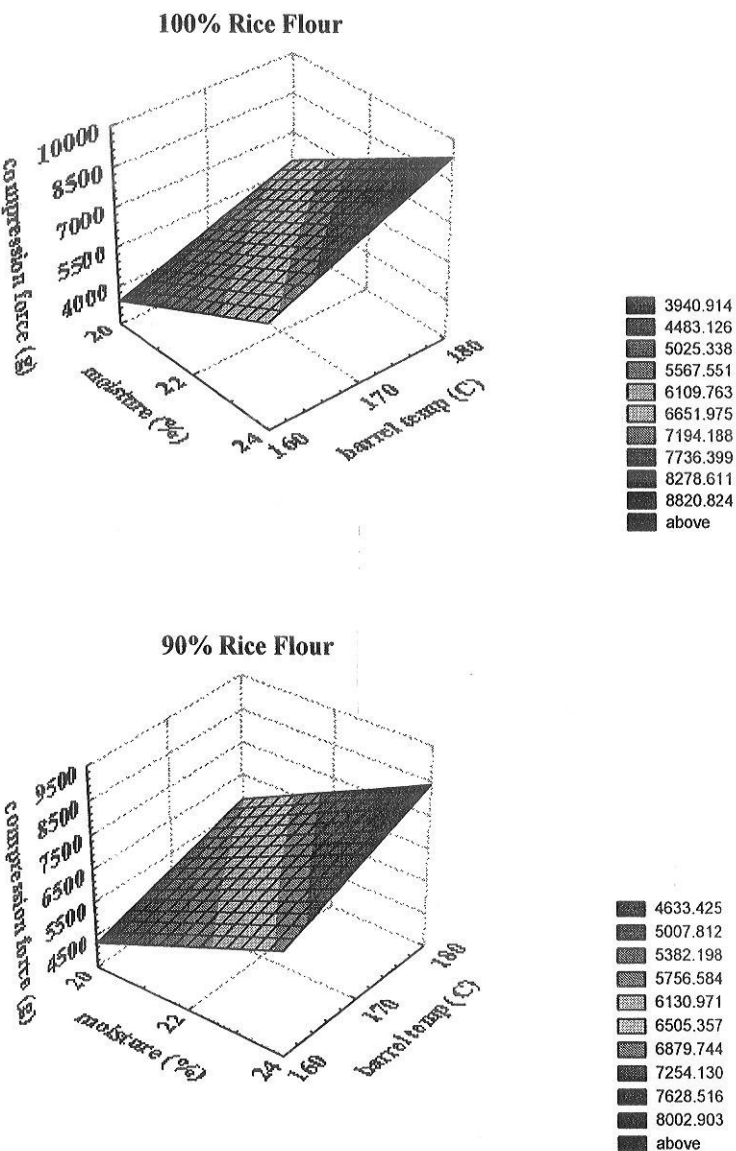
จากการที่อุณหภูมิของบานาเรลสูงขึ้นแล้วทำให้อัตราการขยายตัวต่ำลง แต่ความหนาแน่นของเอกซ์ทรูเดตลดลงนั้นเป็นผลมาจากการที่ลักษณะโครงอากาศที่เล็กและสม่ำเสมอมากขึ้น ดังนั้นมีอิทธิพลต่อความแน่นของชิ้นเอกซ์ทรูเดตในแนวรัศมี ผนังเซลล์อยู่กันอย่างใกล้ชิดขึ้นจึงทำให้แรงที่ใช้ในการกดแตกมากขึ้นด้วย การศึกษานี้สอดคล้องกับผลการวิจัยของ Lue et al. (1991) ที่พนบอกรวบรวมเป็นข้าวโพดที่มีอัตราการขยายตัวในแนวรัศมีลดลงมีความสัมพันธ์กับขนาดของโครงอากาศที่เล็กลง จากการวิเคราะห์ทางสถิติพบความสัมพันธ์ตรงข้ามระหว่างอัตราการขยายตัวกับแรงกดแตก ( $p<0.01$ ) แต่ไม่พบความสัมพันธ์ระหว่างความหนาแน่นกับแรงกดแตก



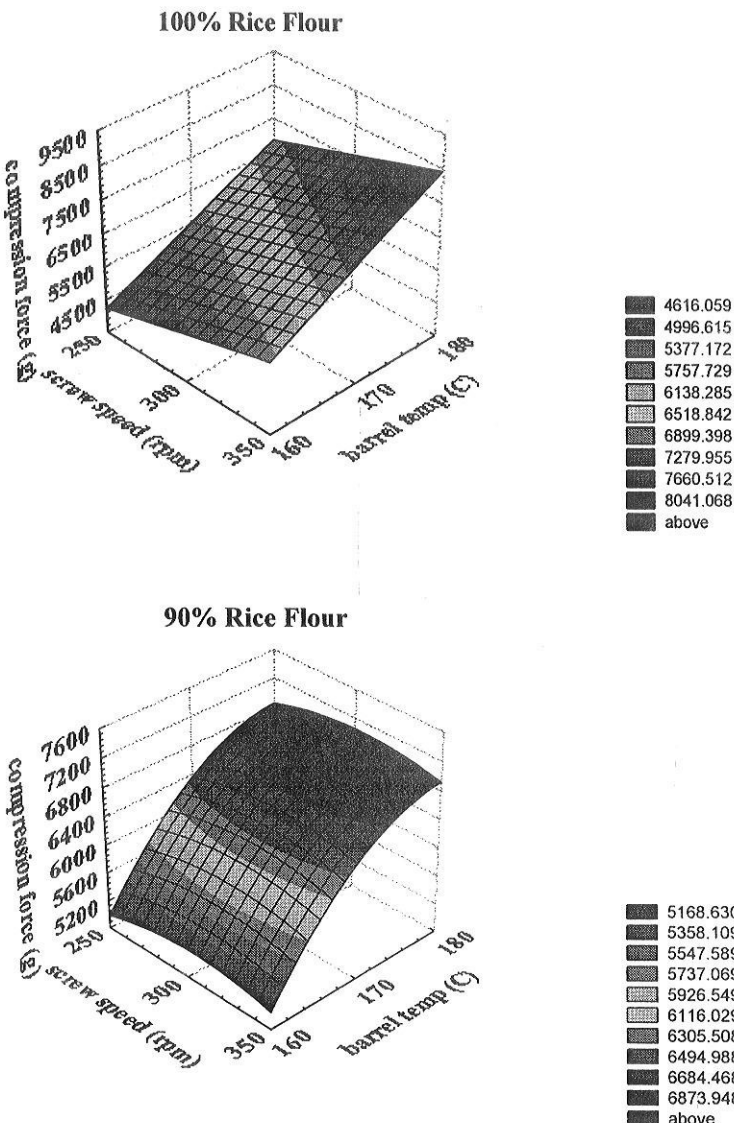
ภาพที่ 10 พื้นที่ผิวตอบสนองของความหนาแน่นที่สร้างระหว่างตัวแปรความชื้นวัตถุคิบ และความเร็วรอบสกรูในกระบวนการออกซ์ฟรูชันแบงค์ข้าว 100 เปอร์เซ็นต์ แบงค์ข้าพสมรำ ข้าวคิบ 10 และ 20 เปอร์เซ็นต์



ภาพที่ 11 พื้นที่ผิวตอบสนองของความหนาแน่นที่สร้างระหว่างตัวแปรความชื้นวัตถุคิบ และอุณหภูมินาโนในกระบวนการเอกซ์ทรูชันแบ่งข้าว 100 เมอร์เซ็นต์ แบ่งข้าวผสมรำข้าวคิบ 10 และ 20 เมอร์เซ็นต์



ภาพที่ 12 พื้นที่ผิวตอบสนองของแรงกดแตกหักที่สร้างระหว่างตัวแปรความชื้นวัตถุคิบ และอุณหภูมิ นำร่องในกระบวนการเอกสารหุ้นแบบปีงบประมาณ 100 เปอร์เซ็นต์ และปีงบประมาณรำข้าวคิบ 10 เปอร์เซ็นต์



ภาพที่ 13 พื้นที่ผิวตอบสนองของแรงกดแตกที่สร้างระหว่างตัวแปรความเร็วอบสกู๊ฟ และอุณหภูมิบนเรลในกระบวนการแยกชั้นแป้งข้าว 100 เปอร์เซ็นต์ และแป้งข้าวผสมรำข้าวคิด 10 เปอร์เซ็นต์

### 3.6 ผลของการเติมรำข้าวต่อต่อลักษณะทางกายภาพของเอกซ์ทูเรเดตข้าว

จากตารางที่ 7 พบว่าการเติมรำข้าวในระดับ 10 เบอร์เซ็นต์ ไม่ส่งผลกระทบเปลี่ยนแปลงค่าแรงทอร์ค พลังงานกลจำเพาะ อัตราการขยายตัว และแรงกดแตกอย่างมีนัยสำคัญทางสถิติ ( $p>0.05$ ) แต่พับการเปลี่ยนแปลงในทุกๆ ลักษณะที่ตรวจวัดเมื่อมีการเติมรำข้าวที่ระดับ 20 เบอร์เซ็นต์ ( $p<0.05$ ) โดยมีการลดลงของแรงทอร์คและพลังงานกลจำเพาะอย่างชัดเจนที่การเติมรำข้าว 20 เบอร์เซ็นต์ ซึ่งอาจเกิดจากผลของปริมาณไขมันที่มีอยู่สูงในวัตถุคุณเป็นข้าวผสมรำข้าว 20 เบอร์เซ็นต์ ดังผลการวิเคราะห์องค์ประกอบทางเคมีของวัตถุคุณในตารางที่ 8 โดยไขมันทำหน้าที่เป็นสารหล่อลื่นทำให้ความหนืดของโคลดลง และไขมันอาจมีผลช่วยเพิ่มประสิทธิภาพในการถ่ายเทความร้อน จึงทำให้ความต้องการพลังงานกลลดลง นอกจากนี้ปริมาณสารทาร์ซที่ลดลงมีผลไปลดความหนืดของโคลกายในบาน雷จิส์เพลทให้ค่าแรงที่ต้องการในการขับเคลื่อนสกรูของมอเตอร์ลดลง ในส่วนของปริมาณโปรตีนที่สูงขึ้นในแป้งข้าวผสมรำข้าว 20 เบอร์เซ็นต์ อนุภาคของโปรตีนอาจกระจายอยู่ในส่วนที่ต่อเนื่องของสารทาร์ซ ส่งผลไปรบกวนการเกิดปฏิกิริยาระหว่างสารทาร์ซภายในบาน雷จิส์ (Yuryev et al., 1995) ทำให้โดยที่เกิดลักษณะคล้ายพลาสติกมีความหนืดลดลง แรงทอร์คจึงลดลงด้วย ซึ่งมีความสอดคล้องกับผลการวิจัยของ Mohamed (1990) ที่พับการลดลงของค่าแรงทอร์คเมื่อเติมโปรตีนถ่วงเหลืองลงในแป้งข้าวโพด 0-25 เบอร์เซ็นต์ สำหรับค่าความดันที่หัวแบบพบว่ามีการลดลงอย่างรวดเร็วเมื่อมีการเติมรำข้าว ทั้งนี้อาจเนื่องมาจากการลดลงของปริมาณไขมันส่งผลไปหล่อลื่นบาน雷จิส์ทำให้โดยเกิดการลื่นไหกและเคลื่อนที่ได้สะดวกขึ้น ทำให้การสะสมของโคลบริเวณทางออกของเครื่องต่ำลง ดังนั้นค่าความดันที่หัวแบบจึงลดลงมากเมื่อเริ่มมีการเติมรำข้าว

ผลการเปรียบเทียบลักษณะทางกายภาพของเอกซ์ทูเรเดตพบว่า อัตราการขยายตัวของลดลงและแรงกดแตกมีค่าเพิ่มขึ้นอย่างมีนัยสำคัญ ( $p<0.05$ ) เมื่อมีการเติมรำข้าวที่ระดับ 20 เบอร์เซ็นต์ ซึ่งมีความสอดคล้องกับการลดลงของอัตราการขยายตัวของเอกซ์ทูเรเดตเมื่อมีการเติมไขอาหารจากข้าวโอ๊ตและข้าวสาลีสูงถึง 30 เบอร์เซ็นต์ (Hsieh et al., 1989) ซึ่งอาจเนื่องมาจากการลดลงของเปลี่ยนแปลงองค์ประกอบทางเคมี โดยเฉพาะในส่วนของปริมาณโปรตีนและไขมันซึ่งมีอยู่สูงในรำข้าว ซึ่งการเพิ่มขึ้นของปริมาณโปรตีนจะส่งผลให้ผลิตภัณฑ์มีการพองตัวต่ำลง เพราะโปรตีนมีความสามารถในการพองตัวได้ไม่เหมือนกับสารทาร์ซ ดังมีความสอดคล้องกับผลงานวิจัยของ Bhattacharya et al. (1997) ที่มีการเติมถั่ว (chick pea) ซึ่งมีปริมาณโปรตีนและไขมันสูงในการผลิตขนมขบเคี้ยวจากแป้งข้าวเจ้า ส่งผลให้การขยายตัวลดลงและแรงกดแตกสูงขึ้น และจากงานวิจัยในครั้งนี้พบว่าการเติมรำข้าวที่ระดับ 20 เบอร์เซ็นต์ จะให้ผลิตภัณฑ์ที่มีความหนาแน่นสูงที่สุด อย่างไรก็ตามจะสังเกตได้ว่าเอกซ์ทูเรเดตที่เติมรำข้าวคิด 10 เบอร์เซ็นต์ มีความหนาแน่นต่ำ

ที่สุด ซึ่งผลของค่าความหนาแน่นนี้ไม่สอดคล้องกับอัตราการขยายตัว แต่สามารถอธิบายผลที่เกิดขึ้นนี้ได้จากการที่อัตราการขยายตัวของเอกซ์ทรูเดตเปลี่ยนจาก 100 เปอร์เซ็นต์ กับเอกซ์ทรูเดตจากเปลี่ยนร้าวสมรำข้าวคิด 10 เปอร์เซ็นต์ มีค่าไกล์เคลิงกันแต่ค่าความหนาแน่นแตกต่างกันเนื่องจากการเติมร้าวอาจทำให้มีการขยายตัวในทางยาวมากกว่า ซึ่งสอดคล้องกับงานวิจัยของ Lue et al. (1991) ที่มีการขยายตัวทางยาวของเอกซ์ทรูเดตเปลี่ยนร้าวโดยมากขึ้นเมื่อมีการเติมไขอาหารจากหัวบีท จึงมีผลให้ค่าความหนาแน่นที่ต่ำกว่าได้

**ตารางที่ 7 การเปรียบเทียบค่าเฉลี่ยของตัวแปรตามการแปรรูปกับลักษณะทางกายภาพของเอกซ์ทรูเดตเปลี่ยนร้าว 100 เปอร์เซ็นต์ เปลี่ยนร้าวสมรำข้าวคิด 10 และ 20 เปอร์เซ็นต์**

| rice bran level | torque (%)            | SME (kJ/kg) | die pressure (psi) | Expansion ratio | compression force (g) | Density (g/cm <sup>3</sup> ) |
|-----------------|-----------------------|-------------|--------------------|-----------------|-----------------------|------------------------------|
| 0%              | 75.50a <sup>(1)</sup> | 316.31a     | 239.67a            | 2.85a           | 6283.70b              | 0.053b                       |
| 10%             | 77.17a                | 322.52a     | 186.33b            | 2.78a           | 6242.37b              | 0.049c                       |
| 20%             | 66.30b                | 277.39b     | 176.33b            | 2.03b           | 10042.77a             | 0.056a                       |

<sup>(1)</sup> ตัวอักษรที่ต่างกันตามแนวตั้งหมายถึงมีความแตกต่างอย่างมีนัยสำคัญทางสถิติ ( $p<0.05$ )

**ตารางที่ 8 องค์ประกอบทางเคมีของเปลี่ยนร้าวและร้าว**

| Chemical compositions | rice flour (%) | rice bran (%) |
|-----------------------|----------------|---------------|
| protein               | 6.39           | 15.87         |
| fat                   | 0.31           | 19.86         |
| ash                   | 0.30           | 9.21          |
| starch                | 88.75          | 12.67         |
| amylose               | 16.95          | -             |

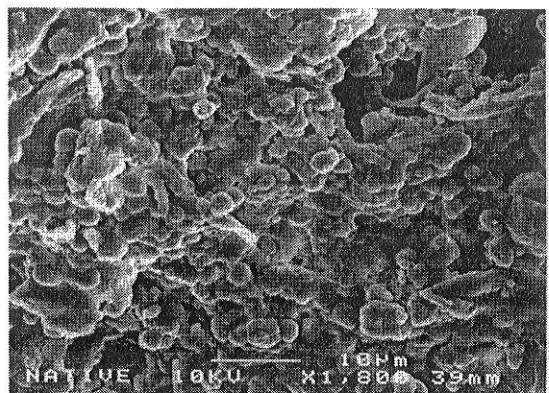
### 3.7 ผลการใช้ด่างต่อการเปลี่ยนแปลงโครงสร้างของร้าว

ผลการศึกษาโครงสร้างภายในของร้าวคิดและร้าวที่ใช้ด่างด้วยกล้องจุลทรรศน์อิเลคตรอนแสดงดังภาพที่ 14 พบว่าโครงสร้างของร้าวคิดในภาพที่ 14 (a) มีลักษณะแน่นและตัน โดยมีสารประกอบต่างๆ เคลือบที่ผิวน้ำของชิ้นร้าว ในขณะที่โครงสร้างของร้าวที่ใช้ด่างในภาพที่ 14 (b-f) เกิดการเปลี่ยนแปลงที่ผิวน้ำของโครงสร้างมีอิทธิพลเทียบกับร้าวคิด โดยร้าวที่ใช้ด่างมีลักษณะโครงสร้างที่เปิดตัวมาก เนื่องจากสารประกอบต่างๆ ที่เคลือบอยู่ถูกกำจัดออกไป จึงทำให้เป็นรูพรุนสูงขึ้น การใช้ด่างกับร้าวเป็นเวลานานขึ้นตั้งแต่ 1-16 ชั่วโมง ร่วมกับการใช้ความร้อนที่ 90 องศาเซลเซียส ทำให้ชิ้นส่วนของโครงสร้างร้าวเกิดการแตกหักมากขึ้น ส่วนร้าวที่

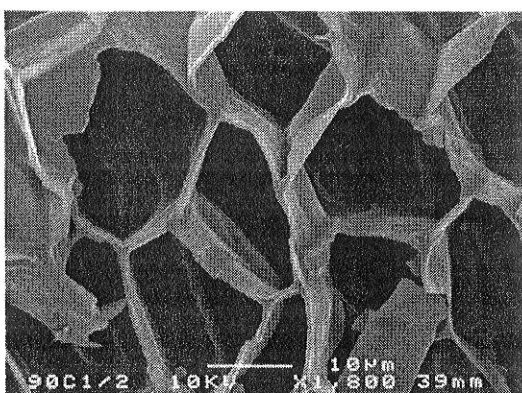
ผ่านการใช้ค่างด้วยอุณหภูมิห้องเป็นเวลา 16 ชั่วโมงในภาพที่ 14 (f) นั้นพบว่าลักษณะโครงสร้างของอาหารเปลี่ยนแปลงไปจากการร้าขาวดินบางส่วน โดยยังคงมีลักษณะผิวน้ำที่ปิดตัวกล้ายกับร้าขาวดิน มีผิวน้ำเรียบสม่ำเสมอ และแผ่นกว่าเมื่อเปรียบเทียบกับร้าขาวที่ใช้ค่างร่วมกับการใช้ความร้อน

จากการศึกษาผลของการให้ความร้อน และระยะเวลาของกระบวนการใช้ค่างกับร้าขาวที่มีต่อความสามารถในการอุ้มน้ำของร้าขาว (water-holding capacity) แสดงดังตารางที่ 9 พบว่าค่าความสามารถในการอุ้มน้ำของร้าขาวที่ใช้ค่างสูงขึ้นในทุกสภาพการทดลองเมื่อเปรียบเทียบกับร้าขาวดิน ( $p<0.05$ ) สภาวะการใช้ค่างร่วมกับการใช้อุณหภูมิสูง 90 องศาเซลเซียส ส่งผลให้ค่าความสามารถในการอุ้มน้ำเพิ่มขึ้นมากกว่าการใช้ค่างที่อุณหภูมิห้อง ในขณะที่ระยะเวลาในการใช้ค่างที่ 90 องศาเซลเซียส ตั้งแต่ 1-16 ชั่วโมง ส่งผลต่อค่าความสามารถในการอุ้มน้ำต่อหนึ่งชั่วโมง ( $p>0.05$ ) ผลค่าความสามารถในการอุ้มน้ำของร้าขาวมีความสอดคล้องกับระดับความเป็นรูพรุนของโครงสร้างร้าขาว โดยร้าขาวดินที่มีลักษณะของความแน่นและไม่มีโครงสร้างเปิดในภาพที่ 14 (a) มีความสามารถในการอุ้มน้ำต่ำ เมื่อโครงสร้างมีการเปิดตัวและเป็นรูพรุนสูงขึ้นหลังจากการใช้ค่างในภาพที่ 14 (b-e) ทำให้น้ำผ่านเข้าไปในโครงร่างของอาหารได้ง่ายและสะดวก ดังนั้นร้าขาวที่ใช้ค่างจึงมีความสามารถในการอุ้มน้ำสูงขึ้น Ning et al. (1991) กล่าวว่าค่างมีผลทำให้โครงสร้างเซลลูโลสของอาหารเกิดการบวม และมีความยืดหยุ่นสูงขึ้น อีกทั้งองค์ประกอบของเอนิเซลลูโลส เช่น แมนเนน สามารถละลายตัวออกจากโครงสร้างโดยเฉพาะที่อุณหภูมิสูงๆ ผลงานวิจัยของ Larrea et al. (1997) พบว่าค่างมีความสามารถที่จะละลายเอาส่วนของเอนิเซลลูโลสออกจากแกลน์ได้ โดยพบว่าแกลน์มีปริมาณของเอนิเซลลูโลสลดลงหลังจากการใช้ค่าง ส่วนลิกนินและซิลิกาซึ่งเป็นองค์ประกอบที่ให้ความแข็งแรงแก่ผนังเซลล์ก็ลดลงด้วย นอกจากนี้ผลจากศึกษาความเป็นผลึกคั่วยรังสีเอกซ์ (X-ray crystallography) แสดงให้เห็นถึงลักษณะความเป็นระเบียบของบริเวณผลึก (crystallinity) ของเซลลูโลสลดลงเล็กน้อยเมื่อเปรียบเทียบกับอาหารก่อนใช้ค่าง ดังนั้นเมื่อร่างแท้ที่มีความเป็นระเบียบสูงของเซลลูโลสถูกทำลาย จึงทำให้ความเป็นอัตโนมัติเพิ่มขึ้น ส่งผลให้กลูโคสบริเวณนี้อุ้มน้ำได้มากขึ้น ไขอาหารที่ผ่านการใช้ค่างจึงมีการดูดซึมน้ำและเกิดการบวมของโครงสร้างมากขึ้น

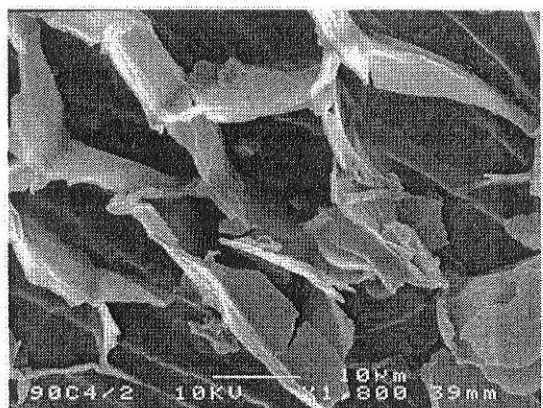
ดังนั้นจากผลการทดลองดังกล่าวจึงได้เลือกสภาพการใช้ค่างกับร้าขาวด้วยการใช้อุณหภูมิสูง 90 องศาเซลเซียส โดยใช้ระยะเวลา 1 ชั่วโมง เนื่องจากสภาพการดังกล่าวไขอาหารที่ใช้ค่างมีค่าความสามารถในการอุ้มน้ำสูงกว่าร้าขาวก่อนการใช้ค่าง และที่สภาวะการใช้ค่างที่อุณหภูมิห้องอย่างมีนัยสำคัญ ( $p<0.05$ ) แต่ระยะเวลาในการใช้ค่างที่อุณหภูมิสูงไม่มีผลต่อการเพิ่มขึ้นของค่าความสามารถในการอุ้มน้ำของร้าขาวอย่างมีนัยสำคัญ ( $p>0.05$ ) ดังนั้นจึงเลือกใช้ระยะเวลาของกระบวนการใช้ค่างที่น้อยที่สุด



(a)



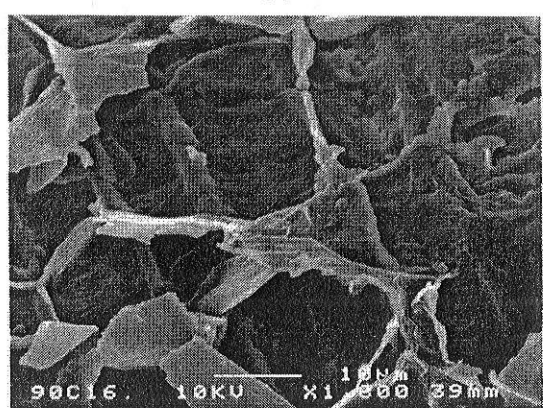
(b)



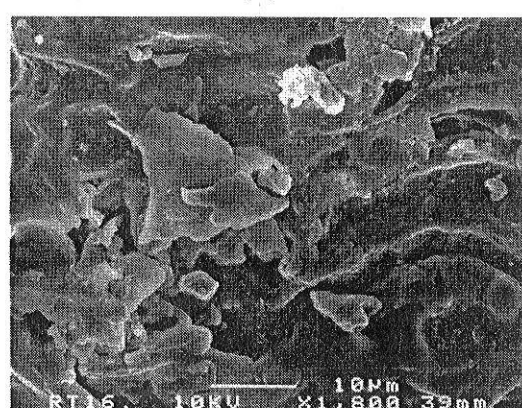
(c)



(d)



(e)



(f)

**ภาพที่ 14** ภาพโศกวงสำร่างรำข้าวจากกล้องจุลทรรศน์อิเลคตรอนที่กำลังขยาย 1800 เท่า: (a) รำข้าว ดิน, (b) รำข้าวที่ผ่านการใช้ด่างที่อุณหภูมิ 90 องศาเซลเซียส ระยะเวลา 1 ชั่วโมง, (c) รำข้าวที่ผ่านการใช้ด่างที่อุณหภูมิ 90 องศาเซลเซียส ระยะเวลา 4 ชั่วโมง, (d) รำข้าวที่ผ่านการใช้ด่างที่อุณหภูมิ 90 องศาเซลเซียส ระยะเวลา 8 ชั่วโมง, (e) รำข้าวที่ผ่านการใช้ด่างที่อุณหภูมิ 90 องศาเซลเซียส ระยะเวลา 16 ชั่วโมง และ (f) ข้าวที่ผ่านการใช้ด่างที่อุณหภูมิห้อง ระยะเวลา 16 ชั่วโมง

ผลจากการวิเคราะห์องค์ประกอบทางเคมีของรำข้าวคินและรำข้าวที่ผ่านการใช้ด่างที่สภาวะการให้ความร้อนอุณหภูมิ 90 องศาเซลเซียส เป็นเวลา 1 ชั่วโมง แสดงดังตารางที่ 10 พบว่ารำข้าวหลังผ่านการใช้ด่างมีองค์ประกอบทางเคมีทั้งปูริมาณ โปรตีน ไขมัน เต้า และสตาร์ชลดลง ( $p<0.01$ ) Larrea et al. (1997) กล่าวว่าองค์ประกอบทางเคมีดังกล่าวมีปูริมาณลดลงเนื่องจากกระบวนการล้างโดยโปรตีนและสตาร์ชบางส่วนถูกกำจัดออกไปในรูปของส่วนที่ละลายน้ำได้ ส่วนของไขมันที่ทำปฏิกิริยากับด่าง (saponified fatty acid) จะถูกกำจัดออกในขั้นตอนของการล้าง ส่วนปูริมาณในอาหารที่พบว่ามีปูริมาณสูงขึ้นหลังการใช้ด่างมีผลมาจาก การลดลงขององค์ประกอบอื่นๆ ในรำข้าวสัดส่วนของไขอาหารที่ละลายได้ของรำข้าวคินคิดเป็น 8.18 เปอร์เซ็นต์ ภายหลังการใช้ด่างพบว่าไขอาหารที่ละลายได้มีปูริมาณลดลงโดยคิดเป็นปูริมาณ 7.42 เปอร์เซ็นต์

ตารางที่ 9 ผลของการใช้อุณหภูมิและระยะเวลาต่อค่าความสามารถในการอุ้มน้ำของรำข้าว

| Treatment                                | water-holding capacity<br>(ml water/g sample) |
|--|---|
| native rice bran                         | 2.250 c <sup>(1)</sup>                        |
| treated at 90°C, for 1 hr.               | 7.355 a                                       |
| treated at 90°C, for 4 hrs               | 7.675 a                                       |
| treated at 90°C, for 8 hrs.              | 7.455 a                                       |
| treated at 90°C, for 16 hrs              | 7.780 a                                       |
| treated at room temperature, for 16 hrs. | 5.315 b                                       |

<sup>(1)</sup> ตัวอักษรที่ต่างกันตามแนวตั้งหมายถึงมีความแตกต่างอย่างมีนัยสำคัญทางสถิติ ( $p<0.05$ )

ตารางที่ 10 องค์ประกอบทางเคมีของรำข้าวคินและรำข้าวที่ใช้ด่างที่อุณหภูมิ 90 องศาเซลเซียส ระยะเวลา 1 ชั่วโมง

| components        | rice bran              |                  |
|-------------------|------------------------|------------------|
|                   | raw                    | alkaline-treated |
| protein (%)       | 16.00 a <sup>(1)</sup> | 11.65 b          |
| fat (%)           | 22.82 a                | 11.98 b          |
| ash (%)           | 9.20 a                 | 2.80 b           |
| dietary fiber (%) | 27.99 b                | 65.61 a          |
| - soluble         | 2.29                   | 4.87             |
| - insoluble       | 25.70                  | 60.74            |
| starch (%)        | 12.67 a                | 7.83 b           |

<sup>(2)</sup> ตัวอักษรที่ต่างกันตามแนวโน้มหมายถึงมีความแตกต่างอย่างมีนัยสำคัญทางสถิติ ( $p<0.01$ )

### 3.8 ผลการศึกษาสภาวะการแปรรูปต่อตัวแปรตามการแปรรูปจากกระบวนการเอกซ์ทรูชัน

เมื่อนำค่า coefficients จากตารางที่ 3 ในภาคผนวก ค. มาสร้างกราฟแสดงผลตอบสนองด้านแรงทอร์คแบบสามมิติซึ่งแสดงดังภาพที่ 15 พบร้าความชื้นของวัตถุดินพสมระหัวงเป็นข้าวกับรำข้าวคิบ และความเร็วรอบสกรูส่งผลสำคัญต่อแรงทอร์ค สภาวะการแปรรูปที่ความชื้นวัตถุดิน 20 เปอร์เซ็นต์ และความเร็วรอบสกรู 250 รอบต่อนาที ทำให้เครื่องเอกซ์ทรูเดอร์ทำงานด้วยกำลังขับเคลื่อนสูงสุดเท่านี้เดียวกับวัตถุดินพสมระหัวงเป็นข้าวกับรำข้าวที่ใช้ด่างแสดงดังภาพที่ 16 (a) และในภาพที่ 16 (b) พบร้าอุณหภูมิของนาโนแล็ปเข้ามาเมินบทบาทต่อแรงทอร์ค โดยเมื่ออุณหภูมินาโนแล็ป ต่ำลงทำให้แรงทอร์คไม่ค่าสูงสุด

จากผลดังกล่าวแสดงให้เห็นว่าแม้รำข้าวจะมีสมบัติด้าน

องค์ประกอบทางเคมีและโครงสร้างเปลี่ยนไป

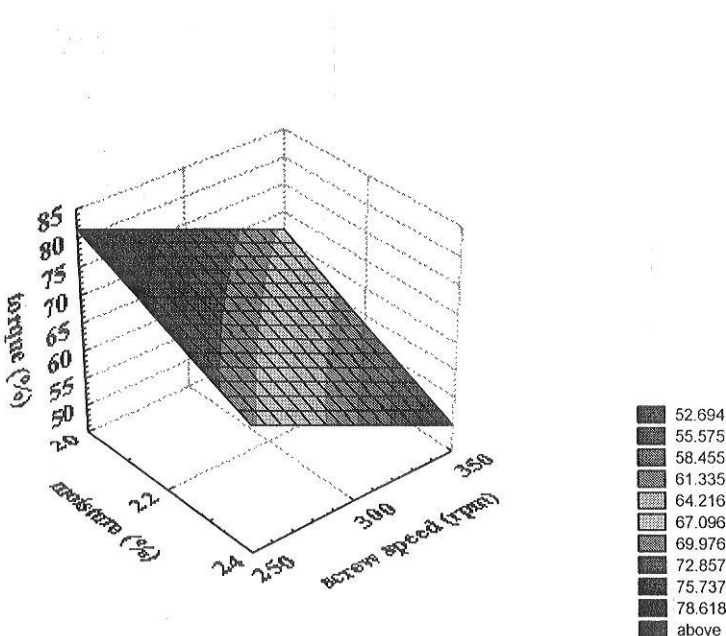
ก็ไม่ได้ส่งผลต่อการเปลี่ยนแปลงแนวโน้มของ

ผลตอบสนองด้านแรงทอร์คอันเนื่องจากการเปลี่ยนแปลงสภาวะการแปรรูป Harper (1981) และ Garber et al. (1997) รายงานว่าความหนืดของโอดที่อยู่ในร่องเกลียวสกรูบาริเวลหัวแบบมีความสัมพันธ์โดยตรงกับค่าแรงทอร์ค จากผลการทดลองในครั้งนี้พบว่าแรงทอร์คเฉลี่ยของวัตถุดินพสมรำข้าวที่ใช้ด่างมีค่าสูงกว่าวัตถุดินพสมรำข้าวคิบเพียงเล็กน้อย โดยไม่มีความแตกต่างกันทางสถิติ ( $p>0.05$ ) แสดงได้ดังตารางที่ 11 ผลดังกล่าวเนื่องมาจากการใช้ด่างกับรำข้าวทำให้ปริมาณไขมันลดลง ( $p<0.01$ ) ทำให้โอดของเป็นข้าวพสมรำข้าวที่ใช้ด่างมีความหนืดสูงขึ้น และผลการเป็นสารหล่อลื่นของไขมันมีปริมาณลดลง ส่งผลให้ค่าแรงทอร์คสูงขึ้น อีกเหตุผลหนึ่งน่าจะมาจากการที่เป็นข้าวพสมรำข้าวที่ใช้ด่าง 20 เปอร์เซ็นต์ มีความสามารถในการอุ้มน้ำสูงกว่าเป็นข้าวพสมรำข้าวคิบ ดังนั้นมีอิรำข้าวที่ใช้ด่างดูดน้ำเข้าไว้ในโครงสร้างได้มากกว่า จึงเหลือน้ำอิสระที่จะเข้าทำปฏิกิริยากับสารชนน้อยกว่า จึงทำให้ความหนืดของโอดมีค่าสูง ดังนั้นจึงทำให้การเอกซ์ทรูดเป็นข้าวพสมรำข้าวที่ใช้ด่างต้องการแรงที่ใช้ขับเคลื่อนมากกว่า อายุไรอกีตามพบร้าแรงทอร์คของ การเอกซ์ทรูดเป็นข้าวพสมรำข้าวที่ใช้ด่างมีค่าต่ำกว่าการเอกซ์ทรูดเป็นข้าว 100 เปอร์เซ็นต์ ( $p<0.05$ ) โดยมีสาเหตุมาจากแรงที่เป็นข้าว 100 เปอร์เซ็นต์ มีสัดส่วนของสารซึ่งสูงกว่าวัตถุดินที่มีปริมาณเป็นข้าว 80 เปอร์เซ็นต์ ดังนั้นโอดที่เกิดขึ้นภายในบาร์จะหัวงกระบวนการเอกซ์ทรูชันจึงมีความหนืดสูงกว่าด้วย

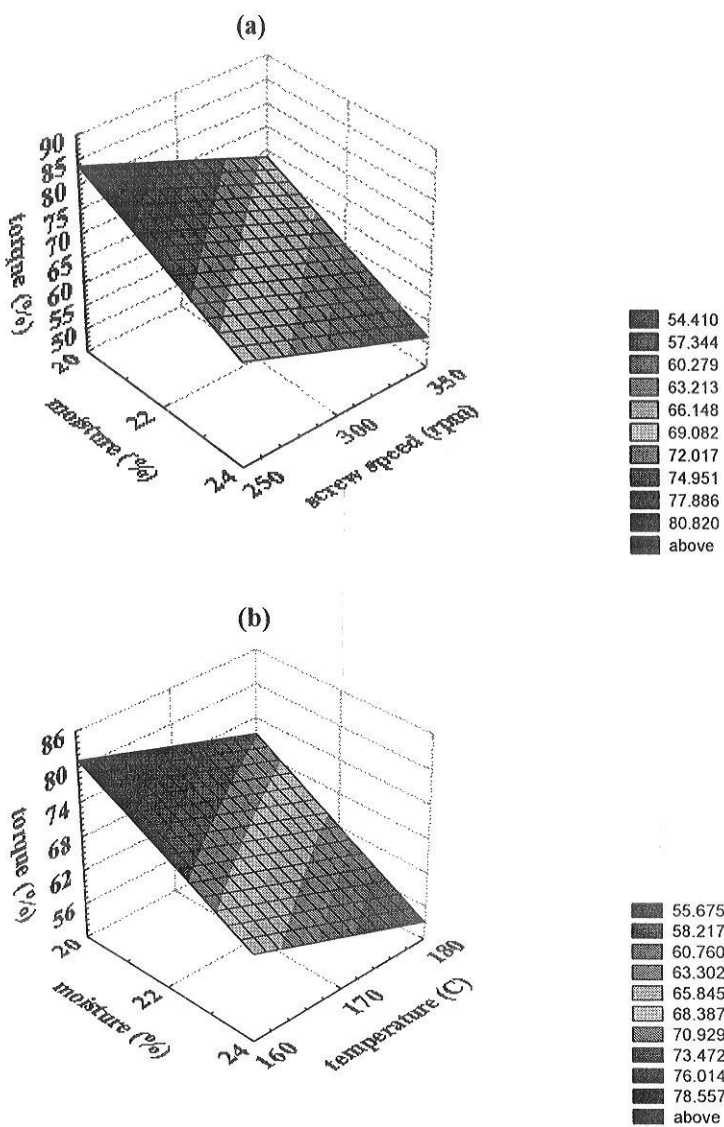
**ตารางที่ 11 การเปรียบเทียบค่าเฉลี่ยของตัวแปรตามการแปรรูปและลักษณะทางกายภาพของເອກຫຼາ  
ທຽບແປ່ງຂ້າວຜສນໍາຂ້າວດົບກັບແປ່ງຂ້າວຜສນໍາຂ້າວທີ່ໃຊ້ດ່າງ 20 ເປື່ອເຊື່ອຕໍ່**

| parameters and characteristics     | rice bran added        |                           |
|------------------------------------|------------------------|---------------------------|
|                                    | 20% native bran        | 20% alkaline-treated bran |
| torque (%)                         | 66.30 a <sup>(1)</sup> | 67.70 a                   |
| specific energy (kJ/kg)            | 277.08 a               | 287.72 a                  |
| die pressure (psi)                 | 174.33 b               | 209.67 a                  |
| expansion ratio                    | 2.03 b                 | 2.47 a                    |
| piece density (g/cm <sup>3</sup> ) | 0.0564 a               | 0.0558 a                  |
| compression force (g)              | 10043.2 a              | 8750.0 a                  |

<sup>(1)</sup> ຕ້າວອັກມະທີ່ຕ່າງກັນຕາມແນວນອນໝາຍດຶງມີຄວາມແຕກຕ່າງອ່າຍມີນັບສຳຄັງທາງສົດຕິ ( $p < 0.05$ ).

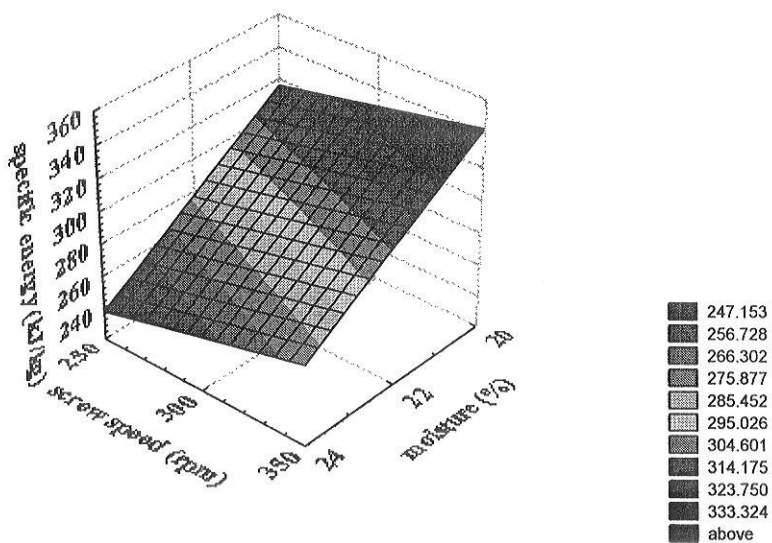


**ກາພີ່ 15 ພື້ນທີ່ຜົວຕອບສັນອອງແຮງທອຣັກທີ່ສ່ຽງຮະຫວ່າງຕົວແປ່ງຄວາມຈິ້ນວັດຖຸດົບກັບຄວາມເຮົວ  
ຮອບສກຽນໃນກະບວນກາເອກຫຼາທຽບແປ່ງຂ້າວຜສນໍາຂ້າວດົບ 20 ເປື່ອເຊື່ອຕໍ່**

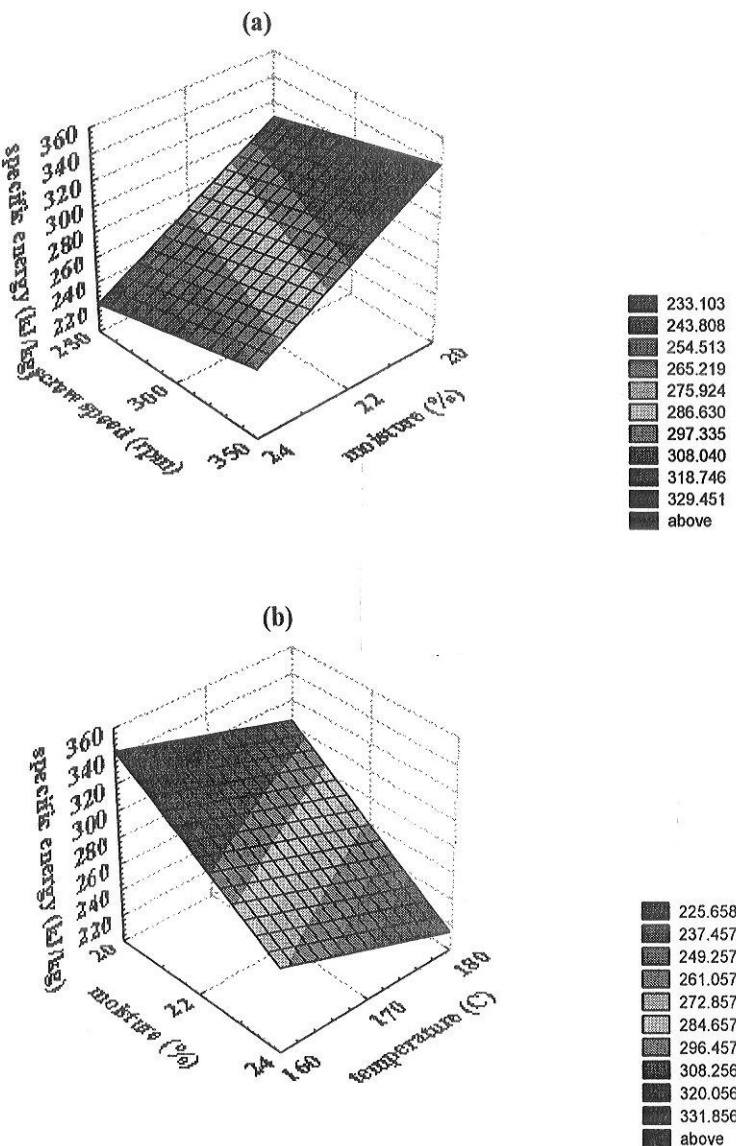


ภาพที่ 16 พื้นที่ผิวตอบสนองของแรงทอร์คในกระบวนการเอกซ์ทรูชันแบ่งข้าวผสานรำข้าวที่ใช้ด่าง 20 เปอร์เซ็นต์ที่สร้างระหว่างตัวแปรความชื้นวัตถุคิดกับความเร็วรอบสกรู และที่สร้างระหว่างตัวแปรความชื้นวัตถุคิดกับอุณหภูมิบาร์ล

เมื่อศึกษาผลจากสภาวะการแปรรูปต่อพลังงานกลจำเพาะ พบร่วมกับความชื้นวัตถุดินและความเร็วของสกอร์สูงผลสำคัญต่อค่าพลังงานกลจำเพาะสำหรับวัตถุดินเป็นข้าวผสมรำข้าวดังภาพที่ 17 เมื่อวัตถุดินมีความชื้นต่ำร่วมกับการแปรรูปด้วยความเร็วของสกอร์สูงๆ ทำให้ค่าพลังงานกลจำเพาะสูงขึ้น ซึ่งผลดังกล่าวมีความสอดคล้องกับผลจากการเอกซ์ทรูดเป็นข้าวผสมรำข้าวที่ใช้ด่างแสดงดังภาพที่ 18 (a) ผลจากการวิเคราะห์สมการดัดโดยในตารางที่ 4 ในภาคผนวก ค. พบร่วมเมื่อรำข้าวมีสมบัติเปลี่ยนไปทำให้ตัวแปรด้านอุณหภูมิบาร์เลเซ้ามีบทบาทต่อพลังงานกลจำเพาะ ซึ่งให้ผลเช่นเดียวกันต่อค่าแรงทอร์ค เมื่ออุณหภูมิบาร์เลต่ำลงในขณะที่ความชื้นของวัตถุดินต่ำๆ ส่งผลให้มีความต้องการพลังงานกลจำเพาะสูงขึ้นดังภาพที่ 18 (b) ซึ่งมีความสอดคล้องกับผลการวิจัยของ Guha et al. (1997) จากการเปรียบเทียบค่าเฉลี่ยของค่าพลังงานกลจำเพาะในตารางที่ 11 พบร่วมการเติมรำข้าวที่ใช้ด่างส่งผลให้พลังงานกลจำเพาะมีค่าสูงขึ้นเล็กน้อยเมื่อเปรียบเทียบกับการเติมรำข้าวดิบโดยไม่แทรกต่างกันทางสถิติ ( $p>0.05$ ) เนื่องจากผลของการเปลี่ยนแปลงองค์ประกอบทางเคมีดังที่ได้กล่าวมาแล้ว คือเมื่อรำข้าวผ่านการใช้ด่างทำให้ปริมาณไนโตรเจนและโปรตีนลดลง ทำให้โดมีความหนืดสูงขึ้น อีกทั้งเมื่อวัตถุดินมีปริมาณไขอาหารสูงขึ้นทำให้พลังงานกลจำเพาะที่ต้องป้อนให้แก่วัตถุดินมีค่าสูงขึ้นเพื่อทำให้เกิดการสูญ

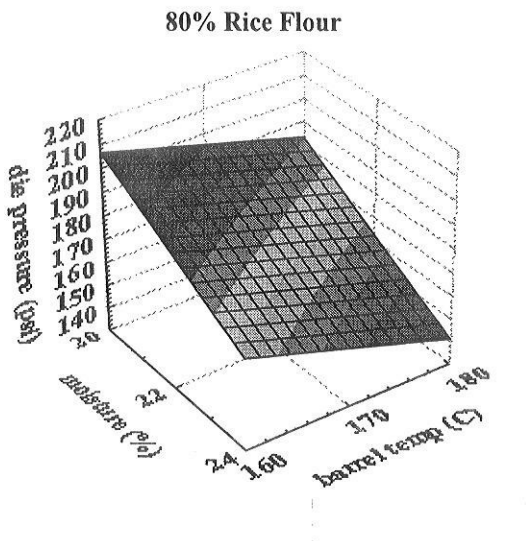


ภาพที่ 17 พื้นที่ผิวตอบสนองของพลังงานกลจำเพาะที่สร้างระหว่างตัวแปรความชื้นวัตถุดินกับความเร็วของสกอร์ในกระบวนการเอกซ์ทรูดเป็นข้าวผสมรำข้าวคิบ 20 เมอร์เซ็นต์

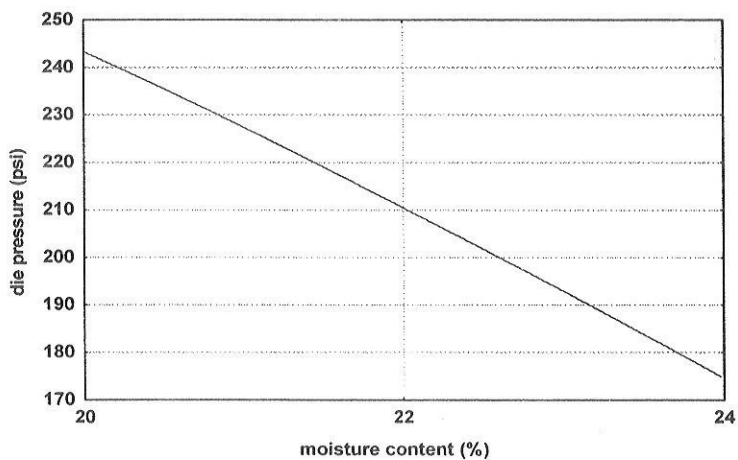


ภาพที่ 18 พื้นที่ผิวตอบสนองของพัลส์งานกล้ำเพาะในกระบวนการเอกซ์ทรูชันเป็นข้าวผสมรำข้าวที่ใช้ค่าง 20 เบอร์เซ็นต์ ที่สร้างระหว่างตัวแปรความชื้นวัตถุดินกับความเร็วอบสกู๊ฟ และที่สร้างระหว่างตัวแปรความชื้นวัตถุดินกับอุณหภูมินาเบล

ในส่วนของสภาวะการแปรรูปที่มีผลต่อความดันที่หัวแบบวัดอุตุนิยมวิทยาเรลส์ต่อกำลังความดันที่หัวแบบ (p<0.01) ดังตารางที่ 3 ในภาคผนวก ค. และสามารถแสดงกราฟผลตอบสนองแบบสามมิติได้ดังภาพที่ 19 พบว่าเมื่อดำเนินการแปรรูปด้วยสภาวะความชื้นวัดอุตุนิยมวิทยาเรลต่ำ ส่งผลให้ความดันที่หัวแบบมีค่าสูงสุด แต่สำหรับการเอกซ์ทรูดเปลี่ยนรูปแบบร้าวที่ใช้ด่างพบว่าตัวแปรการแปรรูปที่ส่งผลสำคัญมากต่อการเปลี่ยนแปลงความดันที่หัวแบบคือ ปริมาณความชื้นวัดอุตุนิยมวิทยาในเชิงกำลังสอง (p<0.01) จากกราฟแสดงผลความชื้นวัดอุตุนิยมที่มีค่าความดันที่หัวแบบในภาพที่ 20 แสดงให้เห็นว่า เมื่อวัดอุตุนิยมปริมาณความชื้นสูงขึ้นทำให้ค่าความดันที่หัวแบบลดลง ซึ่งผลดังกล่าวมีความสอดคล้องกับงานวิจัยของ Hsieh et al. (1993) และ Garber et al. (1997) จากการทดลองในครั้งนี้สังเกตได้ว่าร้าวหลังผ่านการใช้ด่างแล้วมีความสามารถในการอุ่มน้ำสูงขึ้น มีผลทำให้สภาวะการแปรรูปด้านปริมาณความชื้นและอุณหภูมิบานเรลเข้ามามีบทบาทอย่างมากต่อแรงทอร์ค พลังงานกลจำเพาะ และความดันที่หัวแบบ อาจเนื่องมาจากผลการเพิ่มขึ้นของความสามารถในการอุ่มน้ำไปส่งผลที่สำคัญต่อการเปลี่ยนแปลงความหนืดของ โดยอาจทำให้ความหนืดมีค่าสูงขึ้น ดังนั้นมีการเติมร้าวที่ใช้ด่างจึงทำให้ตัวแปรตามการแปรรูปเหล่านี้มีค่าสูงขึ้น การเปรียบเทียบค่าเฉลี่ยของความดันที่หัวแบบแสดงดังตารางที่ 11 พบว่าการเติมร้าวที่ใช้ด่างแทนร้าวเดิมทำให้ความดันที่หัวแบบมีค่าเพิ่มขึ้นอย่างชัดเจน (p<0.05) ผลที่เกิดขึ้นอาจมาจากการปะกอบทางเคมีของร้าวแตกต่างกัน ในส่วนของปริมาณไขมันที่ลดลงในร้าวที่ใช้ด่าง (p<0.01) ทำให้สารหล่อลื่นภายในบานเรลมีปริมาณลดลง และคาดว่าช่วยลดลดความลื่น ไอลของ โดยภายในบานเรล โดยจึงเกิดการสะสมบริเวณทางออกของเครื่องเป็นสาเหตุที่ทำให้ความดันที่หัวแบบมีค่าสูงขึ้น ซึ่งผลการเป็นสารหล่อลื่นของไขมันมีความสอดคล้องกับการวิจัยของ Ilo et al. (1999) นอกจากนี้ผลจากการที่โปรตีนไปรบกวนการเกิดปฏิกิริยาของสตารชในระหว่างการเกิดลักษณะที่คล้ายพลาสติกของโดย (Mohamed, 1990) ทำให้การเอกซ์ทรูดเปลี่ยนรูปแบบร้าวที่มีปริมาณโปรตีนสูงกว่ามีค่าความดันที่หัวแบบต่ำกว่าการเอกซ์ทรูดเปลี่ยนรูปแบบร้าวที่ใช้ด่าง



**ภาพที่ 19** พื้นที่ผิวตอบสนองของความดันที่หัวแบบในกระบวนการเอกซ์ทรูชันเป็นข้าวสมรำข้าวดิน 20 เปอร์เซ็นต์ ที่สร้างระหว่างตัวแปรความชื้นวัตถุคับกับอุณหภูมิของบาร์ล



**ภาพที่ 20** กราฟเส้นแสดงความสัมพันธ์ระหว่างความชื้นของแป้งข้าวสมรำข้าวที่ใช้ด่าง 20 เปอร์เซ็นต์ กับความดันที่หัวแบบ

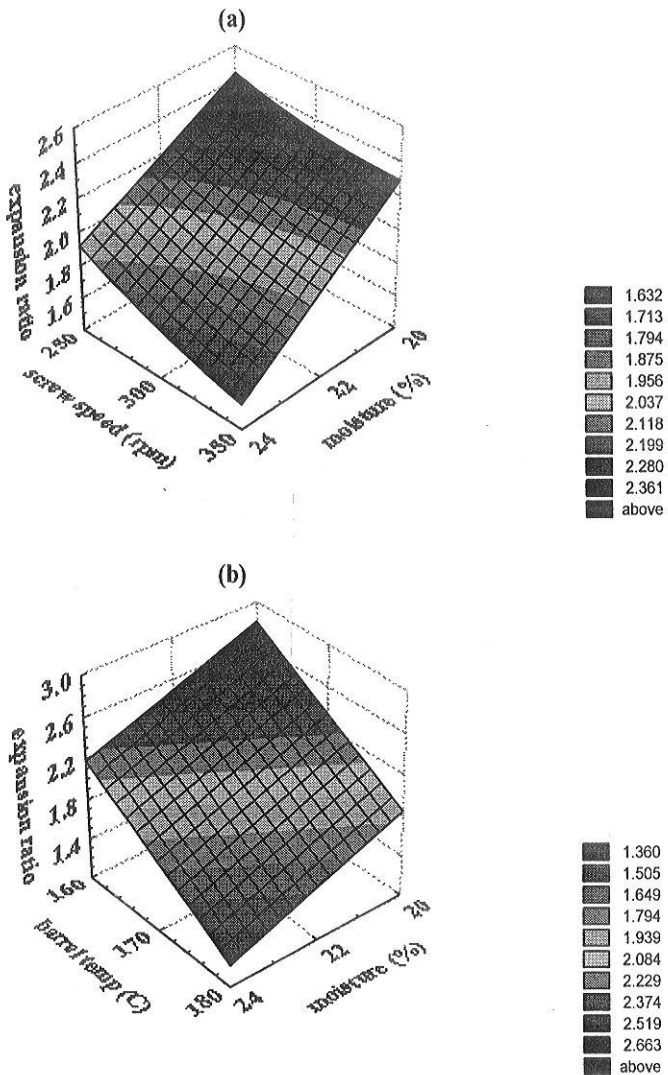
### 3.9 ผลการศึกษาสภาวะการแปรรูปต่อลักษณะทางกายภาพของเอกสารทຽด

ผลของสภาวะการแปรรูปที่มีต่ออัตราการขยายตัวของเอกสารทຽดเดตเป็นข้าวผอมรำข้าวคิบแสดงดังตารางที่ 7 ในภาคพนวก ค. โดยสามารถแสดงกราฟผลตอบสนองแบบสามมิติได้ดังภาพที่ 21 จากภาพที่ 21 (a) พบว่าเมื่อคำนวณการแปรรูปด้วยความชื้นวัตถุคิบต่ำ 20 เบอร์เซ็นต์ และความเร็วอบสกู๊ฟต่ำ 250 รอบต่อนาที ส่งผลให้อัตราการขยายตัวมีค่าสูงสุด และในภาพที่ 21 (b) แสดงให้เห็นว่าเมื่อเอกสารทຽดเดตมีการขยายตัวสูงขึ้น โดยจะพบว่าการเปลี่ยนแปลงความเร็วอบสกู๊ฟส่งผลต่ออัตราการขยายตัวค่อนข้างน้อย สำหรับอัตราการขยายตัวของเอกสารทຽดเดตเป็นข้าวผอมรำข้าวที่ใช้ด่างได้รับอิทธิพลหลักจากปริมาณความชื้นทั้งในเชิงเส้นตรงและเชิงกำลังสองแสดงดังตารางที่ 8 ในภาคพนวก ค. โดยเมื่อความชื้นวัตถุคิบสูงขึ้นส่งผลให้อัตราการขยายตัวลดลงดังภาพที่ 22 และจะเห็นได้ว่าห้องความเร็วอบสกู๊ฟและอุณหภูมินิบาร์ลามีอิทธิพลต่อการเปลี่ยนแปลงอัตราการขยายตัวน้อยมาก แต่การเปลี่ยนแปลงหลักที่เกิดขึ้นต่ออัตราการขยายตัวของเอกสารทຽดเดตจากวัตถุคิบผอมรำข้าวที่ใช้ด่างมาจากการเปลี่ยนแปลงปริมาณความชื้น อย่างไรก็ตามเมื่อเปรียบเทียบผลของสภาวะการแปรรูปต่ออัตราการขยายตัวของเอกสารทຽดเดตระหว่างการเติมรำข้าวคิบกับการเติมรำข้าวที่ใช้ด่างยังคงมีรูปแบบแนวโน้มที่คล้ายกัน

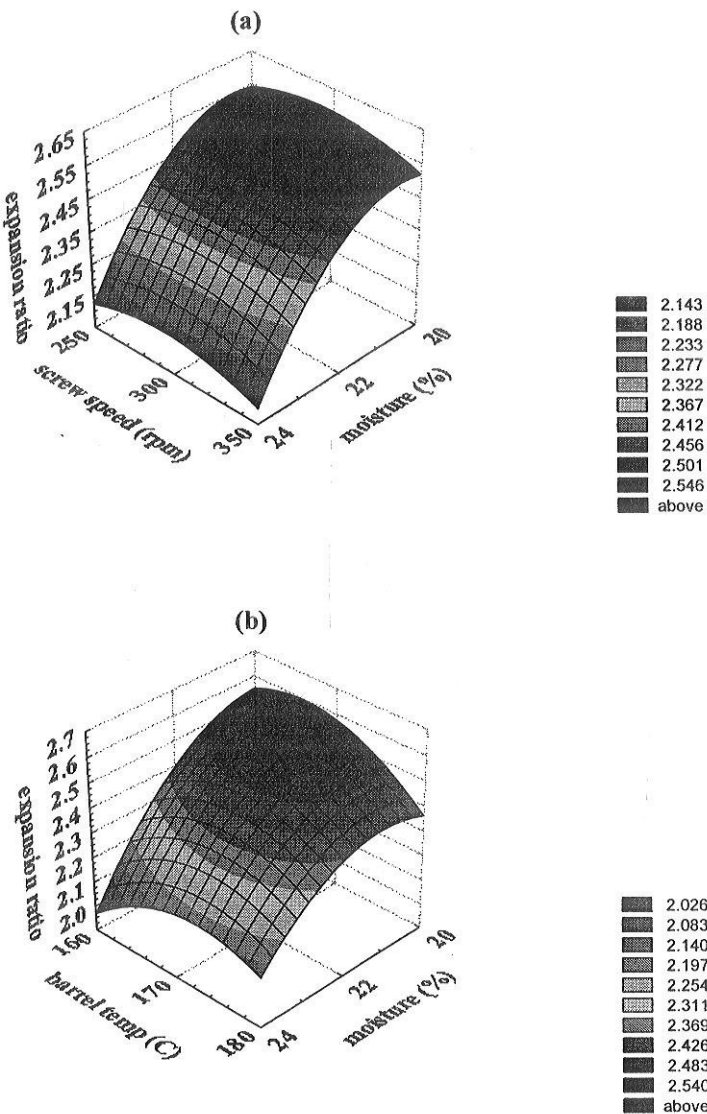
ในด้านความหนาแน่นเอกสารทຽดเดตพบว่าได้รับอิทธิพลมาจากผลร่วมของปริมาณความชื้นกับอุณหภูมิของบาน雷 (p<0.01) ดังตารางที่ 7 ในภาคพนวก ค. สามารถแสดงผลตอบสนองในรูปกราฟสามมิติได้ดังภาพที่ 23 พบว่าความชื้นวัตถุคิบต่ำๆ ที่ 20 เบอร์เซ็นต์ และอุณหภูมิของบาน雷ต่ำ 160 องศาเซลเซียส ส่งผลให้เอกสารทຽดเดตเป็นข้าวผอมรำข้าวคิบมีความหนาแน่นต่ำที่สุด ซึ่งเป็นสภาวะเดียวกันที่ทำให้ได้เอกสารทຽดเดตที่มีอัตราการขยายตัวสูงที่สุดดังภาพที่ 21 (b) ในขณะที่การเอกสารทຽดเดตเป็นข้าวผอมรำข้าวที่ใช้ด่างพบตัวแปรที่มีความสำคัญต่อความหนาแน่นของเอกสารทຽดเดตคือปริมาณความชื้น ซึ่งจากค่า coefficient แสดงให้เห็นว่าเมื่อปริมาณความชื้นเพิ่มขึ้นทำให้ความหนาแน่นสูงขึ้นด้วยซึ่งให้ผลเช่นเดียวกันกับการใช้รำข้าวคิบ อีกทั้งผลร่วมระหว่างความเร็วอบสกู๊ฟอุณหภูมินิบาร์ลามิกับส่งผลต่อความหนาแน่นเช่นกันแต่ต้องว่ามีอยู่มาก แต่จากค่า R<sup>2</sup> ที่ค่อนข้างต่ำจึงไม่เหมาะสมที่จะนำสมดุลโดยมาสร้างกราฟสามมิติ

จากตารางที่ 11 พบว่าอัตราการขยายตัวของเอกสารทຽดเดตเป็นข้าวผอมรำข้าวที่ใช้ด่างมีค่าเฉลี่ยสูงกว่าเอกสารทຽดเดตเป็นข้าวผอมรำข้าวคิบ (p<0.05) ทั้งนี้อาจเนื่องมาจากการเปลี่ยนแปลงในองค์ประกอบทางเคมีของวัตถุคิบ รวมทั้งการเปลี่ยนแปลงโครงสร้างของรำข้าวภายหลังการใช้ด่าง โครงสร้างรำข้าวหลังการใช้ด่างมีความยืดหยุ่นสูงขึ้น ความเป็นอสันฐานที่ส่วนของเซลลูโลสเพิ่มขึ้น ทำให้โครงสร้างอาหารเกิดการเปิดตัวออกมีส่วนของไฮโตรเจนที่เป็นอิสระ

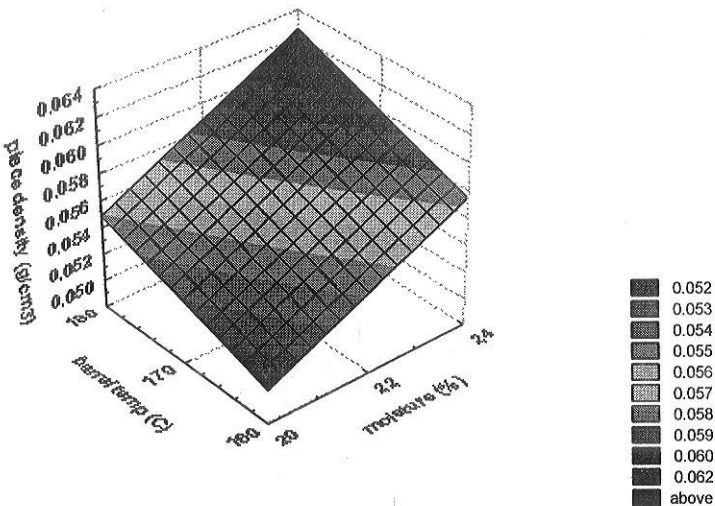
มากขึ้น ดังนั้นมีอ่อนน้ำจึงสามารถเข้าไปรวมตัวกับรำข้าวที่ผ่านการใช้ค่า่งได้มาก คงเหลือปริมาณน้ำหน้อยลงในส่วนของสาร์ซ วัตถุดินเป็นข้าวผสมรำข้าวที่ใช้ค่า่งจึงมีความหนืดของโอดสูงดังแสดงจากค่าทอร์คและค่าความดันที่หัวแบบที่สูงขึ้น โดยเฉพาะอย่างยิ่งเมื่อพนการเพิ่มขึ้นอย่างมีนัยสำคัญทางสถิติ ( $p<0.05$ ) ของความดันที่หัวแบบ Mohamed (1990) และ Yuryev et al. (1995) กล่าวว่า การขยายตัวของเอกซ์ทรูเดตขึ้นอยู่กับความแตกต่างระหว่างความดันที่หัวแบบและความดันบรรยายกาศ ดังนั้นเอกซ์ทรูเดตเป็นข้าวผสมรำข้าวที่ใช้ค่า่งที่มีความดันที่หัวแบบสูงกว่าจึงมีอัตราการขยายตัวสูงกว่าคัวบ ส่วนปริมาณโปรตีนที่มีในรำข้าวคิดมากกว่าในรำข้าวที่ใช้ค่า่งนี้ ( $p<0.05$ ) คาดว่ามีผลขัดขวางการขยายตัวของเอกซ์ทรูเดต ซึ่งมีความสอดคล้องกับผลการวิจัยของ Mohamed (1990), Bhattacharya et al. (1997) และ Onwulata et al. (1998) ที่พบว่าการผสมโปรตีนลงในสาร์ซ คัวบสัดส่วนที่สูงขึ้นส่งผลให้การขยายตัวของผลิตภัณฑ์ต่ำลง จากการเปรียบเทียบความหนาแน่นในตารางที่ 11 พบว่าค่า่นเฉลี่ยความหนาแน่นของเอกซ์ทรูเดตเป็นข้าวผสมรำข้าวที่ใช้ค่า่งต่ำกว่าเอกซ์ทรูเดตเป็นข้าวผสมรำข้าวคิดเล็กน้อยโดยไม่แตกต่างกันทางสถิติ ( $p>0.05$ ) ทั้งนี้เอกซ์ทรูเดตเป็นข้าวผสมรำข้าวคิดมีอัตราการขยายตัวต่ำ และมีลักษณะเนื้อแน่นเล็กน้อย ซึ่งเป็นผลมาจากการลักษณะโครงสร้างภายในของรำข้าวคิดที่มีความแน่นและตันกว่ารำข้าวที่ใช้ค่า่งดังภาพถ่ายโครงสร้างรำข้าว ในภาพที่ 14 และจากผลงานวิจัยของ Artz et al. (1990) พบว่ากระบวนการเอกซ์ทรูชันส่งผลต่อการเปลี่ยนแปลงทั้งทางด้านโครงสร้างและความสามารถในการอุ้มน้ำของไขอาหารค่อนข้างน้อย แสดงให้เห็นถึงความทนทานต่อการเปลี่ยนแปลงสมบัติของไขอาหารต่อแรงกด ดังนั้นทั้งรำข้าวคิดและรำข้าวที่ใช้ค่า่งหลังผ่านกระบวนการเอกซ์ทรูชันน่าจะเกิดการเปลี่ยนแปลงของโครงสร้างน้อยมาก ส่งผลให้เอกซ์ทรูเดตเป็นข้าวผสมรำข้าวคิดที่ได้มีความหนาแน่นสูงกว่าเนื่องจากโครงสร้างรำข้าวคิดแต่เดิมที่มีความแน่นมากกว่ารำข้าวที่ใช้ค่า่ง



ภาพที่ 21 พื้นที่ผิวตอบสนองของอัตราการขยายตัวในกระบวนการเอกซ์ทรูชันแบ่งข้าวผสมรำข้าวคิบ 20 เบอร์เซ็นต์ ที่สร้างระหว่างตัวแปรความชื้นватถูกดิบกับความเร็วอบสกู๊ฟ และที่สร้างระหว่างตัวแปรความชื้นvatถูกดิบกับอุณหภูมินิบาร์ล

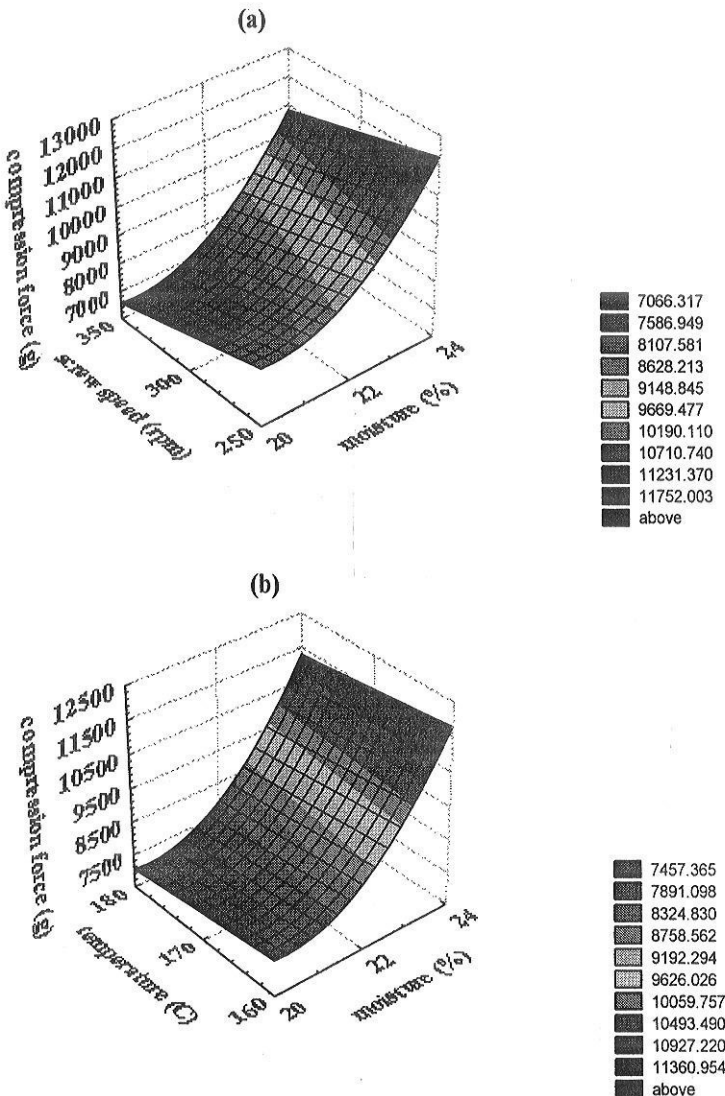


ภาพที่ 22 พื้นที่ผิวตอบสนองของอัตราการขยายตัวในกระบวนการเอกซ์ทรูชันแบ่งข้าวผสมรำข้าวที่ใช้ด่าง 20 เปลอร์เซ็นต์ ที่สร้างระหว่างตัวแปรความชื้นวัตถุดิบกับความเร็วอบสกู๊ฟ และที่สร้างระหว่างตัวแปรความชื้นวัตถุดิบกับอุณหภูมินิบาร์ล



ภาพที่ 23 พื้นที่ผิวตอบสนองของความหนาแน่นที่สร้างระหว่างตัวแปรความชื้นวัตถุคิดกับอุณหภูมิบาร์ลในกระบวนการเอกซ์ทรูดเป็นข้าวผสมรำข้าวคิน 20 เปอร์เซ็นต์

ด้านลักษณะเนื้อสัมผัสของเอกซ์ทรูเดตผลการวิเคราะห์ทางสถิติพบว่าความชื้นเพียงตัวแปรเดียวที่มีผลต่อค่าแรงที่ใช้กดให้เอกซ์ทรูเดตเกิดการแตกหักสำหรับแป้งข้าวผสมรำข้าวคิน ( $p<0.01$ ) ดังตารางที่ 7 ในภาคผนวก ค. โดยความชื้นที่สูงขึ้นทำให้แรงที่ใช้กดเอกซ์ทรูเดตให้แตกสูงขึ้นด้วยแต่จากค่า  $R^2$  ที่ค่อนข้างต่ำจึงไม่สามารถนำมาสร้างกราฟสามมิติได้ สำหรับการเอกซ์ทรูดแป้งข้าวผสมรำข้าวที่ใช้ด่างพบว่าตัวแปรที่ส่งผลต่อค่าแรงกดแตกแสดงดังตารางที่ 8 ในภาคผนวก ค. โดยแสดงกราฟสามมิติได้ดังภาพที่ 24 พบว่าการเพิ่มขึ้นของความชื้นส่งผลสำคัญต่อการเพิ่มขึ้นของค่าแรงที่ใช้ในการกดแตก เช่นเดียวกันที่พบในการเอกซ์ทรูดแป้งข้าวผสมรำข้าวคิน โดยผลจากการเปลี่ยนแปลงความเร็วอบสกruise และอุณหภูมิบาร์ลส่งผลต่อการเปลี่ยนแปลงแรงกดแตกค่อนข้างต่ำจากการเปรียบเทียบค่าเฉลี่ยของแรงกดแตกในตารางที่ 11 พบว่าเอกซ์ทรูเดตแป้งข้าวผสมรำข้าวที่ใช้ด่างต้องการแรงกดแตกต่ำกว่าเอกซ์ทรูเดตแป้งข้าวผสมรำข้าวคินแต่ไม่พนความแตกต่างทางสถิติ ( $p>0.05$ ) ซึ่งผลของค่าแรงกดแตกนี้มีความสัมพันธ์ตรงข้ามกับอัตราการขยายตัว แต่ความสัมพันธ์เชิงบวกกับความหนาแน่น ( $p<0.01$ ) ดังที่ได้กล่าวมาแล้ว การที่เอกซ์ทรูเดตแป้งข้าวผสมรำข้าวที่ใช้ด่างมีค่าแรงกดแตกต่ำอาจมีผลมาจากการที่โครงสร้างของอาหารมีความอ่อนนุ่ม จาลักษณะโครงสร้างที่เป็นรูพรุนสูงทำให้น้ำสามารถเข้าไปจับกับรำข้าวได้ เมื่อเกิดการระเบยของน้ำอย่างรวดเร็วหลังออกจากเครื่องเอกซ์ทรูเดต ทำให้เกิดโพรงอากาศค่อนข้างมาก มีช่องว่างภายในชิ้นเอกซ์ทรูเดตมากและสม่ำเสมอ ดังนั้นความต้องการแรงที่ใช้ในการกดแตกจึงต่ำลง

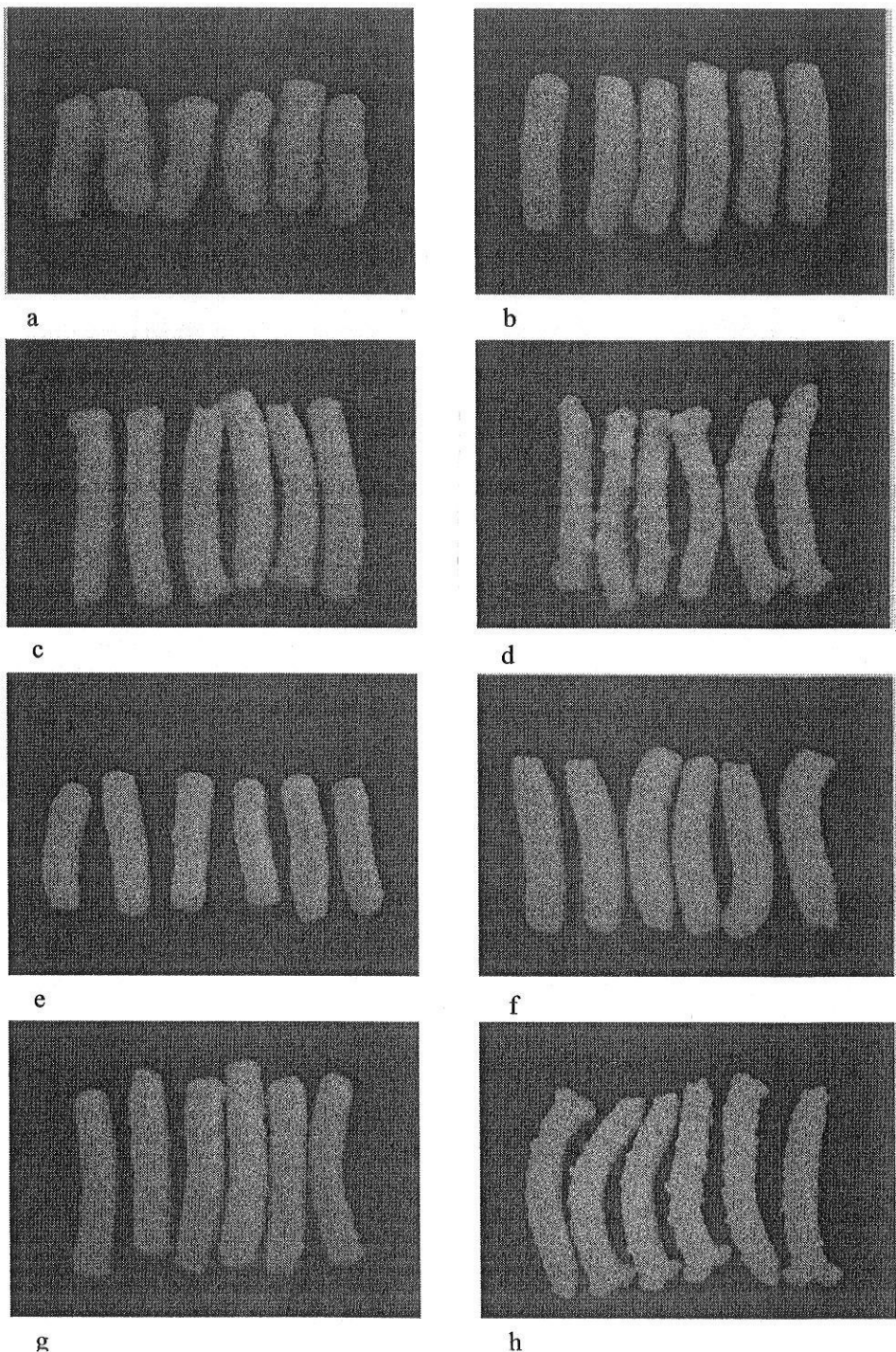


ภาพที่ 24 พื้นที่ผิวตอบสนองของแรงกดแตกในกระบวนการเรอกซ์ทรูชันเป็นข้าวผอมรำข้าวที่ใช้ด่าง 20 เปอร์เซ็นต์ ที่สร้างระหว่างตัวแปรความชื้นวัตถุคิดกับความเร็วอบสกู๊ และที่สร้างระหว่างตัวแปรความชื้นวัตถุคิดกับอุณหภูมิบาร์ล

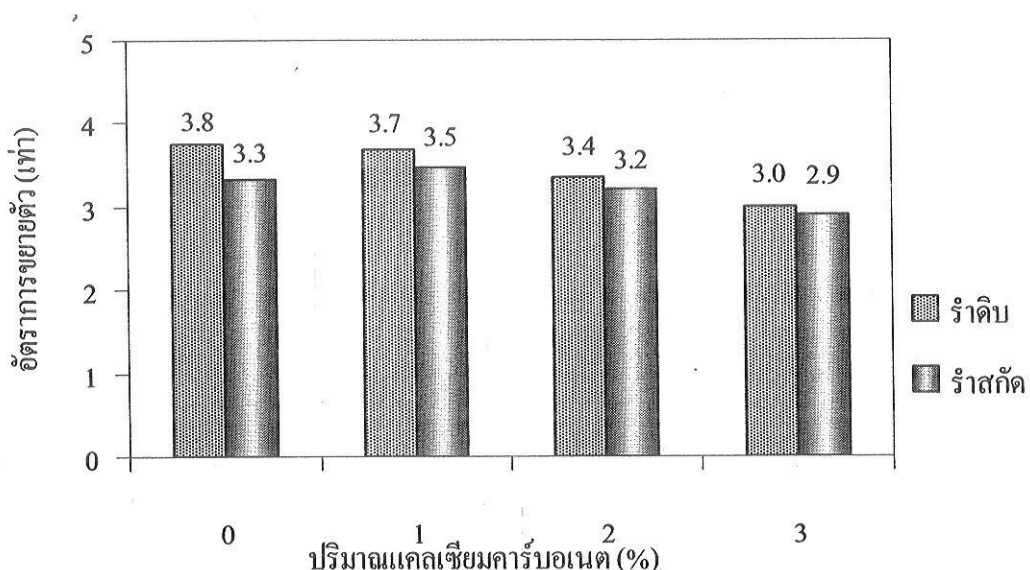
### 3.10 ผลการศึกษานิคของร้าวและปริมาณแคลเซียมคาร์บอนเนตต่อลักษณะทางกายภาพของเอกซ์ทรูเดต

ผลการศึกษานิคของร้าวและปริมาณแคลเซียมคาร์บอนเนตต่อลักษณะประภูมิของเอกซ์ทรูเดต แสดงดังภาพที่ 25 โดยเมื่อเปรียบเทียบผลของชนิดร้าว พบว่า เอกซ์ทรูเดตส่วนผสมร้าวคิดมีการขยายตัวตามแนวรัศมีสูงกว่าเอกซ์ทรูเดตส่วนผสมร้าวสักด้ เนื่องจากร้าวคิดมีองค์ประกอบของไนโบนในปริมาณมาก โดยวัตถุคิดที่มีปริมาณไนโบนไม่เกินร้อยละ 4 จะมีอัตราการพองตัวสูงขึ้นเมื่อมีปริมาณไนโบนเพิ่มขึ้น โดยไนโบนทำให้ส่วนผสมลื่นไหลได้ดีขึ้น ซึ่งเพิ่มประสิทธิภาพการถ่ายเทความร้อนระหว่างกระบวนการเอกซ์ทรูชัน จากผลการเติมแคลเซียมคาร์บอนเนต พบร ว่า เอกซ์ทรูเดตจากส่วนผสมร้าวทั้ง 2 ชนิดให้ผลในทิศทางเดียวกัน โดยเอกซ์ทรูเดตที่ไม่มีการเติมแคลเซียมคาร์บอนเนตจะมีการขยายตัวในแนวรัศมี แต่การขยายตัวตามแนวยาวต่ำ propane acid มีขนาดใหญ่ ไม่สม่ำเสมอ ลักษณะผิวของเอกซ์ทรูเดตมีลักษณะขรุขระคล้ายผิวมะกรูด สำหรับเอกซ์ทรูเดตที่เติมแคลเซียมคาร์บอนเนต มีการขยายตัวตามแนวรัศมีลดลง แต่การขยายตัวตามแนวยาวเพิ่มขึ้น ตามปริมาณแคลเซียมคาร์บอนเนตที่เพิ่มขึ้น ลักษณะผิวของเอกซ์ทรูเดตเรียบเนียนที่ปริมาณแคลเซียมคาร์บอนเนต 1% ขณะที่ปริมาณแคลเซียมคาร์บอนเนต 2 และ 3% ผิวภายนอกของเอกซ์ทรูเดตจะมีรอยแตก โดยสามารถสังเกตได้ชัดเจนที่ปริมาณแคลเซียมคาร์บอนเนตปริมาณ 3%

ผลของชนิดร้าวและปริมาณแคลเซียมคาร์บอนเนตต่ออัตราการขยายตัวของเอกซ์ทรูเดต แสดงดังภาพที่ 26 อัตราการขยายตัวของเอกซ์ทรูเดตให้ผลเช่นเดียวกับลักษณะประภูมิ โดยเอกซ์ทรูเดตจากส่วนผสมร้าวคิดมีอัตราการขยายตัวสูงกว่าเอกซ์ทรูเดตจากส่วนผสมร้าวสักด้ เนื่องจากผลของไนโบน และการเติมแคลเซียมคาร์บอนเนตในปริมาณ 1% สร้างให้อัตราการขยายตัวเพิ่มขึ้น เนื่องจากแคลเซียมคาร์บอนเนตเป็นสารช่วยในการเกิดฟองอากาศ (leavening agent) ซึ่งใช้กันในการปรับปรุงคุณภาพผลิตภัณฑ์ขั้นน ในการเข้าฟูก่อนผ่านกระบวนการหยอด โดยแคลเซียมคาร์บอนเนตเมื่อทำปฏิกิริยากับไนโบนและออกซิเจนในอากาศซึ่งมีความร้อนในการเร่งปฏิกิริยาระหว่างการบ่ม จะเกิดการสลายตัวปลดปล่อยแก๊สคาร์บอนไดออกไซด์อ บ่างช้า ซึ่งทำให้เกิดฟองอากาศขนาดเล็กจำนวนมากในโอด (Villagran et al., 1995, Orosa et al., 2001) ดังนั้น สำหรับการเอกซ์ทรูชันเมื่อไนโบน率เทียบกับไนโบน สำหรับการเอกซ์ทรูชันเมื่อไนโบน率เพิ่มขึ้น อย่างไรก็ตามการเติมแคลเซียมคาร์บอนเนตในปริมาณ 2% และ 3% พบร ว่าอัตราการขยายตัวลดลง ทั้งนี้อาจเนื่องจากฟองอากาศขนาดเล็กที่เกิดขึ้นในปริมาณมากทำให้เกิดการดันตัวของโอดระหว่างการเข้ารูป ทำให้เกิดการแตกที่บริเวณผิว จึงพบได้ว่าผิวของเอกซ์ทรูเดตที่มีการเติมแคลเซียมคาร์บอนเนต 3% มีลักษณะเป็นรอยแตก

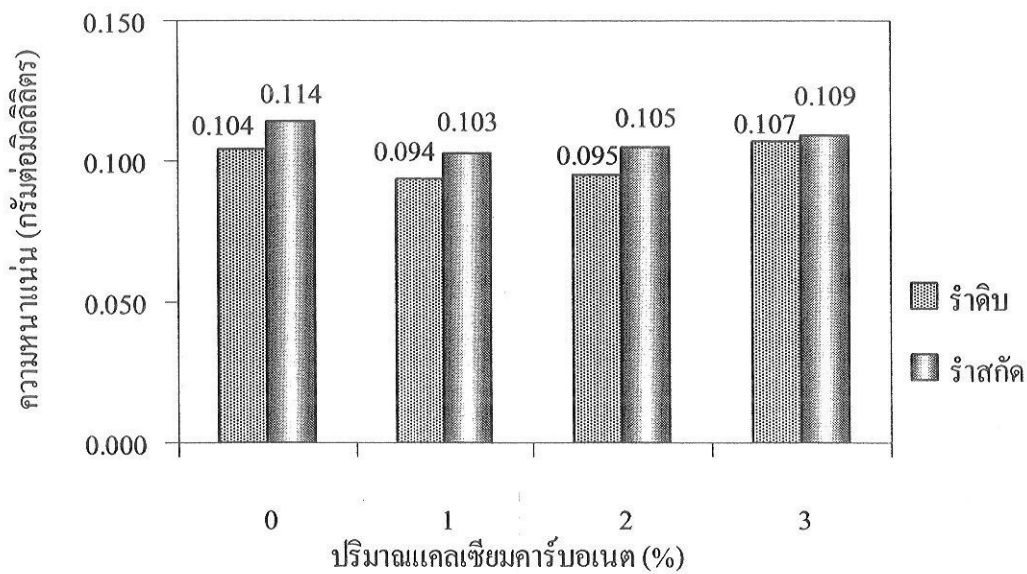


**ภาพที่ 25 โครงสร้างลักษณะภายนอกของเอกสารจากส่วนผสมรำข้าวดิบและรำสกัดที่เติมแคลเซียมคาร์บอเนตในปริมาณต่างกัน**

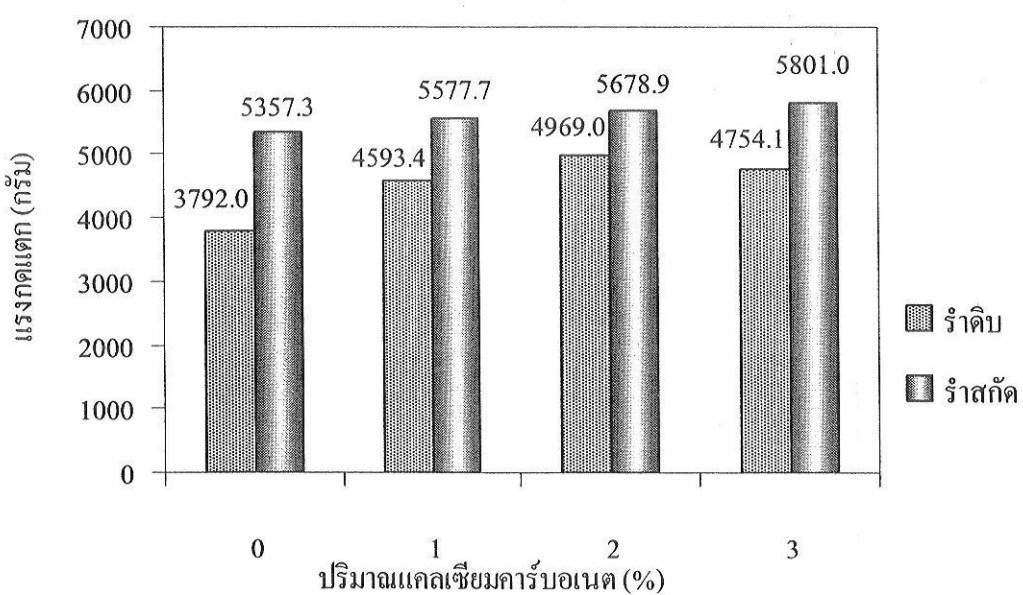


ภาพที่ 26 อัตราการขยายตัวของเอกซ์ทรูเดตจากส่วนผสมร้าขาวดีบและร้าสกัดที่เติมแคลเซียมการ์บอนเนตในปริมาณต่างกัน

ผลของชนิดร้าขาวและปริมาณแคลเซียมการ์บอนเนตต่อความหนาแน่นและแรงกดแตกของเอกซ์ทรูเดต ให้ผลในทิศทางเดียวกัน โดยแสดงดังภาพที่ 27 และ 28 พนวจ เอกซ์ทรูเดตจากส่วนผสมร้าขาวดีบมีความหนาแน่นและแรงกดแตกต่ำกว่าเอกซ์ทรูเดตจากส่วนผสมร้าขาวสกัด การเติมแคลเซียมการ์บอนเนตส่งผลให้ความหนาแน่นลดลง แต่เมื่อเติมแคลเซียมการ์บอนเนตปริมาณมาก ส่งผลให้ความหนาแน่นเพิ่มขึ้น ซึ่งผลของความหนาแน่นสอดคล้องและลัมพันธ์เชิงลบกับอัตราการขยายตัวของเอกซ์ทรูเดต โดยทั่วไปเมื่ออัตราการขยายตัวเพิ่มขึ้น ทำให้ปริมาตรเพิ่มขึ้น ดังนั้นความหนาแน่นจึงมีค่าลดลง อย่างไรก็ตามพบว่าแรงกดแตกเพิ่มขึ้นเมื่อเติมแคลเซียมการ์บอนเนตมากขึ้น ผลการศึกษาให้ผลเช่นเดียวกับการพัฒนานมพองกรอบจากปลายขาวด้วยกระบวนการเอกซ์ทรูชันของ Boonyasirikool and Charunuch (2000) ซึ่งรายงานว่า การเติมแคลเซียมการ์บอนเนตเพิ่มขึ้นทำให้เพิ่มจำนวนฟองอากาศขนาดเล็กส่งผลให้มีการขยายตัวต่ำลงทำให้ใช้แรงกดแตกเพิ่มขึ้น และเนื่องจากแคลเซียมการ์บอนเนต นอกจะจะเป็นสารที่ช่วยให้เกิดฟองอากาศ ยังเป็นสารที่เพิ่มความคงตัวให้กับผลิตภัณฑ์ โดยแม้ว่าเอกซ์ทรูเดตจะมีความหนาแน่นต่ำและมีการขยายตัวสูง แต่โครงสร้างของเอกซ์ทรูเดตจะมีความสม่ำเสมอของรูปทรงมาก ทำให้โครงสร้างมีความแข็งแรงมาก



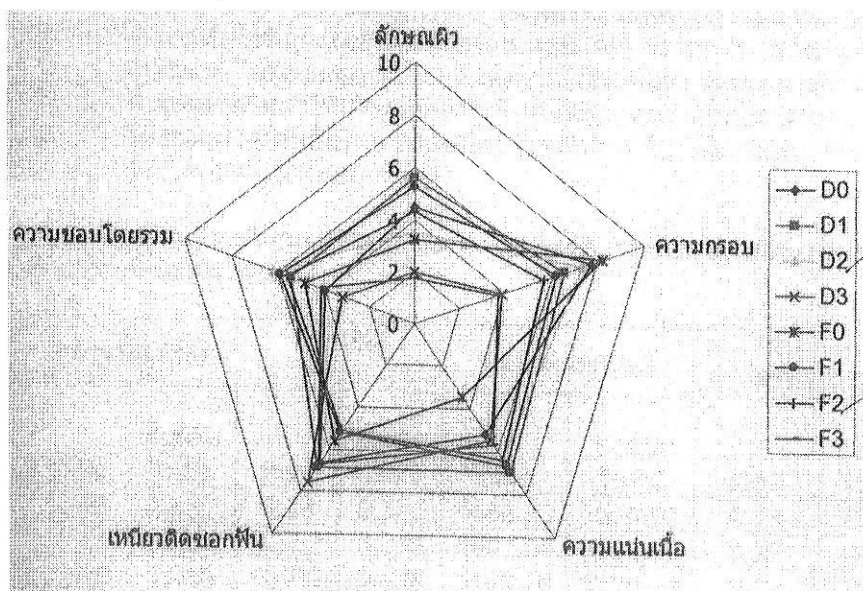
ภาพที่ 27 ความหนาแน่นของเอกซ์ทรูเดตจากส่วนผสมรำข้าวคิบและรำสกัดที่เติมแกลเชี่ยม  
คาร์บอนเนตในปริมาณต่างกัน



ภาพที่ 28 แรงกดแตกของเอกซ์ทรูเดตจากส่วนผสมรำข้าวคิบและรำสกัดที่เติมแกลเชี่ยมคาร์บอนเนต  
ในปริมาณต่างกัน

### 3.11 ผลการประเมินคุณลักษณะทางด้านประสิทธิภาพและกระบวนการยอมรับของผู้บริโภคต่อผลิตภัณฑ์ เอกซ์ทรูเดต

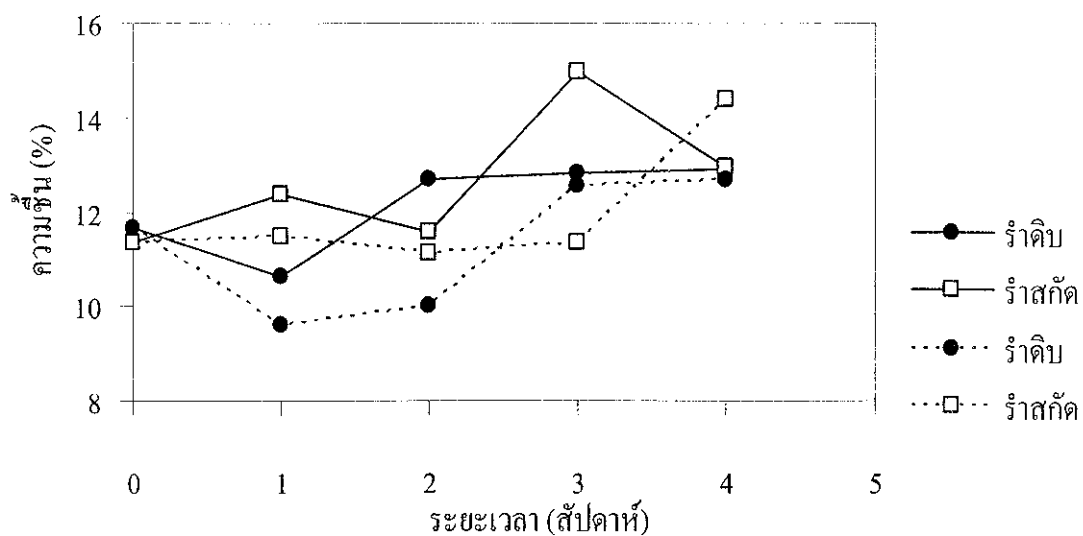
จากการทดสอบทางด้านประสิทธิภาพด้านลักษณะพิเศษ ความกรอบ ความแน่นเนื้อ ความเหนียวติดชอกฟัน และความชอบโดยรวมของผู้บริโภคต่อผลิตภัณฑ์เอกซ์ทรูเดตจากส่วนผสมรำข้าวคิงและรำข้าวสาคัดที่ทำการเติมแคลเลชียนคาร์บอนเอนต์ 1%, 2%, และ 3% โดยใช้วิธีทดสอบแบบ QDA จำนวน 10 ระดับการทดสอบ แสดงผลดังภาพที่ 29 พบว่า เอกซ์ทรูเดตจากรำสาคัดที่ทำการเติมแคลเลชียนคาร์บอนเอนต์ 2% ได้รับระดับความชอบมากที่สุด สำหรับเอกซ์ทรูเดตจากรำคิงที่ทำการเติมแคลเลชียนคาร์บอนเอนต์ 1% และ 2% ได้รับคะแนนความชอบปานกลางถึงมากที่สุด ทางด้านลักษณะพิเศษ ความกรอบ ความแน่นเนื้อ ความเหนียวติดชอกฟัน พบว่า เอกซ์ทรูเดตจากรำสาคัดที่ทำการเติมแคลเลชียนคาร์บอนเอนต์ 2% มีลักษณะทางประสิทธิภาพไม่แตกต่างทางสถิติกับเอกซ์ทรูเดตจากรำคิงที่ทำการเติมแคลเลชียนคาร์บอนเอนต์ 1% และ 2% ( $p < 0.05$ ) ทั้งนี้เนื่องจากซ์เอกซ์ทรูเดตที่ทำการเติมแคลเลชียนคาร์บอนเอนต์ในปริมาณที่เหมาะสม มีการกระจายตัวของฟองอากาศอย่างสม่ำเสมอ ส่งผลให้ผลิตภัณฑ์มีการพองตัวและมีความกรอบ เมื่อปั้นจัจย์ที่ใช้ในการวัดคุณภาพของผลิตภัณฑ์ ซึ่งขั้นmgrอบที่ดีต้องมีเนื้อสัมผัสที่กรอบ ค่อนมาทางกรอบแน่น-นุ่ม ที่ให้ความรู้สึกในปากเมื่อขบเคี้ยวและละลายหมด ไม่เหนียวติดชอกฟันและเบา (ประชา บุญญาริกุลและอุพาลักษณ์ จาธุนช, 2543)



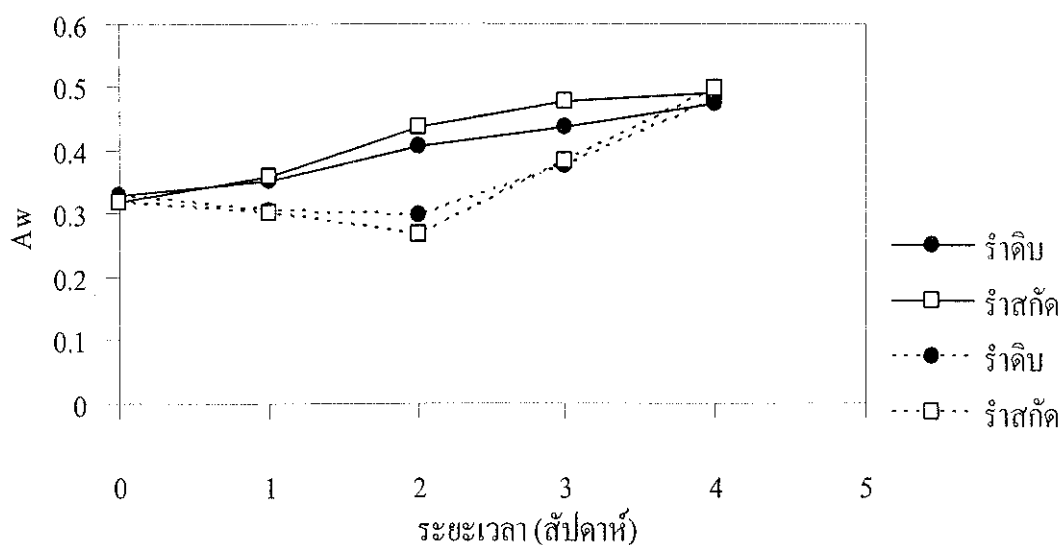
ภาพที่ 29 แผนภาพแสดงลักษณะทางประสิทธิภาพและกระบวนการยอมรับของผู้บริโภคต่อเอกซ์ทรูเดต

### 3.12 ผลการศึกษาทางด้านอายุการเก็บของผลิตภัณฑ์เอกสารชี้ทຽุดต

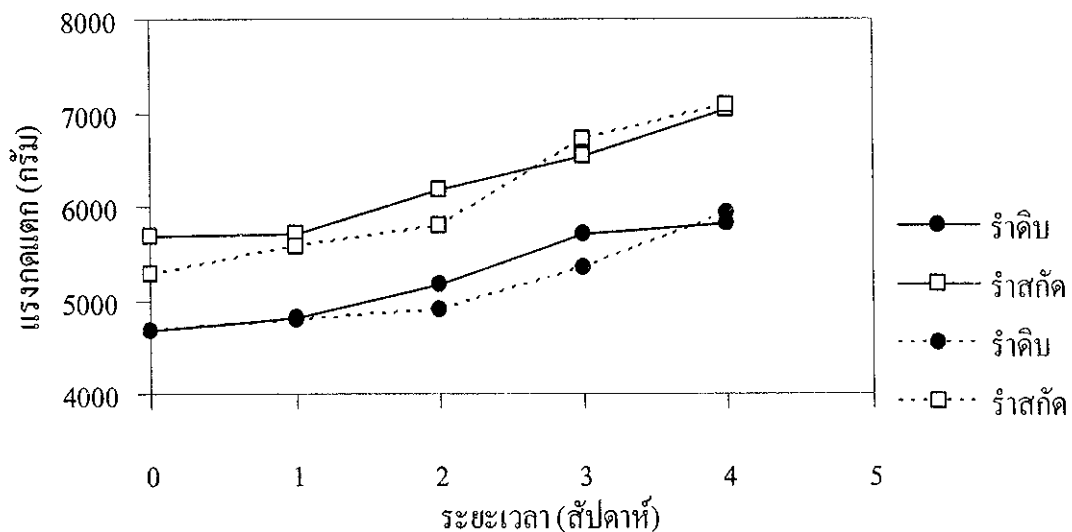
จากการศึกษาอายุการเก็บของผลิตภัณฑ์เอกสารชี้ทຽุดตจากส่วนผสมรำข้าวดิบและรำสดที่ทำ การเติมแคลเซียมคาร์บอนเนตที่ระดับความเข้มข้น 2% โดยศึกษาที่อุณหภูมิการเก็บ 2 อุณหภูมิ คือ อุณหภูมิห้องและ 45 องศาเซลเซียส แสดงผลการเปลี่ยนแปลงลักษณะทางกายภาพได้แก่ ความชื้น, Aw, แรงกดแตก และค่า TBA ตลอดระยะเวลาการเก็บ 4 สัปดาห์ ดังภาพที่ 30 - 33 ตามลำดับ จาก ผลการเปลี่ยนแปลงความชื้น (ภาพที่ 30) พบว่า เมื่อระยะเวลาการเก็บเพิ่มขึ้น ความชื้นในผลิตภัณฑ์ เอกสารชี้ทຽุดตทั้ง 4 สูตร จะเพิ่มขึ้นทั้ง 2 อุณหภูมิการเก็บ โดยการเก็บที่อุณหภูมิ 45°C มีการ เปลี่ยนแปลงถาวรกว่าการเก็บที่อุณหภูมิห้อง ความเปลี่ยนแปลงค่า Aw ให้ผลเช่นเดียวกับค่า ความชื้น (ภาพที่ 31) และพบว่าชนิดของรำมีผลต่อทั้งความชื้นและ Aw เมื่อระยะเวลาการเก็บนานขึ้น สำหรับแรงกดแตกของผลิตภัณฑ์เอกสารชี้ทຽุดต พบร่วมกันว่า เมื่อระยะเวลาการเก็บเพิ่มขึ้น แรงกดแตก ของผลิตภัณฑ์มีค่ามากขึ้น โดยการเก็บที่อุณหภูมิห้องทำให้ผลิตภัณฑ์มีค่าแรงกดแตกมากกว่าการเก็บ ที่อุณหภูมิ 45°C และเอกสารชี้ทຽุดตจากส่วนผสมรำสกัดมีค่าแรงกดแตกมากกว่าเอกสารชี้ทຽุดตจาก ส่วนผสมรำดิบ (ภาพที่ 32) ค่าแรงกดแตกของผลิตภัณฑ์เมื่อระยะเวลาการเก็บนานขึ้น ยังคงอยู่กับ ความชื้นที่เพิ่มขึ้น ซึ่งสอดคล้องกับ ประชา บุญยุสติกุล (2539) ที่รายงานว่า เมื่อเก็บรักษาผลิตภัณฑ์ นานขึ้น ผลิตภัณฑ์จะมีความชื้นเกิดขึ้น ทำให้ผลิตภัณฑ์มีความกรอบลดลง เนื้อสัมผัสของผลิตภัณฑ์ นิ่มลง ดังนั้นค่าแรงกดแตกจะเพิ่มขึ้น เมื่อจากต้องใช้แรงมากในการทำให้ผลิตภัณฑ์เกิดการ แตกหัก การเปลี่ยนแปลงค่า TBA (ภาพที่ 33) TBA เป็นดัชนีบ่งบอกความทึบของผลิตภัณฑ์ โดย TBA เป็นผลิตภัณฑ์ที่เกิดขึ้นในปฏิกิริยาต่อเนื่องชุดที่ 2 ของลิปิดออกซิเดชัน (lipid oxidation) ได้แก่ malonaldehyde และ aldehyde ซึ่งสารเหล่านี้จะคงที่เมื่อระยะเวลาเพิ่มขึ้น และเป็นสาเหตุที่ ทำให้เกิดกลิ่นที่ไม่ต้องการให้กับผลิตภัณฑ์ (นิธิยา รัตนานปันท์, 2545) จากการศึกษา พบร่วมกันว่า TBA ไม่เปลี่ยนแปลง เมื่อระยะเวลาการเก็บเพิ่มขึ้น อย่างไรก็ตามจากการทดสอบทางประสาทสัมผัส ทางค้านความทึบ (ภาพที่ 34) พบร่วมกันว่า ผู้บริโภคสามารถตรวจสaborกลิ่นทึบที่เพิ่มขึ้นเมื่อเก็บผลิตภัณฑ์ เอกสารชี้ทຽุดตที่อุณหภูมิ 45°C เป็นระยะเวลา 3 สัปดาห์ สำหรับการเก็บที่อุณหภูมิห้องเป็นเวลา 4 สัปดาห์ และอุณหภูมิ 45°C เป็นเวลา 2 สัปดาห์ พบร่วมกันว่า ผลิตภัณฑ์มีความทึบไม่แตกต่างผลิตภัณฑ์ เริ่มต้น และพบว่าชนิดของรำไม่มีผลต่อการเกิดกลิ่นทึบในผลิตภัณฑ์ ทั้งนี้อาจเนื่องจากในผลิตภัณฑ์ มีปริมาณไขมันต่ำมาก โดยเอกสารชี้ทຽุดตจากส่วนผสมรำดิบมีปริมาณไขมัน 2.20% และเอกสารชี้ทຽุดต จากส่วนผสมรำสกัดมีปริมาณไขมันเพียง 0.46% ดังนั้นปริมาณไขมันอาจน้อยเกินไปที่ทำให้ เกิดปฏิกิริยาออกซิเดชัน นอกจากนี้ รำข้าวยังอุดมไปด้วยสารอีโรไซดานอล (oryanal) ซึ่งเป็นสารที่มี คุณสมบัติเป็นแอนติออกซิเดนต์ (antioxidant) ที่สามารถยับยั้งการเกิดออกซิเดชันได้ (Cho et al., 1999) เมื่อพิจารณาทางด้านความกรอบและกลิ่นอับ พบร่วมกันว่า เมื่อระยะเวลาการเก็บนานขึ้นผลิตภัณฑ์มี



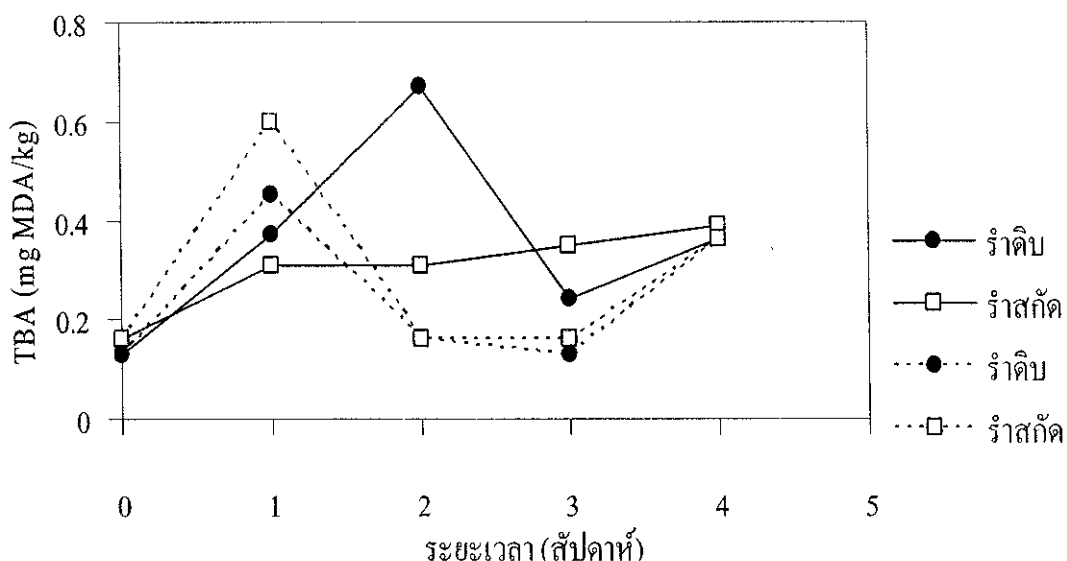
ภาพที่ 30 การเปลี่ยนแปลงความชื้นตามระยะเวลาการเก็บรักษาเอกสารจากส่วนผสมรำข้าวที่อุณหภูมิห้อง (—) และ 45°C (···)



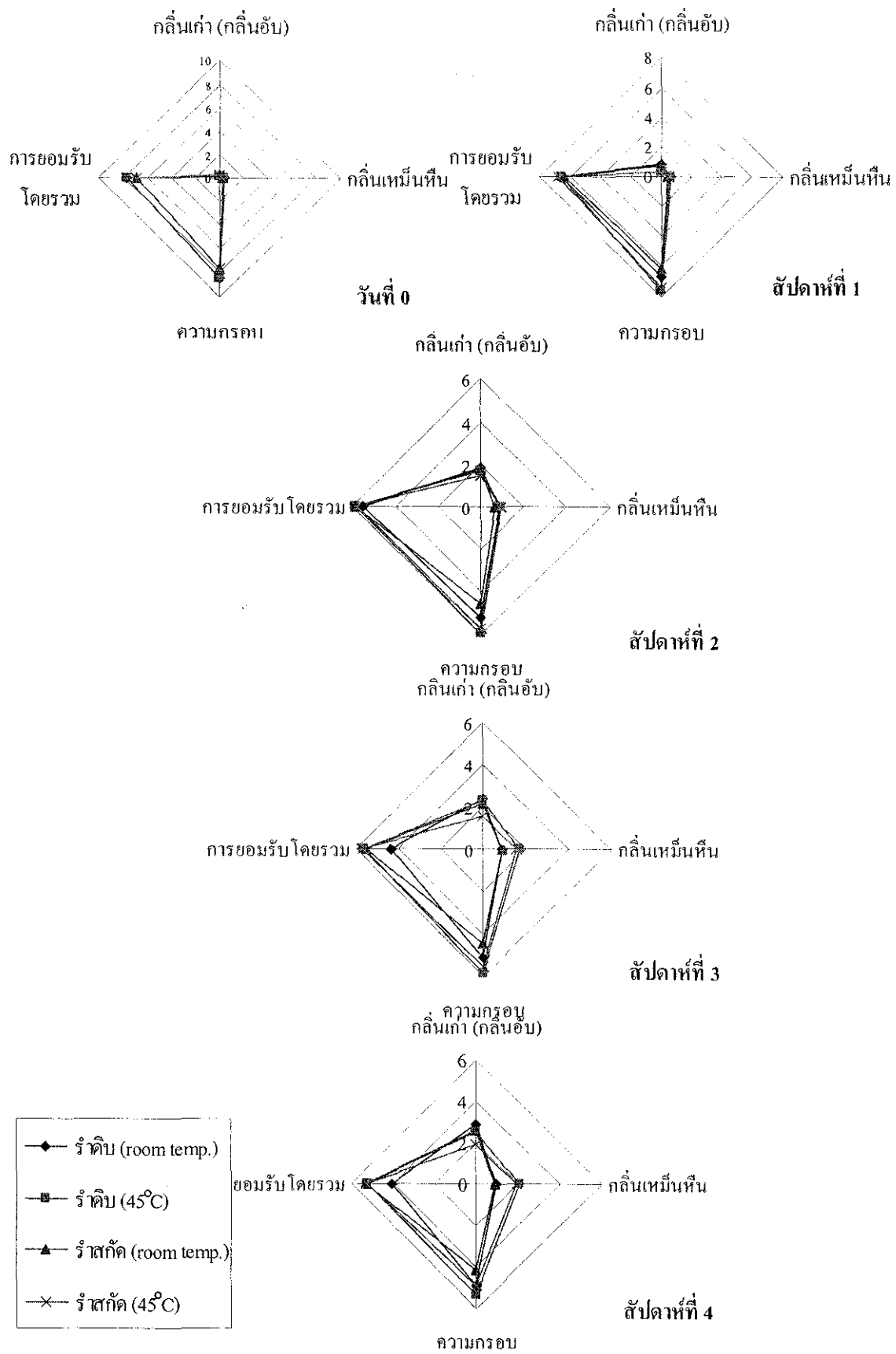
ภาพที่ 31 การเปลี่ยนแปลง Aw ตามระยะเวลาการเก็บรักษาเอกสารจากส่วนผสมรำข้าวที่อุณหภูมิห้อง (—) และ 45°C (···)



ภาพที่ 32 การเปลี่ยนแปลงแรงกดแตกตามระยะเวลาการเก็บรักษาเอกซ์ทรูเดตจากส่วนผสมรำข้าวที่อุณหภูมิห้อง (-) และ 45°C (…)



ภาพที่ 33 การเปลี่ยนแปลงค่า TBA ตามระยะเวลาการเก็บรักษาเอกซ์ทรูเดตจากส่วนผสมรำข้าวที่อุณหภูมิห้อง (-) และ 45°C (…)



ภาพที่ 34 แผนภาพแสดงลักษณะทางประสาทสัมผัสของเอกสารทຽุดจากส่วนผสมรำข้าวที่เก็บไว้ที่อุณหภูมิห้องและ  $45^{\circ}\text{C}$  เป็นระยะเวลา 4 สัปดาห์

ความกรอบลดลง โดยผลสอดคล้องกับแรงกดตัวที่มีค่ามากขึ้น และผลิตภัณฑ์มีกลิ่นเก่า (กลิ่นอัน) เพิ่มขึ้น เมื่อพิจารณาถึงอุณหภูมิการเก็บพับว่าการเก็บที่อุณหภูมิ  $45^{\circ}\text{C}$  ทำให้ผลิตภัณฑ์คงความกรอบมากกว่าการเก็บที่อุณหภูมิห้อง โดยผลสอดคล้องกับความชื้นในผลิตภัณฑ์ นอกจากนี้ ยังพบว่า เอกซ์ทรูเดตจากส่วนผสมรำดินมีความกรอบมากกว่าเอกซ์ทรูเดตจากส่วนผสมรำสกัดในทุกระยะเวลาการเก็บรักษา สำหรับกลิ่นเก่าที่ระยะเวลาการเก็บมากขึ้น พนว่า เอกซ์ทรูเดตจากส่วนผสมรำดินและรำสกัดมีผลทางด้านกลิ่นเก่าไม่แตกต่างกัน เนื่องจากกลิ่นเก่าเกิดจากการออกซิเดชันของไขมัน ดังนั้น เมื่อผลิตภัณฑ์ที่ส่องความปริมาณไขมันค่อนข้างต่ำทำให้ไม่สามารถแยกความแตกต่างของของกลิ่นจากผลิตภัณฑ์ที่ส่องได้ สำหรับการยอมรับโดยรวม พนว่า เมื่อระยะเวลาการเก็บเพิ่มขึ้นระดับการยอมรับโดยรวมลดลง เนื่องจากผลิตภัณฑ์มีความกรอบลดลง มีกลิ่นหืนและกลิ่นเก่าเล็กน้อย โดยพบว่าที่ระยะเวลาการเก็บ 4 สัปดาห์ ผลิตภัณฑ์ที่ได้รับการยอมรับโดยรวมสูงสุดคือ เอกซ์ทรูเดตจากส่วนผสมรำสกัดซึ่งเก็บรักษาไว้ที่อุณหภูมิห้อง โดยแม้ว่าผลิตภัณฑ์จะมีความกรอบน้อยกว่า แต่พบกลิ่นหืนและกลิ่นเก่าน้อยกว่าเอกซ์ทรูเดตจากส่วนผสมรำดินเช่นเดียวกัน เอกซ์ทรูเดตจากส่วนผสมรำดินและรำสกัดที่การเก็บรักษาที่อุณหภูมิ  $45^{\circ}\text{C}$  มีระดับการยอมรับใกล้เคียงกับเอกซ์ทรูเดตจากส่วนผสมรำสกัดซึ่งเก็บรักษาไว้ที่อุณหภูมิห้อง แต่อย่างไรก็ตาม การเก็บรักษาที่อุณหภูมิ  $45^{\circ}\text{C}$  เร่งการเกิดออกซิเดชัน ทำให้เกิดกลิ่นเหม็นหืนและกลิ่นเก่าเมื่อระยะเวลาการเก็บเพิ่มขึ้น สำหรับเอกซ์ทรูเดตจากส่วนผสมรำดินที่การเก็บรักษาที่อุณหภูมิห้อง พนว่า ได้รับการยอมรับโดยรวมต่ำสุด ดังนั้น การพัฒนาผลิตภัณฑ์บนพองกรอบจากแป้งข้าวที่มีการเพิ่มคุณค่าทางโภชนาการโดยการเติมรำข้าวให้มีคุณภาพคงที่ในการเก็บรักษา ควรผลิตโดยใช้ส่วนผสมรำข้าวจากรำสกัดไขมันและผสมแคลเซียมคาร์บอเนต 2% เพื่อปรับปรุงคุณภาพของผลิตภัณฑ์ ซึ่งสามารถเก็บรักษาผลิตภัณฑ์ไว้ที่อุณหภูมิห้องเป็นระยะเวลา 1 เดือน โดยมีการเปลี่ยนแปลงคุณภาพเพียงเล็กน้อยและผู้บริโภคให้การยอมรับ

## บทที่ 4

### บทสรุป

กระบวนการแปรรูปวัตถุดิบเป็นข้าว 100 เปอร์เซ็นต์ เป็นข้าวผสานรำข้าวคิบ 10 และ 20 เปอร์เซ็นต์ ด้วยวิธีเอกสาร์ทຽร์ชันในครั้งนี้ สามารถแปรรูปที่ความชื้นวัตถุดิบต่ำ 20 เปอร์เซ็นต์ ความเร็วของสกอร์ต่ำ 250 รอบต่อนาที และอุณหภูมิบาร์เลตต์ 160 องศาเซลเซียส ให้ลักษณะของเอกสาร์ทຽร์ชันที่มีอัตราการขยายตัวสูงสุด เนื่องจากลักษณะโครงอากาศภายในโครงสร้างที่มีขนาดใหญ่ ส่งผลให้ค่าแรงที่ใช้ในการกดให้เอกสาร์ทຽร์ชันเกิดการแตกมีค่าต่ำ ลักษณะทางกายภาพดังกล่าวเนี้ย เกิดขึ้นเมื่อเครื่องเอกสาร์ทຽร์ชันดำเนินการแปรรูปด้วยค่าแรงหอร์คและความดันที่หัวแบบสูงๆ อีกทั้ง ความหนืดขณะเย็นของเอกสาร์ทຽร์ชันที่ได้จากสามารถแปรรูปนี้มีค่าต่ำ เมื่อวัตถุดิบที่มีความชื้นต่ำ ได้รับการแปรรูปด้วยพลังงานกลเข้มข้น ทำให้ได้เอกสาร์ทຽร์ชันที่มีความหนาแน่นต่ำ เพราะมีโครงสร้างรูพรุนเกิดขึ้นมาก ในด้านของการสูญของสารอาหารว่าระดับการเกิดเจลلاتติกไซด์เชิงน้ำ ขึ้นอยู่กับอุณหภูมิของผลิตภัณฑ์ ดังนั้นจึงเห็นได้ว่าการศึกษาถึงผลของตัวแปรการแปรรูปและค่าต่างๆ ที่วัดได้จากเครื่องเอกสาร์ทຽร์ชันสามารถใช้พิจารณาและปรับปรุงลักษณะของผลิตภัณฑ์ได้ ความสัมพันธ์ที่พบนี้จึงอาจใช้เป็นแนวทางที่จะช่วยให้การดำเนินการแปรรูปเป็นไปได้อย่างสะดวก รวดเร็ว และยังช่วยให้เกิดความเข้าใจในการแปรรูปมากขึ้น อีกทั้งลักษณะความหนืดของผลิตภัณฑ์ และระดับการเกิดเจลلاتติกไซด์เชิงน้ำของสารอาหารที่เป็นตัวบ่งชี้ถึงลักษณะทางกายภาพของผลิตภัณฑ์ได้ถูกทางหนึ่งด้วย ในส่วนของผลกระทบการเติมรำข้าวคิบที่ระดับ 10 เปอร์เซ็นต์ ไม่ส่งผลให้เกิดการเปลี่ยนแปลงทั้งตัวแปรตามจากเครื่องเอกสาร์ทຽร์ชัน และลักษณะทางกายภาพของเอกสาร์ทຽร์ชันมากนักเมื่อเปรียบเทียบกับเป็นข้าว 100 เปอร์เซ็นต์ แต่เมื่อมีการเติมรำข้าวคิบในระดับที่สูงขึ้น คือ 20 เปอร์เซ็นต์ ทำให้เกิดการลดลงของค่าแรงหอร์คและพลังงานกลเข้มข้น และส่งผลไปสู่การลดลงของอัตราการขยายตัว การเพิ่มขึ้นของแรงกดแตก และความหนาแน่นของเอกสาร์ทຽร์ชัน

การใช้ค่างกับรำข้าวมีผลให้เกิดการเปลี่ยนแปลงสมบัติทั้งทางองค์ประกอบทางเคมีและทางกายภาพ การใช้ความร้อนเป็นการเร่งปฏิกิริยาระหว่างค่างกับรำข้าว ได้ศึกว่าการเพิ่มระยะเวลาของปฏิกิริยา นอกจากนี้องค์ประกอบทางเคมีด้านโปรตีน ไขมัน และเต้ามีปริมาณลดลง ในขณะที่ปริมาณไขอหารสูงขึ้นมาก โครงสร้างของรำข้าวเกิดลักษณะที่เป็นรูพรุนมากขึ้นและมีความสามารถในการอุ้มน้ำสูงขึ้น จากการเอกสาร์ทຽร์ชันวัตถุดิบผสมระหว่างแป้งข้าวกับรำข้าวคิบ และแป้งข้าวกับรำข้าวที่ผ่านการใช้ค่าง พนว่าการเพิ่มขึ้นของความสามารถในการอุ้มน้ำของรำข้าวที่ใช้ค่าง การลดลงของปริมาณไขมันและโปรตีนส่งผลที่สำคัญต่อทั้งค่าตัวแปรตามการแปรรูปและลักษณะทางกายภาพของเอกสาร์ทຽร์ชัน โดยการเติมรำข้าวที่ใช้ค่างแทนแป้งข้าว 20 เปอร์เซ็นต์ ทำให้เอกสาร์ทຽร์ชันที่ได้มี

อัตราการขยายตัวสูงกว่าเอกซ์ทຽดจากวัตถุคิบิที่ถูกแทนที่ด้วยรำข้าวคิบ นอกจากนี้ยังพบว่าความดันที่หัวแบบที่สูงขึ้นอย่างมีนัยสำคัญ แรงทอร์คและพลังงานกลจำเพาะมีค่าสูงขึ้นเล็กน้อย ส่งผลให้เอกซ์ทຽดแต่ปัจจุบันรำข้าวที่ใช้ค่ามีความหนาแน่นและมีความแข็งแกร่ง จากการทดลองครั้งนี้จะเห็นได้ว่าการเติมรำข้าวที่ใช้ค่ามีสัดส่วนของไขอาหารมากกว่าเอกซ์ทຽดที่เติมรำข้าวคิบ และยังพบว่าการเติมรำข้าวที่ใช้ค่ามีปริมาณ 20 เปอร์เซ็นต์ ทำให้เอกซ์ทຽดมีลักษณะทางกายภาพที่ดีขึ้น เมื่อเปรียบเทียบกับเอกซ์ทຽดแต่ปัจจุบันรำข้าวคิบที่ทำการผลิตภายใต้สภาวะการแปรรูปเดียวกันซึ่งเป็นการซึ่งให้เห็นถึงแนวโน้มที่จะสามารถเติมรำข้าวที่ใช้ค่าในการผลิตผลิตภัณฑ์ของตัวได้ในปริมาณที่สูงขึ้น

การปรับปรุงคุณภาพของเอกซ์ทຽด โดยใช้รำสกัดไนมันเปรียบเทียบกับรำคิบและการเติมแคลเซียมคาร์บอนเนต การใช้รำสกัดไนมันมีผลให้ผลิตภัณฑ์มีอัตราการขยายตัวต่ำกว่ารำคิบและส่งผลให้แรงกดแตกมากกว่าการใช้รำคิบ สำหรับการเติมแคลเซียมคาร์บอนเนตนั้นสามารถปรับปรุงอัตราการขยายตัวให้เพิ่มขึ้นทั้งในรำคิบและรำสกัด แต่ต้องใช้ในปริมาณที่เหมาะสม ซึ่งส่งผลให้ค่าความกรอบมากขึ้นและความแน่นเนื้อดคลง และจากการทดสอบการยอมรับของผู้บริโภคพบว่าสูตรของเอกซ์ทຽดที่มีการเติมแคลเซียมคาร์บอนเนต 2% ทั้งในส่วนผสมรำคิบและรำสกัด ไนมันนั้นมีความชอบของผู้บริโภคมากที่สุด โดยเมื่อเทียบกับการเก็บของผลิตภัณฑ์ที่อุณหภูมิห้องและ 45°C การเก็บที่อุณหภูมิ 45°C จะเร่งการเกิดออกซิเดชันของไนมันทำให้เกิดความเสื่อมขึ้นในระยะเวลา 3 สัปดาห์ ขณะที่การเก็บที่อุณหภูมิห้อง ความเสื่อมของผลิตภัณฑ์เพิ่มขึ้น ความกรอบลดลง แต่ไม่เกิดกลิ่นหืน และเนื่องจากความเสื่อมเป็นปัจจัยสำคัญต่อการยอมรับของผู้บริโภค ผู้บริโภคจึงให้การยอมรับสูตรของเอกซ์ทຽดจากส่วนผสมรำสกัดที่มีการเติมแคลเซียมคาร์บอนเนต 2% มากที่สุด ดังนั้น การเติมรำข้าวสกัดไนมัน และแคลเซียมคาร์บอนเนตด้วยสูตรนี้จึงเหมาะสมในการพัฒนาผลิตภัณฑ์ขนมพองกรอบจากปัจจุบันที่มีการเพิ่มคุณค่าทางโภชนาการให้มีคุณภาพคงที่และเป็นที่ยอมรับของผู้บริโภคในระหว่างการเก็บรักษา

## บรรณานุกรม

- กมลวรรณ แจ้งชัด. (2541). การแปรรูปอาหาร โดยวิธีเย็กทรูชั่น. อุตสาหกรรมเกษตร. 9(2): 4-8.
- ข่าวธุรกิจในประเทศไทย. 2542. สารพา 6(46) : 3.
- งามชื่น คงเสรี. (2540). คุณภาพข้าวสุก. สารพา. 38: 41-44.
- จิราภา เมืองคล้าย. (2539). การพัฒนาผลิตภัณฑ์อาหารเข้าชนิดแผ่นจากแป้งข้าว. วิทยานิพนธ์ ปริญญาโท. ภาควิชาพัฒนาผลิตภัณฑ์. คณะอุตสาหกรรมเกษตรมหาวิทยาลัยเกษตรศาสตร์.
- ประชา บุญญสิริกุล. (2537). บทบาทของเอกซ์ทรูเดอร์ที่มีต่ออุตสาหกรรมอาหารในประเทศไทย. อาหาร. 24(1): 1-12.
- ประชา บุญญสิริกุล, จุฬาลักษณ์ จารุนุช และ มาดี ผ่องพิพัฒน์พงศ์. (2539). การผลิต อาหารขบเคี้ยวจากถั่วเขียวโดยใช้เครื่องเอกซ์ทรูเดอร์สกรูว์. อาหาร. 26(1): 14-33.
- รุ่งนภา พงศ์สวัสดิ์มานิต และ ประชา บุญญสิริกุล. (2538). การศึกษาคุณสมบัติที่เหมาะสม ของข้าวเจ้าและข้าวเหนียวในการพัฒนาผลิตภัณฑ์ขนมขบเคี้ยวจากเครื่องเอกซ์ทรูเดอร์แบบ สกรูว์. รายงานผลการวิจัย สำนักงานคณะกรรมการแห่งชาติ.
- สายสนม ประดิษฐวงศ์. (2541). อาหารปีองกัน โรค: ข้าวกล้องและรำข้าว. อุตสาหกรรมเกษตร. 9(2): 38-41.
- สุนันทา ทองทา. (2541). เทคโนโลยีของเอกซ์ทรูชั่น. เอกสารประกอบการสอนรายวิชาความถ้วน หน้าใหม่ทางด้านเทคโนโลยีการแปรรูปอาหาร. ภาควิชาเทคโนโลยีอาหาร. คณะเทคโนโลยี. มหาวิทยาลัยขอนแก่น.
- สงกรานต์ จิตรากร. (2526). ความรู้เรื่องข้าว. สถาบันวิจัยข้าว กรมวิชาการเกษตร กระทรวง เกษมและสหกรณ์ กรุงเทพมหานคร.
- Anderson, R.A., Conway, H.F., Pfeifer, V.F. and Griffin, E.L. (1969). Gelatinization of corn grits by roll and extrusion cooking. Cereal Sci. Today. 14: 4-7.
- AOAC. (1997). Official Methods of Analysis. 16<sup>th</sup> ed. Association of Official Analytical Chemists, Washington, D.C.
- Artz, W.E., Warren, C. and Villota, R. (1990). Twin screw extrusion modification of a corn fiber and corn starch extruded blend. J. Food. Sci. 55(3): 746-750,754.
- Bhattacharya, M., and Hanna, M.A. and Kaufman, R.E. (1986). Textural properties of extruded plant protein blends. J. Food Sci. 51(4): 988-993.
- Bhattacharya, M. and Hanna, M.A. (1987). Textural properties of extrusion-cooked corn starch. Lebensm. Wiss. U. Technol. 20(4): 195.

- Bhattacharya, S., Chakraborty, P., Chattoraj, D.K. and Mukherjee, S. (1997). Physico-chemical characteristics of extruded snacks prepared from rice (*Oryza sativa L.*) and chickpea (*Cicer arietinum*) by single screw extrusion. *J. Food Sci. Technol.* 34(4): 320-323.
- Biliaderis, C.G., Page, C.M., Maurice, T.J. and Juliano, B.O. (1986). Thermal Characterization of rice starches: A polymeric approach to phase transitions of granular starch. *J. Agric. Food Chem.* 34: 6-14.
- Berglund, P.T., Fastnaught, C.E. and Holm, E.T. (1994). Physicochemical and sensory evaluation of extruded high-fiber barley cereals. *Cereal Chem.* 71(1): 91-95.
- Boonyasirikool, P. and Chulaluk, C. (2000). Development of Corngrit-Broken Rice Based Snack Food by Extrusion Cooking. *Kasetsart J. (Nat. Sci.)* 34 : 279 – 288.
- Burt, D.J., and Russel, P.L. (1983). Gelatinization of low water content wheat starch-water mixtures. *Starch/starke.* 35(10): 354-360.
- Camire, M.E., Camire, A. and Krumhar, K. (1990). Chemical and nutritional changes in food during extrusion. *Food Sci. Nutr.* 29: 35-57.
- Chaing, B.Y. and Johnson, J.A. (1977). Measurement of total and gelatinized starch by glucoamylase and o-toluidine reagent. *Cereal Chem.* 54(3): 429-435.
- Chinnaswamy, R., and Hanna, M.A. (1988). Optimum extrusion cooking conditions for maximum expansion of corn starch. *J. Food Sci.* 53(3): 834-836,840.
- Cho, S.S., Prosky, L. and Dreher, M. (1999). Complex carbohydrates in foods. Marcel Dekker, New York.
- Choudhury, G.S. and Gautam, A. (1999). Screw configuration effects on macroscopic characteristics of extrudates produced by twin screw extrusion of rice flour. *J. Food Sci.* 64(3) : 479-487.
- Conway, H.F. and Anderson, R.A. (1973). Protein-fortified extruded food products. *Cereal Sci. Today.* 18(4): 94-97.
- Desrumaux, A., Bouvier, J.M. and Burri, J. (1998). Corn grits particle size and distribution effects on the characteristics of expanded extrudates. *J. Food Sci.* 63(5): 857-863.
- Dziezak, J.D. (1989). Single and twin-screw extruders in processing. *Food Technol.* 43: 164-174.
- Eliasson, A.C. (1996). Carbohydrates in foods. Marcel Dekker, New York.
- Feldberg, C. (1969). Extruded starch based snacks. *Cereal Sci. Today.* 4 : 211-215.

- Garber, B.W., Hsieh, F. and Huff, H.E. (1997). Influence of particle size on the twin screw extrusion of corn meal. *Cereal Chem.* 74(5): 656-661.
- Gordon, D.T. (1989). Functional properties vs. physiological action of total dietary fiber. *Cereal Food World.* 34: 517-521.
- Gould, J.M., Jasberg, B.K., Dexter, L.B., Hsu, J.T., Lewis, S.M. and Fahey, G.C. (1989). High-fiber, noncaloric flour substitute for baked foods: properties of alkaline peroxide-treated lignocellulose. *Cereal Chem.* 66(3): 201-205.
- Grenus, K.M., Hsieh, F. and Huff, H.E. (1993). Extrusion and extrudate properties of rice flour. *J. Food Eng.* 18: 229-245.
- Guha, M., Ali, S.Z. and Bhattacharya, S. (1997). Twin-screw extrusion of rice flour without a die: Effect of barrel temperature and screw speed on extrusion and extrudate characteristics. *J. Food Eng.* 32: 251-267.
- Han, O., Lee, S.H., Lee, H.Y., Kim, Y.M. and Min, B.L. (1988). Physicochemical characteristics of rice flour gelatinized by extrusion cooking. *Korean J. Food Sci. Technol.* 20(4) : 470-475.
- Harper, J.M. (1981). Extrusion of food. Vol. I. CRC Press, Forida.
- Hon, D.N.S. and Shiraishi, N. (1990). Wood and cellulosic chemistry. Marcel Dekker, New York.
- Hsieh, F., Mulvaney, S.J., Huff, H.E., Lue, S. and Brent, J. (1989). Effect of dietary fiber and screw speed on some extrusion processing and product variables. *Lebensm. Wiss. U. Technol.* 22(4): 204-207.
- Hsieh, F., Grenus, K.M., Hu, L. and Huff, H.E. (1993). Twin screw extrusion of rice flour with salt and sugar. *Cereal Chem.* 70(5): 493-498.
- Hu, L., Hsieh, F. and Huff, H.E. (1993). Corn meal extrusion with emulsifier and soybean fiber. *Lebensm. Wiss. U. Technol.* 26: 544-551.
- Ilo, S., Liu, Y. and Berghofer, E. (1999). Extrusion cooking of rice flour and amaranth blends. *Lebensm. Wiss. U. Technol.* 32: 79-88.
- Jasberg, B.K., Gould, J.M., Warner, K. and Navickis, L.L. (1989). High fiber, noncaloric flour substitute for baked food: effects of alkaline treated lignocellulose on dough properties. *Cereal Chem.* 66(3): 205-209.
- Jin, Z., Hsieh, I. and Huff, H.E. (1994). Extrusion cooking of corn meal with soy fiber, salt and sugar. *Cereal Chem.* 71(3): 227-234.

- Johnson, I.T. and Southgate, D.A.T. (1994). Dietary fiber and related substances. Chapman & Hall, London.
- Juliano, B.O. (1971). A amplified assay for milled-rice amylose. Cereal Sci. Today. 16 : 334-340.
- Kahlon, T.S., Saunders, R.M., Chow, F.I., Chieu, M.M. and Betschart, A.A. (1990). Influence of rice bran, oat bran, and wheat bran on cholesterol and triglyceride in hamsters. Cereal Chem. 67: 439-443.
- Kirby, A.R., Ollett, A.L., Parker, R. and Smith, A.C. (1988). An experimental study of screw configuration effects in the twin-screw extrusion cooking of maize grits. J. Food Eng. 8: 247-272.
- Lai, C.S., Guetzlaff, J. and Hoseney, R.C. 1989. Role of sodium bicarbonate and trapped air in extrusion. Cereal Chem. 66(2) : 69-73.
- Lajoie, M.S. Goldstein,P.K. and Geeding-Schild, D. 1996. Use of bicarbonates in extrusion processing of ready-to eat cereals. Cereal Foods Worlds, 41(6):448-451.
- Larrea, M.A., Grossmann, M.V., Beleia, A.P. and Tavares, D.Q. (1997). Changes in water absorption and swollen volume in extruded alkaline peroxide pretreated rice hulls. Cereal Chem. 74(2): 98-101.
- Lue, S., Hsieh, F. and Huff, H.E. (1991). Extrusion cooking of corn meal and sugar beet fiber: Effects on expansion properties, starch gelatinization, and dietary fiber content. Cereal Chem. 68(3): 227-234.
- Lue, S., Hsieh, F. and Huff, H.E. (1994). Modeling of twin screw extrusion cooking of corn meal and sugar beet fiber mixtures. J. Food Eng. 21: 263-289.
- Matz, S.A. (1991). The chemistry and technology of cereals as food and feed, 2<sup>nd</sup> ed. AVI Publishing company, New York.
- Mercier, C. and Feillet, P. (1975). Modification of carbohydrate components by extrusion cooking of cereal products. Cereal Chem. 52(3): 283-297.
- Mohamed, S. (1990). Factors affecting extrusion characteristics of expanded starch-based products. J. Food Proc. Preserv. 14: 437-452.
- Ning, L., Villota, R., and Artz, W.E. (1991). Modification of corn fiber through chemical treatments in combination with twin-screw extrusion. Cereal Chem. 68(6): 632-636.
- Oakenfull, D.G. (1989). Rice bran. Food Research Quarterly. 49: 60-65.

- Onwulata, C.I., Konstance, R.P., Smith, P.W., and Holsinger, V.H. (1998). Physical properties of extruded products as affected by cheese whey. *J. Food Sci.* 63(5): 814-818.
- Onwulata, C.I., Konstance, R.P., Smith, P.W., and Holsinger, V.H. (2001). Co-extrusion of dietary fiber and milk protein in extruded corn products. *Lebensm. Wiss. U. Technol.* 34(7): 424-429.
- Orosa, M.E., Laner, D.A. and Chang, D.S.J. (2001) Fried snack, fried snack dough and process for making the same. US patent 6,277,423.
- Pan, B.S., Kong, M.S. and Chen, H.H. (1991). Twin screw extrusion for expanded rice product : Processing parameter and formulation of extruded properties. Ch. 42 in food extrusion science and technology. Kokini, J.L., Ho, C.T. and Karwe, M.V., p. 693-709. Marcel Dekker, New York.
- Roe, J.H. (1955). *J. Biol. Chem.* 212: 335-343. Quoted in D.A.T. Southgate. (1991). Determination of food carbohydrates. 2<sup>nd</sup> ed. Elsevier Science. New York.
- Rossen, J.L. and Miller, R.C. (1973). Food extrusion. *Food Technol.* 27(8): 46-53.
- Ryu, G.H. and Lee, C.H. (1988). Effects of moisture content and particle size of rice flour on physical properties of the extrudate. *Korean J. Food Sci. Technol.* 20(4): 463-469.
- Saunders, R.M. (1990). The properties of rice bran as a foodstuff. *Cereal Foods World.* 35: 632-636.
- Singh, D., Chauhan, G.S., Tyagi, S.M., and Suresh, I. (2000). Extruded snacks from composite of rice brokens and wheat bran. *J. Food Sci. Technol.* 37(1) : 1-5.
- Sjostrom, E. (1993). Wood chemistry: fundamentals and applications, 2<sup>nd</sup> ed. Academic Press, New York.
- Sunderland, R. (1996). Production of third-generation snacks. *Cereal Foods World.* 41(1): 12-14.
- Taranto, M.V., Meinke, W.W., Cater, C.M. and Mattil, K.F. (1975). Parameters affecting production and character of extrusion texturized defatted glandless cottonseed meal. *J. Food Sci.* 40: 1264-1269.
- Tomas, R.L., Oliveira, J.C., Akdogan, H. and McCarthy, K.L. (1994). Effect of operating conditions on physical characteristics of extruded rice starch. *Int. J. Food Sci. Technol.* 29(5) : 503-514.

- Vasanthan, T., Gaosong, J., Yeung, J. and Li, J. (2002). Dietary fiber profile of barley flour as affected by extrusion cooking. *Food Chem.* 77: 35-40.
- Villagran, M.D., Toman, L.J., Byars, K.D., Dawes, N.C. and Zimmernan S.P. (1995). Process for making reduced-fat fried snacks with lighter, more expanded snack structures. US Patent 5,464,642.
- Whalen, P.J., Bason, M.L., Booth, R.I., Walker, C.E. and Williams, P.J. (1997). Measurement of extrusion effects by viscosity profile using the rapid viscoanalyser. *Cereal Foods World.* 42(6): 469-475.
- Yeh, A.I. and Jaw, Y.M. (1999). Effects of feed rate and screw speed on operating characteristics and extrudate properties during single-screw extrusion cooking of rice flour. *Cereal Chem.* 76(2): 236-242.
- Yoshii, Y. and Arisaka, M. (1994). Relationships between physicochemical properties of nonglutinous rice and degree of expansion of rice cracker. *J. Japanese Soc. Food Sci. Technol.* 41(11) : 747-754.
- Yuryev, V.P., Zasyipkin, D.V., Alexeev, V.V., and Bogatyryev, A.N. (1995). Expansion ratio of extrudates perpared from potato starch-soybean protein mixtures. *Carbohydrate Polymers.* 26: 251-218.
- Zasyipkin, D.V., and Lee, T.C. (1998). Extrusion of soybean and wheat flour as affected by moisture content. *J. Food Sci.* 63(6): 1058-1061.

### ภาคผนวก ก

#### การวิเคราะห์องค์ประกอบทางเคมีของวัตถุดินและผลิตภัณฑ์

## 1. การวิเคราะห์ปริมาณความชื้น (AOAC, 1997)

วิธีการ

1. อบภาชนะอะลูมิเนียมสำหรับหาความชื้นในตู้อบไฟฟ้าที่อุณหภูมิ 105 องศาเซลเซียส นาน 2-3 ชั่วโมง นำออกจากตู้อบใส่ไว้ในโถดูดความชื้น จนกระทั่งอุณหภูมิของภาชนะถึงที่อุณหภูมิห้อง แล้วซึ่งและบันทึกน้ำหนักที่แน่นอน
2. ซึ่งตัวอย่างให้ได้น้ำหนักที่แน่นอน 1-3 กรัม ใส่ลงในภาชนะหาความชื้นซึ่งทราบน้ำหนักแล้ว
3. อบตัวอย่างในตู้อบไฟฟ้าที่อุณหภูมิ 105 องศาเซลเซียส นาน 5-6 ชั่วโมง
4. นำออกจากตู้อบใส่ในโถดูดความชื้นแล้วซึ่งน้ำหนัก
5. คำนวณปริมาณความชื้นจากสูตรดังนี้

$$\text{ปริมาณความชื้นคิดเป็น} = \frac{\text{ผลต่างของน้ำหนักตัวอย่างก่อนอบและหลังอบ} \times 100}{\text{ร้อยละโดยน้ำหนัก}} \quad \text{น้ำหนักตัวอย่างเริ่มต้น}$$

## 2. การวิเคราะห์ปริมาณเต้า (AOAC, 1997)

วิธีการ

1. เพาถวยกระเบื้องเคลือบในเตาเผาที่อุณหภูมิ 600 องศาเซลเซียส เป็นเวลาประมาณ 3 ชั่วโมง นำออกจากเตาเผาใส่ในโถดูดความชื้น ปล่อยให้เย็นจนถึงอุณหภูมิห้อง แล้วซึ่งและบันทึกน้ำหนักที่แน่นอน
2. ซึ่งน้ำหนักให้ได้ตัวอย่างแน่นอนประมาณ 2 กรัม ใส่ในถวยกระเบื้องเคลือบที่ซึ่งทราบน้ำหนัก แล้วเผาตัวอย่างในศุ๊จันหมอดควัน แล้วจึงนำเข้าเตาเผาอุณหภูมิ 600 องศาเซลเซียส
3. คำนวณปริมาณเต้าจากสูตรดังนี้

$$\text{ปริมาณเต้าคิดเป็นร้อยละโดยน้ำหนัก} = \frac{\text{น้ำหนักตัวอย่างหลังเผา}}{\text{น้ำหนักตัวอย่างเริ่มต้น}} \times 100$$

### 3. การวิเคราะห์ปริมาณโปรตีน (AOAC, 1997)

อุปกรณ์

1. เครื่องย่อยโปรตีน Kjeldatherm (Gerhardt)
2. เครื่องกลั่นไนโตรเจน Vapodest 30 (Gerhardt)

วิธีการ

1. ชั้งตัวอย่างบนกระดาษกรองให้ได้น้ำหนักแน่นอนประมาณ 0.5-1.0 กรัม ห่อให้มิดชิดใส่ลงในขวดย่อยโปรตีน พร้อมกับลูกแก้ว 4-5 ลูก

2. เติมสารเร่งปฏิกิริยา (สารผสมระหว่างคอมเปอร์ซัลเฟต ( $\text{CuSO}_4$ ) และโพแทสเซียมซัลเฟต ( $\text{K}_2\text{SO}_4$ ) ในอัตราส่วน 1 : 10) จำนวน 5.0 กรัม

3. เติมกรดซัลฟูริกเข้มข้น ( $\text{H}_2\text{SO}_4$ ) ปริมาตร 15-20 มิลลิลิตร และสารป้องกันการเกิดฟอง (anti-foaming agent) 4-5 หยด

4. บออยตัวอย่างโดยใช้เครื่องย่อยโปรตีนที่อุณหภูมิ 380 องศาเซลเซียส จนได้สารละลายใส ตั้งทิ้งไว้ให้เย็น

5. เติมน้ำกลั่นและสารละลายโซเดียมไฮดรอกไซด์เข้มข้น 32 เมอร์เซ็นต์ ปริมาตรอย่างละ 100 มิลลิลิตร ในสารละลายที่ได้จากการบออยตัวอย่างด้วยเครื่องกลั่นไนโตรเจน

6. กลั่นจนได้ปริมาตรของเหลวในขวดรูปหมู่ 150 มิลลิลิตร ซึ่งเติมอินดิเคเตอร์ (สารผสมระหว่างเมทิลีนบลู เมทิลред และไบโรไมคลีซอกรีน) เรียบร้อยแล้ว โดยใช้สารละลายกรดบอริก 4 เมอร์เซ็นต์ ปริมาตร 25 มิลลิลิตร ในการคักรังนกแก๊สในโตรเจน

7. ไถเตรทสารละลายที่กลั่นได้ และสารละลายที่ไร้ตัวอย่างกับกรดไฮโดรคลอริกที่มีความเข้มข้น 0.1 นอร์มัล สีของสารละลายจะเปลี่ยนจากสีเขียวเป็นสีม่วง

8. คำนวณปริมาณโปรตีนจากสูตรดังนี้

$$\text{ปริมาณโปรตีนคิดเป็นร้อยละโดยน้ำหนัก} = \frac{(A-B)N \times 1.4 \times F}{W}$$

เมื่อ

A = ปริมาณกรดที่ใช้ไถเตรทกับตัวอย่าง (มิลลิลิตร)

B = ปริมาณกรดที่ใช้ไถเตรทกับสารละลายที่ไร้ตัวอย่าง (มิลลิลิตร)

N = ความเข้มข้นของกรด (นอร์มัล)

F = ค่าคงที่สำหรับแบ่งข้าวเจ้าคือ 6.25

W = น้ำหนักตัวอย่างเริ่มต้น (กรัม)

#### 4. การวิเคราะห์ปริมาณไขมัน (AOAC, 1997)

อุปกรณ์

ชุดสกัดไขมัน Soxtherm (S306 AK, Gerhardt)

วิธีการ

1. อบบิกเกอร์สำหรับวิเคราะห์ปริมาณไขมันในตู้อบไฟฟ้า ทึ้งให้เย็นในโถดูดความชื้น และชั่งน้ำหนักที่แน่นอน

2. ชั่งตัวอย่างบนกระดาษกรองที่ทราบน้ำหนัก 1-2 กรัม ห่อให้มิดชิด
3. ใส่ตัวอย่างใน thimble คลุมคัวยำลีเพื่อให้สารละลายมีการกระจายอย่างสม่ำเสมอ
4. นำหลอดตัวอย่างใส่ลงในซอคเลต
5. เติมสารตัวทำละลายบีโตรเลียมอีเทอร์ ในบิกเกอร์ท่าไขมันประมาณ 200 มิลลิลิตร
6. ประกอบอุปกรณ์ชุดสกัดไขมัน พร้อมทั้งเปิดน้ำหล่ออุปกรณ์ควบแน่น และเปิดสวิตซ์ให้ความร้อน

7. ใช้เวลาในการสกัดไขมัน 3-4 ชั่วโมง หลังจากนั้นนำไปอบที่อุณหภูมิ 80-90 องศาเซลเซียส จนแห้งใช้เวลาประมาณ 30 นาที ทึ้งให้เย็นในโถดูดความชื้น

8. ชั่งน้ำหนัก และคำนวณปริมาณไขมันจากสูตรดังนี้

$$\text{ปริมาณไขมันคิดเป็นร้อยละโดยน้ำหนัก} = \frac{\text{น้ำหนักไขมันหลังอบ} \times 100}{\text{น้ำหนักตัวอย่างเริ่มต้น}}$$

#### 5. การวิเคราะห์ปริมาณไขอาหาร (AOAC, 1997)

อุปกรณ์

ชุดวิเคราะห์ปริมาณไขอาหาร Fibertec System E

- shaking water bath
- Filtration Module

เอนไซม์

1. Heat-stable  $\alpha$ -amylase (Sigma No. A0164)
2. Protease (Sigma No. P3910)
3. Amyloglucosidase (Sigma No. A9913)

วิธีการ

1. เพาส์วายกระเบื้องเคลือบ (Fritted crucible) 6 ใบ (4 ใบสำหรับตัวอย่าง และ 2 ใบสำหรับแบล็งก์) ในเตาเผา ทำให้เย็น เติม celite 0.5 กรัม อบให้แห้งจนได้น้ำหนักคงที่ เก็บในตู้ดูดความชื้น

2. ถ้าตัวอย่างมีไขมันมากกว่า 5 เปอร์เซ็นต์ ให้สกัดไขมันออกก่อน อบตัวอย่างให้แห้งในตู้อบ 105 องศาเซลเซียส บดตัวอย่างให้ละเอียด แล้วเก็บในตู้ดูดความชื้น
  3. ชั่งตัวอย่างประมาณ 1 กรัม ใส่ลงในบีกเกอร์ทรงสูง เติมฟอสฟอสบัฟเฟอร์ 50 มิลลิลิตร
  4. เติม  $\alpha$ -amylase 0.2 มิลลิลิตร ลงในแต่ละบีกเกอร์ ผสานให้เข้ากัน ปิดบีกเกอร์ด้วย aluminium foil ต้มให้เดือด 30 นาที โดยจับเวลาเมื่อของเหลวภายในมีอุณหภูมิสูงขึ้นถึง 95 องศาเซลเซียส เงย晏บีกเกอร์ทุกๆ 5 นาที ทำให้เย็นลงถึงอุณหภูมิห้อง
  5. ปรับสารละลายให้มี pH 7.5 ด้วย โซเดียมไไซครอไไซด์ 0.17 โนลาร์ (ใช้  $H_3PO_4$  ช่วยในการปรับ pH ถ้าจำเป็น)
  6. เติม Protease 5 มิลลิกรัม โดยเตรียมเป็นสารละลาย 5 มิลลิกรัม/มิลลิลิตร ในฟอสฟอสบัฟเฟอร์ โดยคลาย protease 0.035 กรัม ในบีฟเฟอร์ 7 มิลลิลิตร และใช้สารละลาย protease 1 มิลลิลิตร ต่อตัวอย่าง
  7. ปิดบีกเกอร์ด้วย aluminium foil แล้วบ่มใน shaking water bath อุณหภูมิ 60 องศาเซลเซียส นาน 30 นาที แล้วทำให้เย็นลงถึงอุณหภูมิห้อง
  8. ปรับสารละลายให้เป็น pH 4.5 ด้วยกรดฟอสฟอริก (phosphoric acid) 0.205 โนลาร์
  9. เติม amyloglucosidase 0.3 มิลลิลิตร ปิดบีกเกอร์ด้วย aluminium foil แล้วบ่มใน shaking water bath อุณหภูมิ 60 องศาเซลเซียส นาน 30 นาที
- Total Dietary Fiber
10. เติม 95 % ethanol อุ่นที่ 60 องศาเซลเซียส 280 มิลลิลิตร หรือเติมปริมาตร 4 เท่า ตั้งทิ้งไว้ที่อุณหภูมิห้องให้เกิดตะกอนอย่างน้อย 60 นาที
  11. ทำให้ celite เปียกและกระจายให้ทั่วใน crucible ด้วยอุทกานอล 78 เปอร์เซ็นต์ และใช้ suction ดูดให้ celite เรียงบน crucible อย่างสม่ำเสมอ ทำการ suction อย่างต่อเนื่อง ถ่ายตะกอนและสารละลายจากบีกเกอร์ของตัวอย่างลงใน crucible กรองและล้างด้วยอุทกานอล 78 เปอร์เซ็นต์ 3 ครั้งๆ ละ 20 มล. แล้วล้างด้วยอุทกานอล 95 เปอร์เซ็นต์ 2 ครั้งๆ ละ 10 มิลลิลิตร และล้างครั้งสุดท้ายด้วยอะซีโตน 2 ครั้งๆ ละ 10 มิลลิลิตร
  12. อบ crucible ที่มีการตัวอย่างถังคืนในตู้อบ 105 องศาเซลเซียส ทำให้เย็นในตู้ดูดความชื้น ชั่งน้ำหนักเป็น residue + celite + crucible
  13. วิเคราะห์ปริมาณโปรตีนจากภาคที่ได้หนึ่งในสองของตัวอย่าง และหนึ่งในสองของแบล็งก์ ตามวิธีการวิเคราะห์โปรตีนในข้อ 3. และใช้ 6.25 เป็นค่าคงที่
  14. วิเคราะห์ปริมาณเด็กจากภาคใน crucible ที่เหลือ ตามวิธีข้อ 2. ชั่งน้ำหนักเป็น ash + celite + crucible Insoluble Dietary Fiber

16. ทำให้ celite เปียกและกระจายให้ทั่วใน crucible ด้วยอุทานอต 78 เปอร์เซ็นต์ และใช้ suction ดูดให้ celite เรียงบน crucible อย่างสม่ำเสมอ แล้วกรองของผสมจากการย้อมด้วยเอนไซม์ชื่อ 9 ผ่าน crucible

17. ถางกาดด้วยน้ำอุ่น 70 องศาเซลเซียส 2 ครั้งๆ ละ 10 มิลลิลิตร ใช้น้ำอุ่นสำหรับล้าง crucible เก็บส่วนที่กรองได้ และนำถางໄว้สำหรับวิเคราะห์ปริมาณไขอาหารที่ละลายได้ โดยถ่ายสารละลายลงในบีกเกอร์ขนาด 600 มิลลิลิตร และปฏิบัติตามต่อไปนี้ข้อ 20

18. ถางกาดที่เหลือบน crucible ด้วยอุทานอต 78 เปอร์เซ็นต์ 3 ครั้งๆ ละ 20 มิลลิลิตร แล้วล้างด้วยอุทานอต 95 เปอร์เซ็นต์ 2 ครั้งๆ ละ 10 มิลลิลิตร และถางครั้งสุดท้ายด้วยอะซีโตน 2 ครั้งๆ ละ 10 มิลลิลิตร

19. ปฏิบัติตามข้อ 13-15

#### Soluble Dietary Fiber

20. ชั่งสารละลายจากข้อ 17 แล้วคำนวณเป็นปริมาตรของน้ำที่นำไปสารละลาย

21. เติมอุทานอต 95 เปอร์เซ็นต์ อุ่นที่ 60 องศาเซลเซียส ปริมาตร 3.2 เท่า ตั้งทึ่งไว้ให้ตกละกอนที่อุณหภูมิห้องนาน 60 นาที แล้วปฏิบัติตามขั้นตอนข้อ 12-15

#### การคำนวณ

1. Residue weight =  $(\text{Residue} + \text{celite} + \text{crucible}) - (\text{celite} + \text{crucible})$
2. Ash weight =  $(\text{Ash} + \text{celite} + \text{crucible}) - (\text{celite} + \text{crucible})$
3. % Protein in blank residue =  $\frac{(\text{mg protein in blank}) \times 100}{(\text{blank residue weight in mg.})}$  = Pb
4. % Ash in blank residue =  $\frac{(\text{mg ash in blank}) \times 100}{(\text{blank residue weight in mg.})}$  = Ab
5. % Protein in sample residue =  $\frac{(\text{mg protein in sample}) \times 100}{(\text{sample residue weight in mg.})}$  = Ps
6. % Ash in sample residue =  $\frac{(\text{mg ash in sample}) \times 100}{(\text{sample residue weight in mg.})}$  = As
7. Blank =  $W_b - \{ [(\text{Pb} + \text{Ab})/100] \times W_b \}$   
เมื่อ  $W_b$  = น้ำหนักเฉลี่ยของ blank residue in mg.
8. % Total dietary fiber =  $\frac{W_s - [(\text{Ps} + \text{As})/100 \times W_s] - \text{blank}}{(\text{average weight of samples in mg.})} \times 100$

เมื่อ  $W_s$  = average weight of sample residues in mg.

## 6. การวิเคราะห์ปริมาณอะมิโนส (Juliano, 1971)

### อุปกรณ์

เครื่องสเปกโตร โฟโตมิเตอร์ (Spectrophotometer)

### สารเคมี

1. เอทิลแอลกอฮอล์ 95 เปอร์เซ็นต์

2. สารละลายน้ำเดี่ยวน้ำ 1 นอร์มัล

3. กรดอะซิติก (acetic acid) 1 นอร์มัล

4. สารละลายน้ำไฮโดรเจน (ชั่งไฮโดรเจน 0.2 กรัม และโพแทสเซียมไฮโดรเจน 2.0 กรัม

ละลายน้ำแล้วนำไปต้มในน้ำเดือด 100 มิลลิลิตร)

5. อะมิโนสบาริสูทธิ์

### วิธีการ

1. ชั่งแป้ง 0.1000 กรัม ใส่ในขวดปรับปริมาตรขนาด 100 มิลลิลิตร เติมเอทิลแอลกอฮอล์ 95 เปอร์เซ็นต์ จำนวน 1 มิลลิลิตร เขย่าเบาๆ เพื่อให้แป้งกระจายตัว

2. เติมสารละลายน้ำเดี่ยวน้ำ 1 นอร์มัล จำนวน 9 มิลลิลิตร

3. นำไปต้มในน้ำเดือดนาน 10 นาที ทิ้งให้เย็น ปรับปริมาตรด้วยน้ำกลันให้ได้ 100 มิลลิลิตร ทิ้งไว้ค้างคืน

4. ใช้ปั๊ปดูดสารละลายน้ำแป้งที่เตรียมไว้มา 5 มิลลิลิตร ใส่ในขวดปรับปริมาตรขนาด 100 มิลลิลิตร ที่มีน้ำกลัน 50 มิลลิลิตร กรดอะซิติกความเข้มข้น 1 นอร์มัล จำนวน 1 มิลลิลิตร และสารละลายน้ำไฮโดรเจน จำนวน 2 มิลลิลิตร แล้วเติมน้ำกลันจนได้ปริมาตร 100 มิลลิลิตร เขย่าให้เข้ากัน แล้วตั้งทิ้งไว้ประมาณ 20 นาที

5. นำไปวัดค่าความเข้มสีของสารละลายน้ำโดยใช้เครื่องสเปกโตร โฟโตมิเตอร์ (Spectronic 21) ที่ความยาวคลื่น 62 นาโนเมตร อ่านค่าการดูดกลืนสี (absorbance) ปรับเทียบกับแบล็ค (blank)

6. นำอะมิโนสบาริสูทธิ์ 0.0400 กรัม เตรียมให้เป็นสารละลายน้ำแล้วเทลงในขวดปรับปริมาตรขนาด 100 มิลลิลิตรที่มีน้ำกลันประมาณ 50 มิลลิลิตร กรดอะซิติกความเข้มข้น 1 นอร์มัล จำนวน 0.2, 0.4, 0.6, 0.8 และ 1.0 มิลลิลิตร ตามลำดับ และสารละลายน้ำไฮโดรเจน 2 มิลลิลิตร แล้วปรับปริมาตรด้วยน้ำกลันให้ได้ 100 มิลลิลิตร ทิ้งไว้ประมาณ 20 นาที อ่านค่าการดูดกลืนแสงที่ 620 นาโนเมตร เผย়นกราฟระหว่างความเข้มข้นของอะมิโนสกับค่าการดูดกลืนแสง

7. คำนวณปริมาณอะมิโนสจากการเบริยนเทียบค่าที่ได้กับกราฟมาตรฐาน แล้วแสดงค่าเป็นร้อยละของน้ำหนัก

## 7. การวิเคราะห์ปริมาณสตาร์ช (Roe, 1955)

อุปกรณ์

เครื่องสเปกโตร โฟโตมิเตอร์ (Spectrophotometer)

Reflux condenser

สารเคมี

1. Standard glycogen solution 50 µg/ml
2. 2% Anthrone (in ethyl acetate)

วิธีการ

1. ชั้งตัวอย่างแห้งประมาณ 2 กรัม ใส่ใน ground joint, flat bottom flask ขนาด 500 มิลลิลิตร เติมเอทานอล 95 เปอร์เซ็นต์ 200 มิลลิลิตร ต้มให้เดือดบน hot plate โดยใช้ reflux condenser นาน 20 นาที

2. ทำให้เย็น เทส่วนไส้ออก แล้วล้างภาชนะครั้งต่อไปด้วยเอทานอล 95 เปอร์เซ็นต์ ปริมาตร 100 มิลลิลิตร ให้ความร้อนเล็กน้อย แล้วเทส่วนไส้ออกทิ้ง

3. เติมเอทานอล 200 มิลลิลิตร และ กรดไฮโดรคลอริกเข้มข้น 2 มิลลิลิตร ลงในภาชนะที่เหลือ ทำการ reflux 15 นาที กรองและร่อนด้วยสูญญากาศ ล้างภาชนะด้วยเอทานอล 100 มิลลิลิตรทิ้ง ส่วนของเหลวที่กรองได้

4. ถ่ายภาชนะที่ได้ลงในบีกเกอร์ขนาด 400 มิลลิลิตร เติมน้ำ 100 มิลลิลิตร ต้มให้เดือด 35 นาที กรองและร่อนจนกระหึ่งหมดที่เหลือแห้ง ล้างภาชนะด้วยน้ำร้อน 30 มิลลิลิตร ทิ้งภาชนะ

5. ของเหลวที่ได้จากการกรอง เติมน้ำกลันให้มีปริมาตร 250 มิลลิลิตร ในขวดปรับปริมาตร

6. ปีเปตสารละลายที่เตรียมได้ (ถ้าจำเป็นให้เชือจากตัวอย่าง) ปริมาตร 2 มิลลิลิตร ใส่หลอดทดลองหลอดที่ 1 น้ำ 2 มิลลิลิตร ใส่หลอดทดลองที่ 2 (blank) และสารละลายมาตรฐาน glycogen 2 มิลลิลิตร ใส่หลอดที่ 3

7. ในแต่ละหลอดทดลองเติม anthrone เข้มข้น 2 เปอร์เซ็นต์ จำนวน 0.5 มิลลิลิตร เติม conc.  $H_2SO_4$  5 มิลลิลิตร ค่อยๆ เติมให้  $H_2SO_4$  เป็นชั้นอยู่ส่วนล่างของหลอดทดลอง เผย่าหลอดทดลองเบาๆ ให้ ethyl acetate ถูกไฮดรไลซ์ โดยจะสังเกตจากกลุ่มตะกอนของ anthrone ที่เกิดขึ้น แล้วเบย่าอย่างรวดเร็วให้สีที่เกิดขึ้นสมกัน

8. ตั้งทิ้งไว้ 20 นาทีในที่มืด แล้ววัดค่าการดูดกลืนแสงที่ 620 นาโนเมตร โดยใช้ตัวอย่างน้ำเป็นแบลนก์

9. คำนวณปริมาณสตาร์ชของตัวอย่างโดย Beer and Lambert's Law

$$\text{Conc. Sample} = \frac{\text{Abs. Sample} \times \text{Conc. Std} \times \text{DF}}{\text{Abs. Std}}$$

8. การวิเคราะห์ระดับการเกิดเจลلاتีนชี้เชิงของสตาร์ช (Chiang and Johnson, 1977)

อุปกรณ์

เครื่องสเปกโตรโฟโตมิเตอร์ (Spectrophotometer)

สารเคมี

1. O-Toluidine Reagent โดยละลาย thiourea 1.5 กรัม ในกรดอะซีติกเข้มข้น 940 มิลลิลิตร และเติม o-toluidine 60 มิลลิลิตร เก็บในขวดสีชา

2. Sodium Acetate Buffer ละลาย anhydrous sodium acetate 4.1 กรัม ในน้ำกลั่น 1000 มิลลิลิตร และปรับให้เป็น pH 4.5 ด้วยกรดอะซีติก

3. Glucoamylase solution ละลาย Rhizopus glucoamylase (Sigma No. A7255) ใน Sodium Acetate Buffer 250 มิลลิลิตร กรองและใช้ภายใน 2 ชั่วโมง

4. 25% trichloroacetic acid

วิธีการ

1. เตรียมตัวอย่างที่สตาร์ชถูกเจลلاتีนชี้ไปทั้งหมด โดยเตรียมเอกสารที่ระบุเดติน้ำให้มีความเข้มข้น 2 เปอร์เซ็นต์ นำเข้าหม้อนึ่งความดันไอน้ำที่ 120 องศาเซลเซียส ความดัน 15 ปอนด์ต่อตารางนิ้ว เป็นเวลา 1 ชั่วโมง นำออกน้ำดีแล้วนำไปล้างด้วยน้ำอุ่น แล้วล้างด้วยน้ำเย็นอีก 2 ครั้ง กรอง และทำให้แห้ง แล้วบดตัวอย่างที่ได้ผ่านตะราชรังขนาด 80 เมช นำตัวอย่างที่ได้ 20 มิลลิกรัม กับน้ำกลั่น 3 มิลลิลิตร ในหลอดปั่นเหวี่ยงขนาด 50 มิลลิลิตร ที่บรรจุสารละลายโซเดียมไอก្រอกไชด์เข้มข้น 1 นอร์มัล 1 มิลลิลิตร ตั้งทิ้งไว้ 5 นาที แล้วเติมกรดไอก្រอกคลอริก 1 นอร์มัล 1 มิลลิลิตร เติมสารละลายเอนไซม์ glucoamylase 25 มิลลิลิตร ในแต่ละหลอด บ่มที่ 40 องศาเซลเซียส เป็นเวลา 30 นาที

2. เตรียมตัวอย่างที่สตาร์ชถูกเจลلاتีนชี้ไปบางส่วน โดยผสมตัวอย่างเอกสารที่ระบุเดต 20 มิลลิกรัม กับน้ำกลั่น 5 มิลลิลิตร ในหลอดปั่นเหวี่ยงขนาด 50 มิลลิลิตร

3. เติม 25% Trichloroacetic acid (TCA) 2 มิลลิลิตร เพื่อบันยั้งและตกตะกอนเอนไซม์

4. ปั่นเหวี่ยงที่ 16,000 x g เป็นเวลา 5 นาที

5. ปีปตส่วนใส 5 มิลลิลิตร ใส่ลงในหลอดทดลอง เติม o-toluidine reagent 4.5 มิลลิลิตร

6. วางหลอดทดลองในน้ำเดือดเป็นเวลา 10 นาที แล้วทำให้เย็นลงด้วยน้ำเย็น

7. เติมกรดอะซีติกเข้มข้น 5 มิลลิลิตร แล้ววัดค่าการดูดกลืนแสงที่ 630 นาโนเมตร

การคำนวณ

$$Y = \frac{100(B - k)}{A - k}$$

$$\text{เมื่อ } k = \frac{A(C - B)}{A - 2B + C}$$

- A = ค่าการคูดกลืนแสงของสตาร์ชที่ถูกเจลตาติในซีปีทั้งหมด
- B = ค่าการคูดกลืนแสงของสตาร์ชที่ถูกเจลตาติในซีปีบางส่วนหลังการบ่มด้วยเอนไซม์เป็นเวลา 30 นาที
- C = ค่าการคูดกลืนแสงของสตาร์ชที่ถูกเจลตาติในซีปีบางส่วนหลังการบ่มด้วยเอนไซม์เป็นเวลา 60 นาที
- k = ค่าคงที่สำหรับแต่ละพันธุ์ของสตาร์ช
- Y = เมอร์เซ่นต์เจลตาติในซีสตาร์ช

### ภาคผนวก ข

ค่าตอบสนองเฉลี่ยของตัวแปรตามการແປรງปและสมบัติทางกายภาพของผลิตภัณฑ์

ตารางที่ 1x ค่าเฉลี่ยของตัวแปรตามการแปรรูปจากกระบวนการเรอกซ์ทรูชันเป็นข้าว 100 เมอร์เซ่นต์

| feed moisture content (%) | screw speed (rpm) | barrel temperature (°C) | torque (%) | SME (kJ/kg) | product temperature (°C) | die pressure (psi) |
|---------------------------|-------------------|-------------------------|------------|-------------|--------------------------|--------------------|
| 20                        | 250               | 170                     | 93.0       | 334.54      | 164.5                    | 300                |
| 20                        | 350               | 170                     | 80.5       | 405.40      | 165.0                    | 215                |
| 24                        | 250               | 170                     | 69.5       | 237.41      | 161.5                    | 230                |
| 24                        | 350               | 170                     | 62.0       | 296.65      | 163.0                    | 185                |
| 20                        | 300               | 160                     | 87.5       | 377.70      | 154.0                    | 320                |
| 20                        | 300               | 180                     | 81.0       | 349.64      | 173.0                    | 205                |
| 24                        | 300               | 160                     | 66.5       | 272.73      | 152.5                    | 230                |
| 24                        | 300               | 180                     | 66.5       | 272.73      | 170.5                    | 190                |
| 22                        | 250               | 160                     | 82.5       | 289.38      | 155.5                    | 310                |
| 22                        | 250               | 180                     | 80.5       | 282.36      | 170.5                    | 230                |
| 22                        | 350               | 160                     | 71.0       | 348.65      | 154.5                    | 255                |
| 22                        | 350               | 180                     | 69.0       | 338.83      | 171.0                    | 200                |
| 22                        | 300               | 170                     | 75.0       | 315.68      | 163.5                    | 245                |
| 22                        | 300               | 170                     | 74.0       | 311.47      | 164.0                    | 235                |
| 22                        | 300               | 170                     | 74.0       | 311.47      | 163.5                    | 245                |

ตารางที่ 2x ค่าเฉลี่ยของตัวแปรตามการแปรรูปจากกระบวนการเรอกซ์ทรูชันเป็นข้าวผงสมรำข้าวคิบ  
10 เมตรเซ็นต์

| feed moisture content (%) | screw speed (rpm) | barrel temperature (°C) | torque (%) | SME (kJ/kg) | product temperature (°C) | die pressure (psi) |
|---------------------------|-------------------|-------------------------|------------|-------------|--------------------------|--------------------|
| 20                        | 250               | 170                     | 87.5       | 313.43      | 140.0                    | 225                |
| 20                        | 350               | 170                     | 79.5       | 398.69      | 140.5                    | 175                |
| 24                        | 250               | 170                     | 70.0       | 238.19      | 139.0                    | 160                |
| 24                        | 350               | 170                     | 63.5       | 302.50      | 137.5                    | 155                |
| 20                        | 300               | 160                     | 89.0       | 382.57      | 137.0                    | 245                |
| 20                        | 300               | 180                     | 82.0       | 352.48      | 145.5                    | 200                |
| 24                        | 300               | 160                     | 71.5       | 291.95      | 133.0                    | 195                |
| 24                        | 300               | 180                     | 68.0       | 277.66      | 144.0                    | 175                |
| 22                        | 250               | 160                     | 84.5       | 295.05      | 133.5                    | 250                |
| 22                        | 250               | 180                     | 81.0       | 282.83      | 144.0                    | 160                |
| 22                        | 350               | 160                     | 76.5       | 373.97      | 134.5                    | 205                |
| 22                        | 350               | 180                     | 75.0       | 366.63      | 148.0                    | 160                |
| 22                        | 300               | 170                     | 76.0       | 318.45      | 139.5                    | 165                |
| 22                        | 300               | 170                     | 76.5       | 320.54      | 139.5                    | 160                |
| 22                        | 300               | 170                     | 77.0       | 322.64      | 139.5                    | 165                |

ตารางที่ 3x ค่าเฉลี่ยของตัวแปรตามการแปรรูปจากการกระบวนการเอกซ์ทรูชันเป็นข้าวผงสมรำข้าวคิบ

20 เบอร์เซ็นต์

| feed moisture content (%) | screw speed (rpm) | barrel temperature (°C) | torque (%) | SME (kJ/kg) | product temperature (°C) | die pressure (psi) |
|---------------------------|-------------------|-------------------------|------------|-------------|--------------------------|--------------------|
| 20                        | 250               | 170                     | 84.0       | 302.48      | 155.5                    | 185                |
| 20                        | 350               | 170                     | 67.0       | 317.50      | 154.0                    | 200                |
| 24                        | 250               | 170                     | 66.5       | 230.76      | 151.0                    | 170                |
| 24                        | 350               | 170                     | 52.0       | 248.95      | 152.5                    | 160                |
| 20                        | 300               | 160                     | 78.0       | 337.16      | 147.5                    | 220                |
| 20                        | 300               | 180                     | 74.0       | 324.01      | 161.5                    | 190                |
| 24                        | 300               | 160                     | 57.5       | 235.97      | 142.5                    | 170                |
| 24                        | 300               | 180                     | 60.5       | 252.66      | 159.5                    | 160                |
| 22                        | 250               | 160                     | 75.0       | 266.89      | 144.5                    | 220                |
| 22                        | 250               | 180                     | 70.0       | 250.92      | 159.5                    | 160                |
| 22                        | 350               | 160                     | 60.0       | 299.57      | 146.5                    | 180                |
| 22                        | 350               | 180                     | 58.0       | 285.00      | 161.0                    | 140                |
| 22                        | 300               | 170                     | 63.5       | 267.54      | 153.5                    | 160                |
| 22                        | 300               | 170                     | 64.5       | 271.76      | 153.5                    | 170                |
| 22                        | 300               | 170                     | 64.0       | 269.64      | 153.5                    | 165                |

**ตารางที่ 4ข ค่าเฉลี่ยของตัวแปรตามการแปรรูปจากกระบวนการเอกซ์ทรูชันแบ่งข้าวผงสมรำข้าวที่ใช้ด่าง 20 เปอร์เซ็นต์**

| feed moisture content (%) | screw speed (rpm) | barrel temperature (°C) | torque (%) | SME (kJ/kg) | product temperature (°C) | die pressure (psi) |
|---------------------------|-------------------|-------------------------|------------|-------------|--------------------------|--------------------|
| 20                        | 250               | 170                     | 87.0       | 312.89      | 163                      | 245                |
| 20                        | 350               | 170                     | 67.0       | 337.34      | 166                      | 220                |
| 24                        | 250               | 170                     | 65.5       | 223.72      | 161                      | 185                |
| 24                        | 350               | 170                     | 52.5       | 251.04      | 164                      | 180                |
| 20                        | 300               | 160                     | 83.0       | 358.20      | 159                      | 260                |
| 20                        | 300               | 180                     | 73.0       | 315.04      | 171                      | 245                |
| 24                        | 300               | 160                     | 69.0       | 282.81      | 156                      | 150                |
| 24                        | 300               | 180                     | 54.0       | 221.33      | 166                      | 180                |
| 22                        | 250               | 160                     | 81.5       | 285.69      | 164                      | 225                |
| 22                        | 250               | 180                     | 69.0       | 241.87      | 167                      | 205                |
| 22                        | 350               | 160                     | 63.5       | 311.63      | 156                      | 230                |
| 22                        | 350               | 180                     | 59.0       | 289.54      | 171                      | 195                |
| 22                        | 300               | 170                     | 64.5       | 271.31      | 163                      | 215                |
| 22                        | 300               | 170                     | 63.5       | 267.11      | 162                      | 205                |
| 22                        | 300               | 170                     | 64.5       | 271.31      | 164                      | 205                |

ตารางที่ 5x ค่าเฉลี่ยของลักษณะทางกายภาพของเอกซ์ทรูเดตแบ่งช้า 100 เปอร์เซ็นต์

| feed moisture content (%) | screw speed (rpm) | barrel temperature ( °C) | expansion ratio | compression force (g) | piece density (g/cm <sup>3</sup> ) |
|---------------------------|-------------------|--------------------------|-----------------|-----------------------|------------------------------------|
| 20                        | 250               | 170                      | 3.26            | 4071.46               | 0.0527                             |
| 20                        | 350               | 170                      | 2.97            | 5844.01               | 0.0492                             |
| 24                        | 250               | 170                      | 2.76            | 7228.62               | 0.0589                             |
| 24                        | 350               | 170                      | 2.66            | 8995.66               | 0.0548                             |
| 20                        | 300               | 160                      | 3.16            | 4214.79               | 0.0560                             |
| 20                        | 300               | 180                      | 2.63            | 5968.35               | 0.0471                             |
| 24                        | 300               | 160                      | 2.96            | 6800.45               | 0.0584                             |
| 24                        | 300               | 180                      | 2.37            | 10560.27              | 0.0554                             |
| 22                        | 250               | 160                      | 3.13            | 4704.87               | 0.0577                             |
| 22                        | 250               | 180                      | 2.95            | 6005.38               | 0.0528                             |
| 22                        | 350               | 160                      | 3.01            | 5054.59               | 0.0532                             |
| 22                        | 350               | 180                      | 2.08            | 8299.84               | 0.0530                             |
| 22                        | 300               | 170                      | 2.95            | 5664.24               | 0.0518                             |
| 22                        | 300               | 170                      | 2.96            | 5426.23               | 0.0517                             |
| 22                        | 300               | 170                      | 2.97            | 5422.29               | 0.0535                             |

ตารางที่ ๖ฯ ค่าเฉลี่ยของลักษณะทางกายภาพของเอกซ์ทรูเดตเม็ดข้าวผสมรำข้าวคิบ ๑๐ เปอร์เซ็นต์

| feed moisture content (%) | screw speed (rpm) | barrel temperature ( °C) | expansion ratio | compression force (g) | piece density (g/cm <sup>3</sup> ) |
|---------------------------|-------------------|--------------------------|-----------------|-----------------------|------------------------------------|
| 20                        | 250               | 170                      | 2.95            | 5493.87               | 0.0485                             |
| 20                        | 350               | 170                      | 2.83            | 5034.20               | 0.0435                             |
| 24                        | 250               | 170                      | 2.68            | 6841.76               | 0.0549                             |
| 24                        | 350               | 170                      | 2.54            | 7619.44               | 0.0515                             |
| 20                        | 300               | 160                      | 3.17            | 3848.32               | 0.0456                             |
| 20                        | 300               | 180                      | 2.73            | 5771.80               | 0.0436                             |
| 24                        | 300               | 160                      | 2.7             | 6483.74               | 0.0550                             |
| 24                        | 300               | 180                      | 2.68            | 8547.62               | 0.0495                             |
| 22                        | 250               | 160                      | 3.04            | 5144.52               | 0.0506                             |
| 22                        | 250               | 180                      | 2.65            | 6713.82               | 0.0459                             |
| 22                        | 350               | 160                      | 3.07            | 4954.21               | 0.0483                             |
| 22                        | 350               | 180                      | 2.44            | 6895.84               | 0.0467                             |
| 22                        | 300               | 170                      | 2.66            | 6649.19               | 0.0497                             |
| 22                        | 300               | 170                      | 2.72            | 7193.22               | 0.0497                             |
| 22                        | 300               | 170                      | 2.92            | 6452.40               | 0.0485                             |

ตารางที่ 7x ค่าเฉลี่ยของลักษณะทางกายภาพของเอกซ์ทรูเดตเม็ดเป็นข้าวผสมรำข้าวคิน 20 เปอร์เซ็นต์

| feed moisture content (%) | screw speed (rpm) | barrel temperature ( °C) | expansion ratio | compression force (g) | piece density (g/cm <sup>3</sup> ) |
|---------------------------|-------------------|--------------------------|-----------------|-----------------------|------------------------------------|
| 20                        | 250               | 170                      | 2.50            | 7265.38               | 0.0502                             |
| 20                        | 350               | 170                      | 2.32            | 8866.04               | 0.0489                             |
| 24                        | 250               | 170                      | 1.69            | 11814.50              | 0.0576                             |
| 24                        | 350               | 170                      | 1.52            | 13892.75              | 0.0581                             |
| 20                        | 300               | 160                      | 2.88            | 5768.02               | 0.0511                             |
| 20                        | 300               | 180                      | 1.72            | 6868.95               | 0.0552                             |
| 24                        | 300               | 160                      | 2.22            | 9614.68               | 0.0571                             |
| 24                        | 300               | 180                      | 1.39            | 13158.81              | 0.0617                             |
| 22                        | 250               | 160                      | 2.98            | 7594.40               | 0.0554                             |
| 22                        | 250               | 180                      | 1.58            | 10157.24              | 0.0597                             |
| 22                        | 350               | 160                      | 2.23            | 11231.30              | 0.0560                             |
| 22                        | 350               | 180                      | 1.61            | 7730.46               | 0.0623                             |
| 22                        | 300               | 170                      | 1.87            | 12184.00              | 0.0557                             |
| 22                        | 300               | 170                      | 1.86            | 12220.76              | 0.0579                             |
| 22                        | 300               | 170                      | 1.82            | 12281.31              | 0.0585                             |

ตารางที่ 8x ค่าเฉลี่ยของลักษณะทางกายภาพของเอกซ์ทรูเดตเม็ดข้าวผอมรำข้าวที่ใช้ด่าง 20 เมอร์เซ็นต์

| feed moisture content (%) | screw speed (rpm) | barrel temperature ( °C) | expansion ratio | compression force (g) | piece density (g/cm <sup>3</sup> ) |
|---------------------------|-------------------|--------------------------|-----------------|-----------------------|------------------------------------|
| 20                        | 250               | 170                      | 2.67            | 8359.71               | 0.0554                             |
| 20                        | 350               | 170                      | 2.55            | 7081.60               | 0.0521                             |
| 24                        | 250               | 170                      | 2.30            | 12637.01              | 0.0604                             |
| 24                        | 350               | 170                      | 2.26            | 10410.09              | 0.0571                             |
| 20                        | 300               | 160                      | 2.67            | 6821.44               | 0.0550                             |
| 20                        | 300               | 180                      | 2.58            | 6977.54               | 0.0537                             |
| 24                        | 300               | 160                      | 2.01            | 12526.14              | 0.0562                             |
| 24                        | 300               | 180                      | 2.25            | 10564.18              | 0.0542                             |
| 22                        | 250               | 160                      | 2.46            | 9369.48               | 0.0566                             |
| 22                        | 250               | 180                      | 2.44            | 8657.03               | 0.0565                             |
| 22                        | 350               | 160                      | 2.54            | 7513.48               | 0.0570                             |
| 22                        | 350               | 180                      | 2.41            | 8006.84               | 0.0553                             |
| 22                        | 300               | 170                      | 2.62            | 8052.51               | 0.0556                             |
| 22                        | 300               | 170                      | 2.60            | 7921.61               | 0.0561                             |
| 22                        | 300               | 170                      | 2.69            | 7804.67               | 0.0567                             |

ภาคผนวก ก  
ผลการวิเคราะห์ทางสถิติ

ตารางที่ 1ค สัมประสิทธิ์สมการผลถอยของตัวแปรตามการแปรรูปสำหรับแป้งข้าว 100 เปอร์เซ็นต์

|                              | torque<br>(%)                 | specific energy<br>(kJ/kg)  | die pressure<br>(psi)         | product<br>temperature<br>(°C) |
|------------------------------|-------------------------------|-----------------------------|-------------------------------|--------------------------------|
| intercept                    | 213.164                       | 665.09                      | 738.53                        | 17.538                         |
| moisture (mc)                | -4.844 **                     | -24.235 **                  | ns                            | ns                             |
| screw speed (ss)             | ns                            | 0.932 **                    | ns                            | ns                             |
| barrel temperature<br>(temp) | ns                            | ns                          | ns                            | 0.856 **                       |
| mc <sup>2</sup>              | ns                            | ns                          | ns                            | ns                             |
| ss <sup>2</sup>              | ns                            | ns                          | ns                            | ns                             |
| temp <sup>2</sup>            | ns                            | ns                          | ns                            | ns                             |
| mc × ss                      | ns                            | ns                          | ns                            | ns                             |
| mc × temp                    | ns                            | ns                          | - 8.674 X 10 <sup>-2</sup> ** | ns                             |
| ss × temp                    | - 6.098 X 10 <sup>-4</sup> ** | 1.864 X 10 <sup>-3</sup> ** | - 3.421 X 10 <sup>-2</sup> ** | ns                             |
| R <sup>2</sup>               | 0.93                          | 0.959                       | 0.769                         | 0.806                          |

\* P<0.05, \*\* P<0.01.

ns ไม่แตกต่างทางสถิติ (p>0.05)

ตารางที่ 2ค สัมประสิทธิ์สมการถดถอยของตัวแปรตามการเปลี่ยนรูปสำหรับเปลี่ยนหัวพสมรำหัวดิบ 10 เปอร์เซ็นต์

|                          | torque<br>(%)               | specific energy<br>(kJ/kg)    | die pressure<br>(psi)        |
|--------------------------|-----------------------------|-------------------------------|------------------------------|
| intercept                | 144.749                     | 109.906                       | 524.120                      |
| moisture (mc)            | ns                          | ns                            | ns                           |
| screw speed (ss)         | ns                          | ns                            | ns                           |
| barrel temperature(temp) | ns                          | ns                            | ns                           |
| mc <sup>2</sup>          | -9.26 X 10 <sup>-2</sup> ** | ns                            | ns                           |
| ss <sup>2</sup>          | ns                          | ns                            | ns                           |
| temp <sup>2</sup>        | ns                          | ns                            | ns                           |
| mc × ss                  | ns                          | - 5.442 X 10 <sup>-2</sup> ** | ns                           |
| mc × temp                | ns                          | ns                            | - 6.79 X 10 <sup>-2</sup> ** |
| ss × temp                | -4.42 X 10 <sup>-4</sup> ** | 1.142 X 10 <sup>-2</sup> **   | - 1.64 X 10 <sup>-3</sup> ** |
| R <sup>2</sup>           | 0.922                       | 0.855                         | 0.598                        |

\* P<0.05, \*\* P<0.01.

ns ไม่แตกต่างทางสถิติ (p>0.05)

ตารางที่ 3ค สัมประสิทธิ์สมการถดถอยของตัวแปรตามการแปรรูปเอกสารชั้นสำหรับเบื้องข้าวผสมรำ  
ข้าวคิบ 20 เปอร์เซ็นต์

|                             | torque<br>(%)                | specific energy<br>(kJ/kg)  | die pressure<br>(psi)         | product<br>temperature<br>(°C) |
|-----------------------------|------------------------------|-----------------------------|-------------------------------|--------------------------------|
| intercept                   | 150.963                      | 707.499                     | 393.091                       | 24.504                         |
| moisture (mc)               | - 1.620 **                   | - 22.955 **                 | ns                            | ns                             |
| screw speed (ss)            | ns                           | ns                          | ns                            | ns                             |
| barrel<br>temperature(temp) | ns                           | ns                          | ns                            | 0.756 **                       |
| mc <sup>2</sup>             | ns                           | ns                          | ns                            | ns                             |
| ss <sup>2</sup>             | ns                           | ns                          | ns                            | ns                             |
| temp <sup>2</sup>           | ns                           | ns                          | ns                            | ns                             |
| mc × ss                     | -7.413 X 10 <sup>-3</sup> ** | 1.135 X 10 <sup>-2</sup> ** | ns                            | ns                             |
| mc × temp                   | ns                           | ns                          | - 5.831 X 10 <sup>-2</sup> ** | ns                             |
| ss × temp                   | ns                           | ns                          | ns                            | ns                             |
| R <sup>2</sup>              | 0.871                        | 0.853                       | 0.620                         | 0.496                          |

\* P<0.05, \*\* P<0.01.

ns ไม่แตกต่างทางสถิติ (p>0.05)

ตารางที่ 4ค สัมประสิทธิ์สมการผลด้อยของตัวแปรตามการประยูปออกซ์ฟอร์ชันสำหรับเป็นข้าว  
ผสานรำข้าวที่ใช้ต่าง 20 เมตรเซนต์

|                          | torque<br>(%)                 | specific energy<br>(kJ/kg)  | die pressure<br>(psi) |
|--------------------------|-------------------------------|-----------------------------|-----------------------|
| intercept                | 206.903                       | 656.282                     | 399.766               |
| moisture (mc)            | ns                            | ns                          | ns                    |
| screw speed (ss)         | - 0.153 **                    | ns                          | ns                    |
| barrel temperature(temp) | ns                            | ns                          | ns                    |
| mc <sup>2</sup>          | ns                            | ns                          | - 0.391 **            |
| ss <sup>2</sup>          | ns                            | ns                          | ns                    |
| temp <sup>2</sup>        | ns                            | ns                          | ns                    |
| mc × ss                  | ns                            | ns                          | ns                    |
| mc × temp                | - 2.497 X 10 <sup>-2</sup> ** | - 0.126 **                  | ns                    |
| ss × temp                | ns                            | 1.887 X 10 <sup>-3</sup> ** | ns                    |
| R <sup>2</sup>           | 0.918                         | 0.927                       | 0.689                 |

\* P<0.05, \*\* P<0.01.

ns ไม่มีแตกต่างทางสถิติ (p>0.05)

ตารางที่ 5ค สัมประสิทธิ์สมการลดออยของลักษณะทางกายภาพของเอกสารที่รู้เดตเป็นข้าว 100 เปอร์เซ็นต์

|                           | expansion ratio             | piece density<br>(g/cm <sup>3</sup> ) | compression force<br>(g)    |
|---------------------------|-----------------------------|---------------------------------------|-----------------------------|
| intercept                 | 5.542                       | 7.806 X 10 <sup>-2</sup>              | -16397.138                  |
| moisture (mc)             | ns                          | ns                                    | ns                          |
| screw speed (ss)          | 7.563 X 10 <sup>-3</sup> ** | ns                                    | ns                          |
| barrel temperature (temp) | ns                          | -2.113 X 10 <sup>-4</sup> **          | ns                          |
| mc <sup>2</sup>           | ns                          | 4.129 X 10 <sup>-5</sup> **           | ns                          |
| ss <sup>2</sup>           | ns                          | ns                                    | ns                          |
| temp <sup>2</sup>         | ns                          | ns                                    | ns                          |
| mc × ss                   | ns                          | -1.370 X 10 <sup>-6</sup> **          | ns                          |
| mc × temp                 | -4.46 X 10 <sup>-4</sup> ** | ns                                    | 4.847 **                    |
| ss × temp                 | -6.45 X 10 <sup>-5</sup> ** | ns                                    | 8.928 X 10 <sup>-2</sup> ** |
| R <sup>2</sup>            | 0.790                       | 0.659                                 | 0.869                       |

\* P<0.05, \*\* P<0.01.

ns ไม่แตกต่างทางสถิติ (p>0.05)

ตารางที่ 6ค สัมประสิทธิ์สมการถดถอยของลักษณะทางกายภาพของเอกสารที่รูดเดคเป็นข้าวผสานรำข้าว  
ดิบ 10 เปรอร์เซ็นต์

|                          | expansion ratio            | piece density<br>(g/cm <sup>3</sup> ) | compression force<br>(g)    |
|--------------------------|----------------------------|---------------------------------------|-----------------------------|
| intercept                | 26.563                     | 5.057 X 10 <sup>-2</sup>              | -142290                     |
| moisture (mc)            | -0.938 *                   | ns                                    | ns                          |
| screw speed (ss)         | ns                         | -2.462 X 10 <sup>-5</sup> **          | ns                          |
| barrel temperature(temp) | -0.129 **                  | ns                                    | 1579.44 **                  |
| mc <sup>2</sup>          | ns                         | 7.318 X 10 <sup>-5</sup> **           | ns                          |
| ss <sup>2</sup>          | ns                         | ns                                    | -7.17 X 10 <sup>-2</sup> ** |
| temp <sup>2</sup>        | ns                         | ns                                    | -4.37 *                     |
| mc X ss                  | ns                         | ns                                    | 1.984 **                    |
| mc X temp                | 5.125 X 10 <sup>-3</sup> * | 7.318 X 10 <sup>-5</sup> **           | ns                          |
| ss X temp                | -6.66 X 10 <sup>-6</sup> * | ns                                    | ns                          |
| R <sup>2</sup>           | 0.749                      | 0.793                                 | 0.788                       |

\* P<0.05, \*\* P<0.01.

ns ไม่แตกต่างทางสถิติ (p>0.05)

ตารางที่ 7ค สัมประสิทธิ์สมการลดด้อยของลักษณะทางกายภาพของเอกซ์ทรูเดตเมื่อข้าวพสูตร化  
ข้าวติน 20 เปอร์เซ็นต์

|                          | expansion ratio              | piece density<br>(g/cm <sup>3</sup> ) | compression force<br>(g) |
|--------------------------|------------------------------|---------------------------------------|--------------------------|
| intercept                | 12.308                       | 1.595 X 10 <sup>-2</sup>              | -17061.241               |
| moisture (mc)            | ns                           | ns                                    | 1232.022 **              |
| screw speed (ss)         | ns                           | ns                                    | ns                       |
| barrel temperature(temp) | -4.806 X 10 <sup>-2</sup> ** | ns                                    | ns                       |
| mc <sup>2</sup>          | ns                           | ns                                    | ns                       |
| ss <sup>2</sup>          | -1.500 X 10 <sup>-5</sup> ** | ns                                    | ns                       |
| temp <sup>2</sup>        | ns                           | ns                                    | ns                       |
| mc × ss                  | -5.267 X 10 <sup>-4</sup> ** | ns                                    | ns                       |
| mc × temp                | ns                           | 1.080 X 10 <sup>-5</sup> **           | ns                       |
| ss × temp                | ns                           | ns                                    | ns                       |
| R <sup>2</sup>           | 0.926                        | 0.682                                 | 0.494                    |

\* P<0.05, \*\* P<0.01.

ns ไม่แตกต่างทางสถิติ (p>0.05)

ตารางที่ 8ค สัมประสิทธิ์สมการถดถอยของลักษณะทางกายภาพของเอกสารที่รูดตัวเปลี่ยนข้าวฟูน้ำ ข้าวที่ใช้ค่าง 20 เปอร์เซ็นต์

|                          | expansion ratio              | piece density<br>(g/cm <sup>3</sup> ) | compression force<br>(g)     |
|--------------------------|------------------------------|---------------------------------------|------------------------------|
| intercept                | -10.081                      | 4.596 X 10 <sup>-2</sup>              | 138560.98                    |
| moisture (mc)            | 1.250 **                     | 7.313 X 10 <sup>-4</sup> **           | -12505.167 **                |
| screw speed (ss)         | ns                           | ns                                    | 308.210 **                   |
| barrel temperature(temp) | ns                           | ns                                    | ns                           |
| mc <sup>2</sup>          | -3.074 X 10 <sup>-2</sup> ** | ns                                    | ns                           |
| ss <sup>2</sup>          | ns                           | ns                                    | ns                           |
| temp <sup>2</sup>        | ns                           | ns                                    | ns                           |
| mc × ss                  | ns                           | ns                                    | ns                           |
| mc × temp                | ns                           | ns                                    | ns                           |
| ss × temp                | ns                           | -1.218 X 10 <sup>-7</sup> **          | -8.689 X 10 <sup>-2</sup> ** |
| R <sup>2</sup>           | 0.72                         | 0.479                                 | 0.739                        |

## ประวัติผู้วิจัย

### นางสุนันทา ทองทา

นางสุนันทา ทองทา เกิดเมื่อวันที่ 27 ตุลาคม 2506 ณ จังหวัดนครราชสีมา ปัจจุบันดำรงตำแหน่งผู้ช่วยศาสตราจารย์ สังกัดสาขาวิชาเทคโนโลยีอาหาร มหาวิทยาลัยเทคโนโลยีสุรนารี จบการศึกษาระดับปริญญาตรี วท.บ. (พัฒนาผลิตภัณฑ์) จากมหาวิทยาลัยเกษตรศาสตร์ เมื่อปี พ.ศ. 2529 จบการศึกษาระดับปริญญาโท วท.ม. (วิทยาศาสตร์การอาหาร) จากมหาวิทยาลัยเกษตรศาสตร์ เมื่อปี พ.ศ. 2533 จากนั้นเข้ารับราชการบรรจุตำแหน่งอาจารย์ที่ภาควิชาเทคโนโลยีอาหาร คณะเทคโนโลยีมหาวิทยาลัยขอนแก่น ในปีเดียวกัน ต่อมาในปี พ.ศ. 2536 ได้รับทุน Fulbright จากมูลนิธิการศึกษาไทย-อเมริกัน ไปศึกษาต่อในระดับปริญญาเอก ที่ University Of Illinois at Urbana-Champaign สหรัฐอเมริกา และสำเร็จการศึกษาในปี พ.ศ. 2541

นางสุนันทา ทองทา ได้มีผลงานทางวิชาการดังต่อไปนี้

สุนันทา ทองทา และ วรรภัคยา เกียรติพงษ์ลาก. 2549. การผลิตแป้งทอนต่อการขอยด้วยเย็นไขม์จากแป้งมันสำปะหลัง. รายงานวิจัยทุนวิจัยมหาบัณฑิต สาขาวิชาศาสตร์และเทคโนโลยี. (หัวหน้าโครงการ)

สุนันทา ทองทา และ กล้าณรงค์ ศรีรอด. 2549. ผลของอุณหภูมิ ปริมาณน้ำ และการเปลี่ยนสมบัติทางกายภาพต่อการเกิดริโโทรเกรเดชันของแป้งมันสำปะหลัง. รายงานวิจัยทบทวนมหาวิทยาลัย และสำนักงานกองทุนสนับสนุนการวิจัย. (หัวหน้าโครงการ)

สุนันทา ทองทา, สุเวทษ์ นิสานันท์, กนกอร อินทรพิเชฐ และจริรัตน์ ยงสวัสดิกุล. 2549. การพัฒนาผลิตภัณฑ์อาหารเพื่อสุขภาพจากถั่วเหลือง: เนื้อเทียน, โยเกิร์ตถั่วเหลือง พ. รายงานผลการวิจัยมหาวิทยาลัยเทคโนโลยีสุรนารี. (หัวหน้าโครงการ)

สุนันทา ทองทา และ มาโนนชัญ ศรีรัตนานนท์. 2546. ปัจจัยต่างๆ ที่มีผลต่อการอึกซึ่หูชั่นของข้าวกล้อง. รายงานผลการวิจัยมหาวิทยาลัยเทคโนโลยีสุรนารี

สิงหนาท พวงจันทน์แดง, วิเชียร วรพุทธพร, สุนันทา ทองทา, เกย� นันทชัย, และวีระ สุวรรณศร. 2545. คุณภาพของผลิตภัณฑ์อาหารขบเคี้ยวจากข้าวญี่ปุ่นพืชต่างๆ ที่ผลิตด้วยเครื่องอัดพอง. รายงานผลการวิจัยมหาวิทยาลัยขอนแก่น.

สุนันทา ทองทา และ วีระ สุวรรณศร. 2543. ผลของตัวแปรของกระบวนการอัดพองที่มีต่อผลิตภัณฑ์ข้าวเจ้าพองตัวโดยใช้เครื่องอัดพองแบบสกรูเดี่ยว. รายงานผลการวิจัยมหาวิทยาลัยขอนแก่น.

สุนันทา วิริยาภิรมย์, กฤณา คำเจริญ, และอนุชา รัตนกิจพ. 2536. การพัฒนาเย็นมะขาม. แก่นเกษตร (2):107-114.

Siriboon, B. and Tongta, S.. 2007. Effect of Annealing on Physicochemical Properties of Waxy Rice.

Poster presentation The 9<sup>th</sup> Agro-Industrial Conference, Food Innovation Asia 2007. June 14-15, 2006. Bangkok, Thailand.

- Chaisiricharoenkul, J. and **Tongta, S.**. 2007. Poster presentation The 9<sup>th</sup> Agro-Industrial Conference, Food Innovation Asia 2007. June 14-15, 2006. Bangkok, Thailand.
- Rareunrom, K., **Tongta, S.** and Yongsawatdigul, J. 2007. Effect of soy protein isolate on chemical and Physical Characteristics of Meat Analog. Oral presentation The 9<sup>th</sup> Agro-Industrial Conference, Food Innovation Asia 2007. June 14-15, 2006. Bangkok, Thailand.
- Kiatpongklarp, W. and **Tongta, S.** 2007. Structural and Physical Properties of Debranched Tapioca Starch. Suranaree Journal of Science and Technology, 14(2):195-204.
- Rareunrom, K., **Tongta, S.** and Yongsawatdigul. 2007. Effect of full fat soy flour on characteristics of soy protein meat analog. Suranaree Journal of Science and Technology, 14(2):185-193.
- Pakdeechanuan, P., Intarapichet, K. and **Tongta, S.** 2007. Effect of extrusion parameters on conjugated linoleic acids of corn extrudate. J. Agric. Food. Chem., 55: 1463-1468.
- Apirattananusorn, S., Cui, S.W., Wang, Q. and **Tongta, S.** 2006. Extraction and composition of water-unextractable arabinoxylans from Job's tears (*Coix lacryma-jobi* L.) (Abstract. pp. 238 and Poster presentation). 2006 CIFST/AAFC Joint Conference, May 28-30, 2006. Montreal, Canada.
- Kiatpongklarp, W. and **Tongta, S.** 2006. Effect of debranching on enzyme resistant starch formation in tapioca starch. Poster presentation. The 8<sup>th</sup> Agro-Industrial Conference. June 15-16, 2006. Bangkok, Thailand.
- Tongta, S.**, Ningsanond, S. and Boonna, S. 2006. Influence of hydrocolloids and soy milk solid on physical and textural qualities of soy yoghurt. Poster presentation. The 8<sup>th</sup> Agro-Industrial Conference. June 15-16, 2006. Bangkok, Thailand.
- Tongta, S.**, Kiatpongklarp, W. and K. Srithoth, K. 2004. Effect of aging temperature on retrogradation of concentrated cassava starch gel. In ' Starch: Progress in Structural studies, Modifications and Applications' Tomasik, P., Yuryev, V.P. and Bertoft, E. (eds.). pp. 357-364. Drukarnia GS, Cracow.
- Rareunrom, K., **Tongta, S.** and Yongsawatdigul. 2004. Structure and texture characteristic of soy protein meat analog. Poster presentation. The 6<sup>th</sup> Agro-Industrial Conference. May28-29, 2004. Bangkok, Thailand.
- Sottirattanapan, P. and **Tongta, S.** 2003. Effect of extrusion parameters on physical characteristics of rice extrudate. Suranaree Journal of Science and Technology. 10(3):220-229.
- Nantachai, K. Srijsedarak,V., **Wiriyapirom,S.** and Tungwongchai, R. 1997. Sensory perceptions of sugarcanes juices. Knon kaen University Research Journal. 2(1):10-17.

**Wiriyapirom,S., Wei, L.S. and Padua, G.W.** 1996. Effect of soy protein isolates on physical characteristics of extruded expanded half-products. A presentation In Annual IFT Meeting. June 26,1996. New Orleans, USA

**Wiriyapirom,S., Padua, G.W. and Wei, L.S.** 1996. Effect of extrusion parameters on physical properties of half-products fortified with soy protein. A presentation In Annual IFT Meeting. June 15,1997. Orlando, USA

สถานที่ติดต่อ: สาขาวิชาเทคโนโลยีอาหาร สำนักเทคโนโลยีการเกษตร มหาวิทยาลัยเทคโนโลยีสุรนารี อำเภอเมือง จังหวัดนครราชสีมา 30000 โทรศัพท์ (044) 22-4266 โทรสาร (044) 22-4150